

İSTANBUL TEKNİK ÜNİVERSİTESİ ★ FEN BİLİMLERİ ENSTİTÜSÜ

**SOĞUTMA SİSTEMLERİNDE DÖNGÜSEL KAYIPLARIN
DENEYSEL VE TEORİK İNCELENMESİ**

**YÜKSEK LİSANS TEZİ
Mak. Müh. Serdar KOCATÜRK
(503021101)**

**Tezin Enstitüye Verildiği Tarih : 26 Nisan 2004
Tezin Savunulduğu Tarih : 21 Mayıs 2004**

Tez Danışmanı :

Prof. Dr. A.Nilüfer EĞRİCAN (Y.Ü.)

Diğer Jüri Üyeleri

Prof.Dr. Feridun ÖZGÜÇ (İ.T.Ü.)

Prof.Dr. İsmail TEKE (Y.T.Ü.)



151362

HAZİRAN 2004

ÖNSÖZ

Yüksek lisans tez çalışmam süresince çok değerli önerileri ile katkıda bulunan danışman hocam Sn. Prof. Dr. A. Nilüfer EGRİCAN'a sonsuz saygılarımı ve teşekkürlerimi sunarım.

Bu çalışmanın gerçekleştmesini sağlayan ve destek olan Arçelik Araştırma ve Geliştirme Merkezi'ne, başta Sn. Şemsettin EKSERT ve Sn. Dr. M. Yalçın TANES'in şahsında teşekkür ederim.

Çalışmanın her aşamasında desteğini esirgemeyen ve yapıçı önerileri ile katkıda bulunan Sn. Yalçın GÜLDALI'na, yardım ve tavsiyelerini esirgemeyen ve deneyimlerinden çokça faydalandığım, Sn. Sabahattin HOCAOĞLU ve Sn. Fikri ÇAVUŞOĞLU'na, deney düzeneklerinin hazırlanması aşamasında özveri ile çalışan teknisyen arkadaşlarım Sn. Ercan KURTULDU ve Sn. Faruk KOCABIYIK'a ve tüm ATGM Termodinamik Teknolojileri Laboratuvarı çalışanlarına teşekkürlerimi sunarım.

Tüm çalışmalarım boyunca verdikleri destekten dolayı başta Sn. Talip ÇAĞLAR ve Sn. Zihni GÜRLEK olmak üzere ATGM Yüksek Lisans Öğrencileri' ne teşekkür ederim.

Bugünlere gelmemi sağlayan, maddi ve manevi desteklerini esirgemeyen AİLEME ve tüm dostlarımı teşekkürlerimi sunarım.

Nisan 2004

Serdar KOCATÜRK

İÇİNDEKİLER

ÖNSÖZ.....	i
İÇİNDEKİLER.....	ii
TABLO LİSTESİ.....	iv
ŞEKİL LİSTESİ	v
ÖZET.....	vii
SUMMARY	viii
1 GİRİŞ	1
1.1 Giriş.....	1
1.2 Soğutkan Göçü	2
1.3 Şarjin Yeniden Dağıtılması	3
2 LİTERATÜR ARAŞTIRMASI.....	5
2.1 Döngüsel Kayıpların Sistem Verimliliğiyle İlişkisi.....	5
2.2 Döngüsel Kayıplar.....	5
2.3 Duma – Kalkma Kayıpları ve Soğutkan Göçü	8
2.4 Döngüsel Kayıplara Yönelik, Janssen ve diğ. Tarafından Yapılan Deneysel Çalışmalar [1,14].....	10
2.5 Farklı Ortam Sıcaklıklarında Soğutkan Göçü Etkisi, Soğutkan Göçü Miktarı ve Hal Değişim Süreci.....	13
2.5.1 Rubas ve Bullard'ın Soğutkan Göçü Esnasındaki Hal Değişim Süreciyle İlgili Deneysel Çalışmaları [6-7].....	15
2.5.1.1 32°C Ortam Sıcaklığında Soğutkan Göçü.....	15
2.5.1.2 15°C Ortam Sıcaklığında Soğutkan Göçü.....	18
2.5.1.3 Sonuçlar ve Çıkarımlar	19
2.6 Şarjin Yeniden Dağıtılması	20
2.7 Sistem Kapasitesinin Düzenlenmesi	22
3 SOĞUTKAN GÖÇÜ ETKİSİNİN VE GENEL DAVRANIŞININ DENEYSEL OLARAK İRDELENMESİ	26
3.1 R134a Soğutkanlı Derin Dondurucu Deneyleri.....	26
3.1.1 Ölçüm Büyüklükleri, Yöntemleri ve Belirsizlikleri.....	27
3.1.1.1 Sıcaklık Ölçümleri	27
3.1.1.2 Basınç Ölçümleri.....	29
3.1.1.3 Gerilim, Akım, Güç ve Enerji Ölçümleri.....	29
3.1.2 Soğutkan Göçü Esnasındaki Faz Değişim Sürecinin İrdelenmesi	30
3.1.2.1 10°C Ortam Sıcaklığında Sıvı ve Buhar Geçiş Sürelerinin Belirlenmesi	31
3.1.2.2 23°C Ortam Sıcaklığında Sıvı ve Buhar Geçiş Sürelerinin Belirlenmesi	33
3.1.2.3 32°C Ortam Sıcaklığında Sıvı ve Buhar Geçiş Sürelerinin Belirlenmesi	34
3.1.3 Soğutkan Göçünün Sistem Performansına Etkisi	36
3.2 R600a (Izobütan) Soğutkanlı Derin Dondurucu Deneyleri.....	37
3.2.1 Deneyel Ölçümler, Ölçüm Elemanları ve Belirsizlikleri.....	38
3.2.1.1 Sıcaklık Ölçümleri	39
3.2.1.2 Basınç Ölçümleri	39
3.2.1.3 Akım, Güç ve Enerji Ölçümleri	40
3.2.2 Soğutkan Göçü Esnasındaki Faz Değişim Süreci	40
4 TEORİK ÇALIŞMALAR	43
4.1 Soğutkan Göçü Miktarının Teorik Olarak Tespiti.....	43
4.1.1 Durma Periyodu Başında Yoğunurucuda Bulunan Soğutkan Miktarı	47
4.1.1.1 Yoğunurcu Girişindeki Kuruluk Derecesinin Tespit Edilmesi.....	48
4.1.1.2 Yoğunurucudaki İki Fazlı Akış Bölgesi Uzunluğunun Tespiti	50
4.1.1.3 Yoğunurucudaki Aşırı Soğutma Miktarının Tespiti	54

4.1.1.4	Durma Periyodu Başında Yoğuşturucudaki Soğutkan Miktar	57
4.1.2	Durma Periyodu Sonunda Yoğuşturucuda Bulunan Soğutkan Miktar.....	60
4.2	Soğutkan Göçünün Neden olduğu Isıtma Etkisinin Hesaplanması.....	61
5	DENEY DÜZENEĞİ ÜZERİNDE YAPILAN PARAMETRİK İRDELEMELER	63
5.1	Deney Düzeneğinin Tanıtılması.....	63
5.1.1	Su Hazırlama ve Şartlandırma Grubu.....	64
5.1.1.1	Yoğuşturucu Suyu Şartlandırma Grubu ve Hattı	66
5.1.1.2	Aşırı Soğutma Suyu Şartlandırma Grubu ve Hattı.....	70
5.1.2	Soğutma Grubu ve Hattı	72
5.1.3	Ölçüm, Veri Toplama ve Kontrol Grubu	74
5.1.3.1	Deneysel Ölçümler, Ölçüm Elemanları ve Veri Toplama.....	75
5.1.3.2	Kontrol Sistemi	79
5.2	Toplam Döngü Süresinin Soğutkan Göçüne Etkisinin İrdelenmesi.....	87
5.2.1	Deneylerin Yapılışı	87
5.2.2	Deney Sonuçlarının Analizi.....	89
5.2.2.1	Yoğuşturucuda Gerçekleşen Faz Değişim Süreci.....	92
5.2.2.2	Yoğuşturucu Kızgın Buhar Bölgesi Boru Uzunluğunun Tespiti	94
5.2.2.3	Yoğunmanın Gerçekleştiği İki Fazlı Akış Bölgesinde Isı Geçişi	96
5.2.2.4	Deney Sonuçlarının Sistem Performansı Açısından Analizi.....	97
6	SONUÇLAR.....	100
KAYNAKLAR		104
EKLER		106
EK – A	Açıklayıcı Resimler ve Çizimler.....	106
EK – B	RTD Sıcaklık Ölçüm Elemanlarının Kalibrasyon Verileri.....	107
EK – C	Basınç Transduserleri Kalibrasyon Verileri ve Ölçüm Belirsizlikleri	109
ÖZGEÇMİŞ		112

TABLO LİSTESİ

Tablo2.1 Sürekli ve döngüsel çalışma durumlarında tespit edilen COP değerleri [8].....	13
Tablo2.2 Sürekli ve döngüsel çalışma durumlarında çekilen ortalama güç değerleri ve buharlaştırıcıda sağlanan soğutma kapasiteleri [8]	13
Tablo 2.3 Durma periyodu süresince sistem komponentlerindeki şarj değişimi [8].....	15
Tablo 2.4 Durma periyodu esnasında soğutkan göçünün neden olduğu ısıtma etkisi [8]	15
Tablo 2.5 Rubas ve Bullard'ın iki farklı ortam sıcaklığında tespit ettikleri, sıvı ve buhar fazlarındaki soğutkan göçü süreleri ile toplam soğutkan göçü süreleri [6-7]	20
Tablo 3.1 10°C ortam sıcaklığında durma periyodu başlangıcından itibaren filtre kurutucu içinde akan soğutkanın faz değişim süreci.....	31
Tablo 3.2 Farklı ortam sıcaklıklarındaki sıvı ve buhar fazda soğutkan göçü süreleri.....	35
Tablo 3.3 Farklı ortam sıcaklıklarındaki kabin yükleri ve döngü süreleri.....	36
Tablo 3.4 25°C ortam sıcaklığında durma periyodu başlangıcından itibaren filtre kurutucu içinde akan soğutkanın faz değişim süreci (R600a)	41
Tablo 3.5 R134a ve R600a soğutkanları kullanılması durumlarda; basıncıların dengelenme süresi ile sıvı ve buhar fazda soğutkan göçü süreleri.....	42
Tablo 4.1 Kompresör debi polinomu kalorimetre katsayıları.....	47
Tablo 4.2 R600a soğutkanının flanş hattındaki kızgın buhar özellikleri [25].....	48
Tablo 4.3 R600a soğutkanının yoğunlaşma koşullarındaki termodinamik özellikleri [25].....	50
Tablo 4.4 Durma periyodu esnasında, yoğunşturucuda bulunan kızgın R600a özellikleri	60
Tablo 4.5 Durma periyodu esnasında soğutkan göçünün neden olduğu ısıtma etkisi.....	62
Tablo 5.1 Su hattı üzerinde kullanılan rotametrein kalibrasyon verileri.....	69
Tablo 5.2 Kanal numaraları ile sıcaklık ve basınç ölçüm aletleri ve ölçüm aralıkları	76
Tablo 5.3 PID Kontrol Parametrelerinin Basamak Giriş Cevabı Esasına Dayalı Tespitİ	84
Tablo 5.4 PID Kontrol Parametrelerinin K_{cr} ve P_{cr} Esasına Dayalı Tespitİ	85
Tablo 5.5 Toplam çalışma süresi deneylerinde alınan ölçüm değerleri	90
Tablo 5.6 Ölçüm Belirsizlikleri	91
Tablo 5.7 "Deney(18-12)" Yoğunlaşma Hattı Üzerindeki Faz Değişimi	92
Tablo 5.8 "Deney(18-12)_2" Yoğunlaşma Hattı Üzerindeki Faz Değişimi	93
Tablo 5.9 "Deney(30-20)" Yoğunlaşma Hattı Üzerindeki Faz Değişimi	93
Tablo 5.10 "Deney(30-20)_2" Yoğunlaşma Hattı Üzerindeki Faz Değişimi	93
Tablo 5.11 "Deney(42-28)" Yoğunlaşma Hattı Üzerindeki Faz Değişimi	93
Tablo 5.12 "Deney(42-28)_2" Yoğunlaşma Hattı Üzerindeki Faz Değişimi	94
Tablo 5.13 Yoğunşturucudaki kızgın buhar bölgesi uzunlukları	95
Tablo 5.14 Yoğunşturucudaki toplam ısı geçiş katsayısı ve ısı geçiği performansı	97
Tablo 5.15 Farklı döngü sürelerinde soğutkan göçü etkisi.....	99

ŞEKİL LİSTESİ

Şekil 1.1 Buhar sıkıştırımlı soğutma çevrimi şematik çizimi	3
Şekil 2.1 Buharlaştırıcı sıcaklıklarının çalışma periyodu süresince değişimi.....	4
Şekil 2.1 Sürekli çalışma ve döngüsel çalışmada sistem sıcaklıkları [14]	7
Şekil 2.2 Janssen ve diğ. (1989) tarafından kurulan deney düzeneği şematik görünümü [1] 11	11
Şekil 2.3 Döngü frekansına göre soğutma etkenliği değişiminin soğutkan göçü ile ilişkisi [1]	12
Şekil 2.4 32°C ortam sıcaklığında; (a) buharlaştırıcı giriş sıcaklığı ve faz durumu [7] (b) yoğunsturucu ve buharlaştırıcı basınçları [7].....	16
Şekil 2.5 32°C ortam sıcaklığında durma periyodu esnasındaki yoğunsturucu sıcaklıkları [7]	18
Şekil 2.6 32°C ortam sıcaklığında; (a) buharlaştırıcı giriş sıcaklığı ve faz durumu [7] (b) yoğunsturucu ve buharlaştırıcı basınçları [7].....	19
Şekil 2.7 Döngüsel çalışmada, farklı kompresör hızlarındaki döngü basınçları [2]	23
Şekil 2.8 Değişken hızlı kapasite kontrolü ile sabit iki hızda sürekli çalışmanın enerji tüketimi açısından karşılaştırılması [2]	24
Şekil 2.9 Kısa döngülü çalışmanın, döngüsel çalışma ve değişken hızlı çalışma ile karşılaştırılması [3]	25
Şekil 3.1 Yoğunsturucu ve filtre kurutucu üzerindeki sıcaklık ölçüm elemanlarının yerleşimi.28	28
Şekil 3.2 Buharlaştırıcı borular üzerindeki termo-elemanların akış sırasına göre yerleşimi.28	28
Şekil 3.3 Alçak ve yüksek basınç transduserlerinin sistem üzerindeki yerleşimi.....29	29
Şekil 3.4 Akım, Gerilim, Güç ve Enerji Transduserleri	30
Şekil 3.5 10°C ortam sıcaklığında yoğunsturucu çıkış, filtre kurutucu giriş ve çıkış sıcaklıklarının durma periyodu süresince değişimi	32
Şekil 3.6 10°C ortam sıcaklığında, sistem basınçlarının durma periyodu süresince değişimi	33
Şekil 3.7 23°C ortam sıcaklığında yoğunsturucu çıkış, filtre kurutucu giriş ve çıkış sıcaklıklarının durma periyodu süresince değişimi	33
Şekil 3.8 23°C ortam sıcaklığında, sistem basınçlarının durma periyodu süresince değişimi	34
Şekil 3.9 32°C ortam sıcaklığında yoğunsturucu çıkış, filtre kurutucu giriş ve çıkış sıcaklıklarının durma periyodu süresince değişimi	35
Şekil 3.10 32°C ortam sıcaklığında, sistem basınçlarının durma periyodu süresince değişimi	35
Şekil 3.11 Deneylerde kullanılan; (a) buharlaştırıcı (b) yoğunsturucu	38
Şekil 3.12 25°C ortam sıcaklığında yoğunsturucu çıkış, filtre kurutucu giriş ve çıkış sıcaklıklarının durma periyodu süresince değişimi (R600a)	41
Şekil 3.13 25°C ortam sıcaklığında, sistem basınçlarının durma periyodu süresince değişimi	42
Şekil 4.1 Teorik çalışmada esas alınan kompresörün kalorimetrik debi verileri.....46	46
Şekil 5.1 Kurulan deney düzeneğinin genel görünümü.....63	63
Şekil 5.2 Su banyosunun şartlandırma ve baypas hattı dönüşleri	64
Şekil 5.3 Yoğunsturucu suyu şartlandırma hattı	66
Şekil 5.4 Yoğunsturucu suyu şartlandırma grubu başlangıcındaki basınç dengelerme hattı ..67	67
Şekil 5.5 Yoğunsturucu suyu şartlandırma tankı ve ilgili elemanlar.....68	68
Şekil 5.6 Pnömatik kontrollü akış kontrol valfi	69
Şekil 5.7 Aşırı soğutma suyu şartlandırma hattı	70
Şekil 5.8 Yoğunsturucu geçişleri arasındaki soğutkan ve su bağlantıları	73
Şekil 5.9 Filtre kurutucu, gözetleme camı ve debi-ölçer.....74	74
Şekil 5.10 "HP Agilent 34970A" veri toplama ünitesi	75
Şekil 5.11 Mitsubishi FX-2N Programlanabilir Denetleyici (PLC)	81
Şekil 5.12 Bir endüstriyel kontrol sisteminin blok diyagramı.....82	82

Şekil 5.13 "S" Şeklindeki Birim-Basamak Giriş Cevabı [19]	84
Şekil 5.14 K_c Kritik Kazanç Değeri Sevielerinde P_{cr} Periyoduyla Salınan Sistem Cevabı....	85
Şekil 5.15 Elektro-pnömatik transduserler ve basınç regülatörü	87
Şekil 5.16 Buharlaştıncı sıcaklıklarının çalışma periyodu süresince değişimi.....	92
Şekil 5.17 Soğutkan göçü – toplam döngü süresi – COP ilişkisi	99

SOĞUTMA SİSTEMLERİNDE DÖNGÜSEL KAYIPLARIN DENEYSEL VE TEORİK İNCELENMESİ

ÖZET

Bir soğutucunun çalışma davranışına bağlı olarak ortaya çıkan ve sistem verimliliğini önemli ölçüde etkileyen döngüsel kayıplar; aynı sıcaklık ve soğutma yükü altında, sürekli çalışan bir kompresör ile döngüsel çalışan bir kompresörün enerji ihtiyaçları arasındaki faktır. Sistem verimliliği ile olan ilişkisi düşünüldüğünde, döngüsel çalışan bir soğutucunun durma-kalkma sürecinden kaynaklanan döngüsel kayıplar, enerji tüketimini artıran önemli bir etkendir. Soğutkan göçü ile çalışma periyodu başlangıcındaki şarjin yeniden dağıtıması problemi, döngüsel kayıplara neden olan en etkin etmenler olarak ön plana çıkmaktadır. Bu çalışmada; döngüsel kayıplar genelinde özellikle soğutkan göçü ele alınıp, deneysel ve teorik olarak irdelenmiştir.

Soğutkan göçü; kompresör duruktan sonra, yoğunsturucu ve buharlaştırıcı basıncı eşitlenene kadar yoğunsturucudan buharlaştırıcıya soğutkan geçişinin gerçekleştiği geçici rejim süreci olarak tanımlanabilir. Yoğunsturucudan buharlaştırıcıya geçen soğutkanın sıcaklığı genellikle kabin içi sıcaklığından yüksek olduğu için, buharlaştırıcıdan kabin içine ters yönde ısı geçışı gerçekleşecektir. Soğutkan göçü neticesinde kabin içine gelen bu ilave ısı kazancı nedeniyle durma periyodu daha kısa sürecek ve enerji tüketimi artacaktır.

Farklı ortam sıcaklıklarında, R134a ve R600a soğutkanları kullanılması durumları için gerçekleştirilen deneylerde soğutkanın sıvı ve buhar fazlarında buharlaştırıcıya geçiş süreleri büyük bir yaklaşımla belirlenmeye çalışılmış ve soğutkan göçünün sistem performansına olan etkisi ile ilişkilendirilmiştir. Soğutkan göçü etkisinin ve genel davranışının irdelendiği bu deneylerde, ortam sıcaklığının ve farklı soğutkan kullanımının soğutkan göçü davranışına olan etkisi ortaya konmuştur.

Soğutkan göçünün sistem performansına olan etkisi ve soğutkan göçünün genel davranışını deneysel olarak irdelendikten sonra; deneysel çıktılar da kullanılarak, göç eden soğutkan miktarı ve soğutkan göçünün neden olduğu ısıtma etkisi teorik olarak hesaplanmıştır. Teorik hesaplamalar neticesinde; ortam sıcaklığının değişimi ile birlikte, yoğunlaşma basıncı ve aşırı soğutma miktarının da soğutkan göçüne etken olduğu ortaya konmuştur.

Döngüsel kayıplar genelinde özellikle soğutkan göçüne etken parametrelerin kontrollü bir şekilde ele alınmasına yönelik olarak bir deney düzeneği kurulmuştur. Başta yoğunlaşma koşulları olmak üzere, ilgili sistem parametreleri sabit tutulup, tek değişken toplam döngü süresi alınarak soğutkan göçüne etken kontrollü bir parametre olarak irdelenmiştir.

EXPERIMENTAL AND THEORITICAL INVESTIGATION OF THE CYCLING LOSSES IN COOLING SYSTEMS

SUMMARY

Cycling losses, that are originating from the on-off cycling character of a cooling system and affecting the system efficiency, can be defined as the difference between the energy consumptions of a continuously working compressor and an on-off working compressor. When considered from the energy consumption point of view, refrigerant migration and charge redistribution problem are the most important factors causing cycling losses. In this study; refrigerant migration is experimentally and theoretically investigated especially.

After the compressor stops, refrigerant migration occurs in the transient regime period in which the refrigerant passes from condenser to the evaporator until the pressures equalize. Because the temperature of the refrigerant migrating from condenser to the evaporator is generally greater than the air temperature in the cabinet, heat transfer occurs from evaporator to the air in the cabinet. As a result of extra heat load caused by refrigerant migration, off-period ends in a shorter time and the energy consumption increases.

In the cases of using R134a and R600a as the cooling refrigerant, the times taken for refrigerant migration in liquid and vapor phases were determined separately at different ambient temperatures, and related with the effect of refrigerant migration on the system performance. In these experiments that the effect and general character of refrigerant migration were investigated, the relation of ambient temperature and using different refrigerants to refrigerant migration was determined.

After an experimental investigation of the effect and general character of refrigerant migration, the amount of migrating refrigerant during off-period and the heat load caused by this amount of migrated refrigerant were calculated theoretically with the help of experimental outputs. As a result of theoretical calculations, it was determined that the change of condensation pressure and sub-cooling with changing ambient temperatures are also effective on refrigerant migration.

An experimental facility was set up to investigate and control the parameters affecting on refrigerant migration especially. Related system parameters like condensation conditions were controlled to stay constant during steady state regime, while total cycling period was taken as the only variant parameter. Hence, the effect of total cycling period on refrigerant migration was investigated as a controlled parameter on the experimental facility.

1 GİRİŞ

1.1 Giriş

Yeryüzündeki enerji kaynaklarının günden güne tükeniyor olması ve bu sebeple enerji maliyetlerinin artması, bir çok uygulamada insanları enerji tasarrufuna yöneltmiştir. Çok geniş bir kullanım alanına sahip olduğundan, soğutma sektöründe de enerji tasarrufuna gidilmesi kaçınılmaz olmuştur. Bu bağlamda, buzdolabı üreticileri ve bu konuda çalışan araştırmacılar, soğutma cihazlarının enerji tüketiminin artışına etken faktörlerin tespiti ve çözüm yolları konusundaki çalışmalarını yoğunlaştırmışlardır.

Bir soğutucunun çalışma karakteristiğine bağlı olarak ortaya çıkan ve sistem verimliliğini önemli ölçüde etkileyen döngüsel kayıplar; aynı sıcaklık ve soğutma yükü altında, sürekli çalışan bir kompresör ile döngüsel çalışan bir kompresörün enerji ihtiyaçları arasındaki faktır. Sistem verimliliği ile olan ilişkisi düşünüldüğünde, döngüsel (on/off) çalışan bir soğutucunun durma-kalkma sürecinden kaynaklanan döngüsel kayıplar, enerji tüketimini artıran önemli bir etkendir. Daha önce yapılan deneysel çalışmalar göstermiştir ki [1]; bir buzdolabının döngüsel çalışması durumunda, sürekli çalışmaya nazaran enerji sarfiyatlarında %20-25 mertebelerinde bir artış gerçekleşmektedir. Enerji sarfiyatlarındaki bu mertebelerde bir artış, döngüsel çalışma karakteristiğinden kaynaklanan döngüsel kayıpların önemle dikkate alınmasını gerektirmektedir.

Rubas ve Bullard (1993), buzdolabı döngüsel kayıplarına neden olan etkenleri beş grupta sınıflandırmışlardır: ısıl kütle etkisi, soğutkanın kompresör yağı içindeki çözünebilirliği, soğutkan göçü, şarjin yeniden dağıtılması ve kılcal genişleme borusu ile emme hattı arasındaki ısı değiştiricisi etkisi. Döngüsel çalışan bir soğutucuda, soğutkan göçü ve durma döngüsüne müteakip çalışma döngüsü başlangıcındaki şarjin yeniden dağıtılması problemi, döngüsel kayıplara neden olan en etkin etmenler olarak ön plana çıkmaktadır. Daha önce yapılan çalışmalarda, durma periyodu esnasında meydana gelen soğutkan göçünün neden olduğu döngüsel

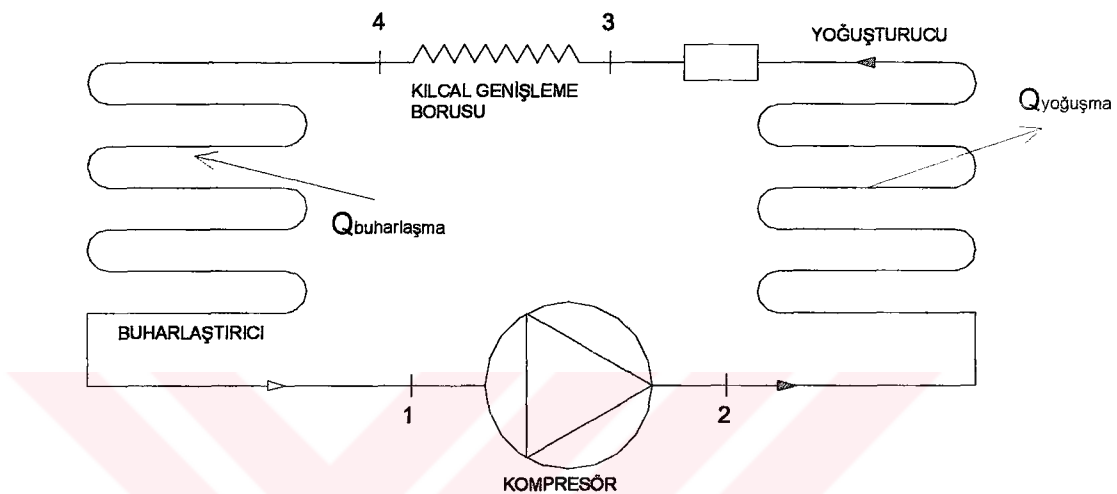
kayıpların, çalışma koşullarına bağlı olarak, toplam enerji sarfiyatının yaklaşık %5-15'ini teşkil ettiği tespit edilmiştir [1, 6-10]. Şarjin yeniden dağıtımı problemi ile birlikte ele alındığında bu artışın, çalışma koşullarına da bağlı olmakla birlikte, %10-20 mertebelelere kadar çıktıığı ortaya konmaktadır [6,7]. Enerji tüketimine olan etkisi göz önüne alındığında, döngüsel kayıp etmenleri arasında ön plana çıktıgı için bu çalışmada, döngüsel kayıplar genelinde özellikle soğutkan göçü ele alınıp deneysel olarak İrdelenmiştir.

1.2 Soğutkan Göçü

Soğutma uygulamalarında en sık rastlanan buhar sıkıştırmalı bir soğutma çevriminin ana elemanları; buharlaştırıcı, yoğunsturucu, kompresör ve genişleme cihazıdır. Buharlaştırıcıda bulunan sıvı haldeki soğutkanın, alçak basınç ve düşük sıcaklıkta buharlaşması neticesinde, buharlaştırıcının içinde bulunduğu ortamdan ısı çekilmek suretiyle soğutma gerçekleştirilir. Kızgın buhar halinde buharlaştırıcıdan ayrılmış kompresöre gelen soğutkan, kompresörde sıkıştırılıp basıncı artırılarak yüksek basınç ve sıcaklıkta yoğunsturucuya basılır. Kızgın ya da doymuş buhar halinde yoğunsturucuya giren soğutkan, yüksek basınç ve sıcaklıkta ısısını dış ortama atarak yoğunşurur. Yüksek basınçta ve sıvı halde bulunan soğutkan genişleme cihazında basıncı düşürülükten sonra, belirli bir kuruluk derecesinde tekrar buharlaştırıcıya ulaşır ve böylece soğutma çevriminin bir çalışma döngüsü tamamlanmış olur. Evsel buzdolabı uygulamalarında genişleme cihazı olarak kılcal genişleme borusu kullanılır. Ayrca dört ana komponent dışında, buzdolaplarında yoğunsturucu çıkışı ile kılcal genişleme borusu arasında, sıvı haldeki soğutkanın içindeki nem tutan ve soğutkanı çeşitli kalıntılardan arındıran bir filtre kurutucu bulunur. Buharlaştırıcı çıkışında, sıvı soğutkanı biriktirip, kompresör öncesinde buharlaştırıcı çıkışının kızgın buhar halinde olmasını garanti altına almak amacıyla bir akümülatör de bulunabilir. Buhar sıkıştırmalı bir soğutma çevriminin şematik çizimi Şekil 1.1'de verilmektedir.

Döngüsel çalışan bir buzdolabında, çalışma periyodu esnasında iç yükler ve kabin içi ısı kazancına bağlı olarak geçen belirli bir süre sonra termostat sıcaklığına ulaşılacak ve kompresör duracaktır. Soğutkan göçü; kompresör duruktan sonra, yoğunsturucu ve buharlaştırıcı basınçları dengelenene kadar yoğunsturucudan buharlaştırıcıya soğutkan geçişinin gerçekleştiği geçici rejim süreci olarak tanımlanabilir. Durma periyodu başlangıcında, kompresör durduğu anda yoğunsturucu basıncı buharlaştırıcı basıncından yüksektir. Herhangi bir önlem

alınmadığı taktirde, yoğuneturucu ile buharlaştırıcı arasındaki basınç farkından dolayı, basınçlar dengelenene kadar yoğuneturucuda bulunan yüksek sıcaklığındaki soğutkan kılcal genişleme borusu yoluyla buharlaştırıcıya geçecektir. Yoğuneturucudan buharlaştırıcıya geçen soğutkanın sıcaklığı genellikle kabin içi sıcaklığından yüksek olduğu için, buharlaştırcıdan kabin içine ters yönde ısı geçişleri gerçekleşecektir. Soğutkan göçü neticesinde kabin içine gelen bu ilave ısı kazancı nedeniyle durma periyodu daha kısa sürecek ve kompresörün enerji tüketimi artacaktır.



Şekil 1.1 Buhar sıkıştırmalı soğutma çevrimi şematik çizimi

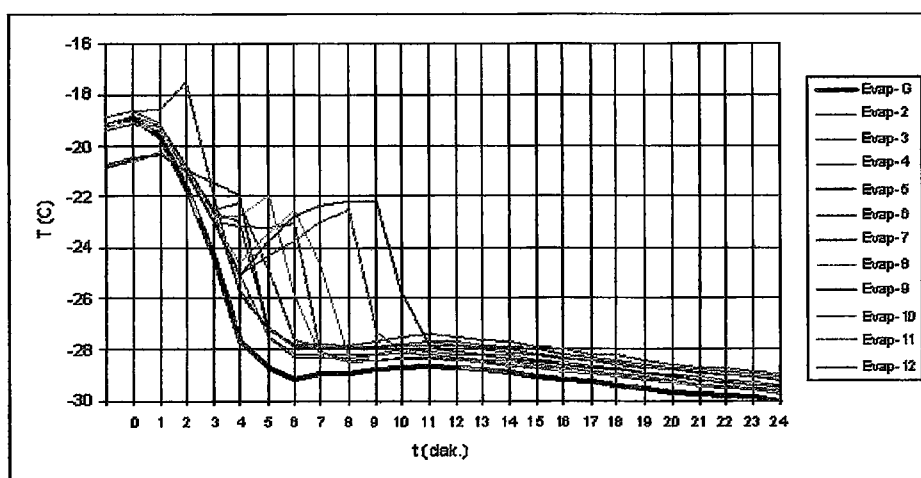
Durma periyodunun ilk zamanlarında sıvı halde gerçekleşen soğutkan göçü, yoğunluklu basıncının düşmesi ile birlikte buharlaşma sıcaklığı da düşeceğinden, yoğunlukudaki akışkanın buharlaşması sonucu buhar halinde devam edecektir. Durma periyodu esnasında meydana gelen soğutkan göçünün sıvı ya da buhar halinde gerçekleşmesi, kabin içine gelen ilave ısı yükü miktarının tespitinde önemlidir. Bu nedenle, soğutkan göçü miktarının zamanla değişiminin tespiti yanında göçün hangi fazda gerçekleştiğini tespiti de önem kazanmaktadır.

1.3 Şarjin Yeniden Dağıtılması

Durma periyodu esnasında yoğunlukta bulunan soğutkan tamamen kızgın buhar halindedir. Sistemdeki toplam soğutkanın büyük bir kısmı ise; buharlaştırıcıda basıncın artması neticesinde, sıvı halde buharlaştırıcıda bulunmaktadır. Kabin içi sıcaklığı termostatta ayarlanan belirli bir sıcaklığın üstüne çıktığında durma periyodu sona erer ve kompresör çalışmaya başlar. Çalışma periyodu başlangıcında, kompresörün emme etkisiyle buharlaştırıcı tamamen boşalır ve kompresör girişinde

alçak basınçta kızgın buhar halinde bulunan soğutkan sıkıştırılıp basıncı artırılarak yoğunşturucuya basılır. Belirli bir geçici rejim süreci sonrasında kadar yoğunşturucudaki basınç artışı devam eder ve doyma koşullarına ulaşıldığında yoğunşturucuda sabit basınçta yoğuşma başlar. Fazla uzun sùrmeyen bu geçici rejim sürecinde buharlaştırıcı tamamıyla kuru kalmaktadır. Bu süreçten sonra soğutkan, kılcal boru yoluyla yoğunşturucudan buharlaştırıcıya geçmeye ve buharlaştırıcı basıncının düşmesiyle birlikte buharlaşmaya başlar. Ancak; sıvı soğutkanın buharlaştırıcının tamamına ulaşıp uygun basınç ve sıcaklıkta buharlaşma gerçekleşmesi belirli bir süre alır. Buharlaştırıcının tamamen ıslanmaması ile karakterize edilen bu süreç şarjin yeniden dağıtılması süreci olarak adlandırılır.

Bir derin dondurucunun çalışma periyodu esnasında, buharlaştırıcı boyunca ölçülen sıcaklıkların zamanla değişimi Şekil 1.2'de verilmektedir. Buharlaştırıcının ilk geçişlerinde (paslarında), kompresör çalışmaya başladıkten kısa bir geçici rejim sürecinden hemen sonra buharlaşma sıcaklığına düşülmüş ve buharlaşma başlamıştır. Ancak; şarjin yeniden dağıtılması problemi nedeniyle, buharlaştırıcı çıkışına doğru yaklaşıkça, soğutkanın buharlaşma sıcaklığına düşme süresi uzamakta ve sıcaklık ölçümlerinin alındığı ilgili kısımlarda bu süre içinde soğutkan kızgın buhar halinde kalarak buharlaştırıcının kısmen kuru kalmasına neden olmaktadır. Şekil 1.2'de verilen örnekte, buharlaştırıcı üzerinden alınan son sıcaklık noktasında, kompresör çalışmaya başladıkten ancak 11 dakika sonrasında buharlaşma sıcaklığına düşülmektedir. Söz konusu örnekteki buharlaştırıcı, çalışma periyodunun ilk 11 dakikası boyunca kısmen kuru kalacak ve bu nedenle soğutma açısından buharlaştırıcı verimsiz olarak kullanılacaktır. Böylece şarjin yeniden dağıtılması problemi nedeniyle buharlaştırıcının verimsiz kullanılması neticesinde, soğutma sisteminin enerji tüketimi artacaktır.



Şekil 2.1 Buharlaştırıcı sıcaklıklarının çalışma periyodu süresince değişimi

2 LİTERATÜR ARAŞTIRMASI

2.1 Döngüsel Kayıpların Sistem Verimliliğiyle İlişkisi

Radermacher ve Kim (1996), evsel kullanım amaçlı buz dolaplarına yönelik 1990'lı yıllarda gelişmeleri sunup yorumladıkları araştırmalarında; geleneksel buz dolaplarındaki sistem verimliliğinin iyileştirilmesine yönelik uygulamaları dört gruba ayırmışlardır:

- Soğutma çevrim verimliliğinin iyileştirilmesi
- Kabin içi ısı kazancının düşürülmesi
- Parazitik elektriksel yüklerin azaltılması
- Durma / kalkma döngüsel kayıplarının azaltılması

Döngüsel çalışan bir buz dolabının durma periyodu esnasında meydana gelen soğutkan göçü ve çalışma periyodu başlangıcında şarjin yeniden dağıtıması sürecinden kaynaklanan sorunlar, sistem verimliliğinin iyileştirilmesine yönelik öne sürülen bu uygulamalarla doğrudan ya da dolaylı olarak ilişkilidir. Bu bağlamda, bu iki sorunun giderilmesi ya da etkilerinin en aza indirilmesi, soğutma sisteminin verimliliğini önemli ölçüde iyileştirecektir. Söz konusu bu iki sorun, doğrudan döngülü çalışmanın birer sonucu olduğundan, öncelikle döngüsel kayıplar genelinde ele alınması daha doğru olacaktır.

2.2 Döngüsel Kayıplar

Döngüsel kayıplar; aynı sıcaklık ve soğutma yükü altında, sürekli çalışan bir kompresör ile döngüsel çalışan bir kompresörün enerji ihtiyaçları arasındaki farktır. Radermacher ve Kim (1996), döngüsel kayıplara etken iki önemli parametrenin, döngü süresi ve sistemdeki ısı değiştiricilerinin boyutu olduğunu öne sürmüştür. Arthur D. Little Inc. (ADL, 1992) tarafından geliştirilen EPA Buzdolabı Analiz Programı da çevrimsel kayıpların çevrimsel frekansın bir fonksiyonu olduğunu ortaya koymaktadır [7].

Rubas ve Bullard (1995), döngüsel kayıplara neden olan etkenleri beş grupta sınıflandırmışlardır:

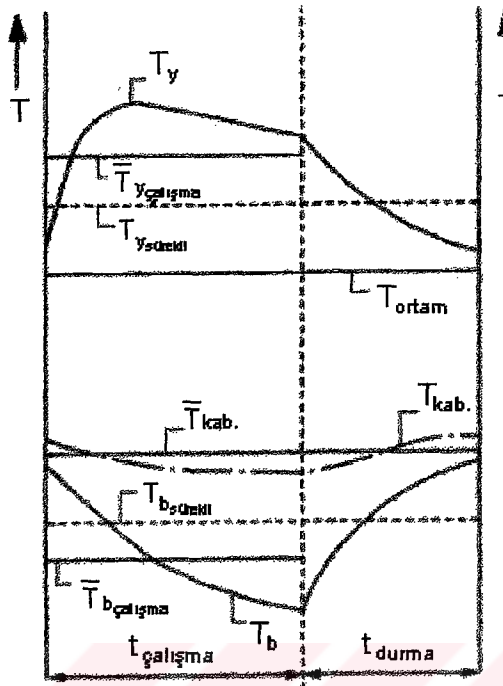
- Sistem elemanlarının ısıl kütle etkisi
- Soğutucu akışkanın kompresör yağı içinde çözünmesi
- Soğutkan göçü
- Sarjin yeniden dağıtılması
- Kılcal genişleme borusu ile dönüş borusu arasındaki ısı değiştiricisi etkisi

Janssen ve diğ. (1992), buzdolabı döngüsel kayıplarını; termodinamik kayıplar, soğutkan göçü kaynaklı kayıplar ve kompresör kayıpları olmak üzere üç ana grupta toplamışlardır.

Janssen ve diğerlerinin sözünü ettığı termodinamik kayıplar, Rubas ve Bullard'ın döngüsel kayıp etkenleri arasında belirtikleri ısıl kütle etkisinin bir sonucudur. Kompresör dışındaki sistem elemanlarının ısıl kütlelerinin soğutma etkenliği üzerindeki etkisi önemsizdir [6]. Döngüsel çalışma esnasında, kompresörün ısıl kütle etkisi nedeniyle kompresör basma sıcaklığı ve yoğunsturucu girişindeki kızgınlık derecesi artar. Yoğunsturucuda kızın buhar bölgesinin artması, iki fazlı akış bölgesinin azalmasına anlamına gelir ki; bu da yoğunlaşma basıncının artmasına ve sistem COP'sinin düşmesine neden olur. Çalışma periyodu başlangıcındaki geçici rejim sürecinde kompresörün ısıl kütle etkisinin artması ile birlikte oluşturduğu vakum etkisi, emme sıcaklığının da ani düşüşüne neden olur. Neticede; çalışma periyodu esnasında, döngüsel çalışan sistemdeki ısı değiştiricilerinin ısıl yükü, sürekli çalışan sistemdekine göre daha fazla olacaktır [1,6]. Bu da düşük buharlaştırıcı sıcaklığı ve yüksek yoğunsturucu sıcaklığı anlamına gelir ki, böylece termodinamik verimlilik düşer. Şekil 2.1'de; sürekli çalışma ile döngüsel çalışmada yoğunsturucu ve buharlaştırıcı sıcaklıklar arasındaki fark görülmektedir. Sürekli çalışma ve döngüsel çalışma için; yoğunsturucu ve buharlaştırıcı sıcaklıklar arasındaki farklar dikkate alındığında, iki çalışma durumu arasındaki fark döngüsel çalışma karakteristiğinden kaynaklanan döngüsel kayıpları ifade etmektedir.

Sistemdeki termodinamik kayıplar, çalışma ve durma sürelerinin uzunluğunun bir fonksiyonudur [1]. Çalışma ve durma sürelerinin uzunluğu; saatteki döngü sayısı (döngü frekansı) ve yüzde çalışma oranı parametreleri ile ifade edilir. Bir saat içinde daha çok sayıda döngü gerçekleştiğinde (daha kısa süreli çalışma ve durma süreçleri) buharlaşma ve yoğunlaşma sıcaklıklarını düşecek ve böylece termodinamik

kayıplar azalacaktır. Yüzde çalışma süresi oranı arttığında da termodinamik kayıplar azalacak ve %100 çalışma durumunda termodinamik kayıplar sıfır olacaktır.



Şekil 2.1 Sürekli çalışma ve döngüsel çalışmada sistem sıcaklıklarları [14]

Soğutkanın kompresör yağı içindeki çözünebilirliği, basınç ve sıcaklık koşullarına göre değişir. Sabit sıcaklıkta basınç arttıkça yağ içinde çözünen soğutkan miktarı artarken, sabit basınçta sıcaklık arttıkça yağ içinde çözünen miktar azalır. Döngüsel çalışan bir soğutma sisteminde, geçici rejim sürecindeki basınç ve sıcaklık değişimleri nedeniyle yağ içinde çözünen soğutkan miktarı değişecektir. Yağ içinde çözünen soğutkan miktarının değişimi de sistemde aktif olarak dolaşan soğutkan miktarını çok yakından etkileyecektir.

Soğutma sistemlerinin bir çoğunda, buharlaştırıcı girişindeki soğutkanın kuruluk derecesini düşürüp buharlaştırıcının soğutma performansını artırmak amacıyla “kılcal boru / dönüş borusu” ısı değiştiricisi (KDID) kullanılmaktadır. R-12 soğutkanı ile çalışan bir sistemde, KDID kullanımının sistemin etkenliğini (COP) %5 oranında artırdığı tespit edilmiştir [6]. Ancak; KDID’de dönüş (emme) hattının ısınması, kompresör verimliliğini olumsuz yönde etkilemektedir. R-22 gibi bazı soğutkanların kullanıldığı soğutma sistemlerinde; KDID’nin neden olduğu kompresör verimindeki düşüş, buharlaştırıcı soğutma kapasitesinde sağlanan faydaya göre daha etkin olmakta ve bu sistemlerde KDID kullanılmamaktadır [6].

Döngüsel çalışma esnasındaki geçici rejim sürecinde, ısı değiştiricisinde gerçekleşen ısı geçişinden kılcal genişleme borusundaki soğutkan debisi etkilenenecek ve çalışma periyodu başlangıcında şarjin yeniden dağıtılması süreci kötüleşecektir. Sistemin sürekli rejimde çalışması durumunda uygun olan belirli giriş ve çıkış koşulları için KDID'de kılcal genişleme borusunun soğutulması, kılcal borudaki soğutkan debisinin artmasını sağlayacaktır. Ancak; kompresörün kalkış anı ve sonrasındaki geçici rejim sürecinde buharlaştırıcı boş (kuru-kızgın) kaldığı için, buharlaştırıcının ıslanıp tamamen dolduğu sürekli rejim durumuna göre, emme hattı çok daha sıcak olacaktır. Kılcal genişleme borusu ile dönüş borusu arasındaki ΔT sıcaklık farkı azalacağından, KDID'deki ısı geçiş performansı düşecektir ve kılcal genişleme borusundaki soğutkan buhar haline geçerek akış debisi oldukça azalacaktır. Bunun sonucunda da şarjin yeniden dağıtılması süreci uzayacak ve sistemin soğutma etkenliği kötüleşecektir. Rubas ve Bullard (1995), KDID sebebiyle geçici rejim sürecinde şarjin yeniden dağıtım sürecinin kötüleşmesinin, sistem COP'sinde %2 oranında bir düşüşe neden olduğunu tespit etmişlerdir.

2.3 Durma – Kalkma Kayıpları ve Soğutkan Göçü

Kompresör çalışmaya başladıkten sonra yoğunlukudaki basınç artacaktır. Bu basınç artışı, yoğunlukuda bulunan buhar fazındaki soğutkan üzerinde bir iş uygulanma gerekliliği anlamına gelmektedir. Durma periyodu esnasında ise, yoğunluk basıncı düşecektir ve enerji kaybına neden olacaktır. Basınç düşümünden kaynaklanan bu enerji kaybı, ideal gaz kabulüyle, Denklem 2.1'de verildiği gibi ifade edilebilir. Bu denklemde p sürekli rejimdeki yoğunluk basıncı, p_1 ve p_2 sırasıyla geçici rejim balancı ve sonundaki alçak - yüksek basınç seviyelerini ve V yoğunluk toplam hacmini ifade etmektedir. Yoğunlukudaki basınç düşümünden kaynaklanan bu kayıp, sistemin toplam soğutma kapasitesi ile karşılaştırıldığında ihmali edilebilir mertebelerdedir.

$$Q = p \cdot V \cdot \ln \frac{p_1}{p_2} \quad [1] \quad (2.1)$$

Genişleme cihazı olarak kılcal boru kullanılan sistemlerde soğutkan göçünün neden olduğu durma kayıpları ile karşılaşılır. Kompresör duduğunda yoğunlukudaki basınç düşecektir. Durma periyodu esnasında kılcal boru girişi kapatılıp soğutkan göçü engellenirse basınç, ortam sıcaklığındaki doyma basıncına kadar düşecektir. Ancak; sıvı fazdaki soğutkanın kılcal boru yoluyla buharlaştırıcıya geçişine izin

verildiğinde, basıncı bir miktar daha düşecek ve nihayetinde yoğunluk ve buharlaştırmayı başınları dengelenmeyecektir. Yoğunlukudaki basıncın düşmesi ile birlikte buharlaşma sıcaklığı da düşecek ve yoğunlukuda, sistem performansının düşmesine neden olan buharlaşma gerçekleşecektir. Buharlaştırmacıda ise basıncın bir miktar artması ile birlikte yoğunlukudaki tersi bir etki ile karşılaşılacaktır. Buharlaştırmacıya sıvı fazda giren soğutkan buharlaştırmacıda biriktirilecek ancak, yoğunlukudan buhar fazında gelen soğutkan buharlaştırmacıda yoğunlaşacak ve kabin içine ilave bir ısı yükü getirecektir. Janssen ve dig. (1992), durma – kalkma kayıplarına neden olan etkenleri üç maddede özetlemiştir: yoğunluk ve buharlaştırmacıda buhar basıncının yükselip alçalması, yoğunlukuda buharlaşma, buharlaştırmacıda yoğunlaşma. Durma periyodu esnasında yoğunlukudan buharlaştırmacıya soğutkan göçü engellenerek durma – kalkma kayıpları önlenebilir. Kılıç boru yerine termostatik genişleme valfi gibi bir başka genişleme cihazı kullanılan sistemlerde soğutkan göçü zaten engellenecaktır çünkü, durma döngüsü esnasında bu valfler normal olarak kapalı olacaktır.

Birim zamanda gerçekleşen döngü sayısının artacağından, döngü frekansının artması ile birlikte durma - kalkma kayıpları da artacaktır. Termodinamik kayıplar ile karşılaşıldığında bu olgu ters bir etki teşkil etmektedir bu nedenle, termodinamik ve durma/kalkma kayıpları birlikte göz önüne alınarak optimum bir döngü frekansı tespit edilmelidir [1].

Durma periyodu esnasında meydana gelen soğutkan göçü, döngüsel kayıpların en temel etkenlerinden biri olarak ön plana çıkmaktadır [6]. Wang ve Wu (1990), soğutkan göçünün engellenmesinin enerji tüketimini %4 oranında azalttığını tespit etmişlerdir.

Krause ve Bullard (1994), bir buzdolabının döngüsel ve sürekli çalışma durumlarındaki davranışlarını karşılaştırarak, özellikle soğutkan göçünün döngüsel kayıplar üzerinde önemli bir etken olduğunu ortaya koymuşlardır. Soğutkan göçüne etken önemli bir parametre olan farklı ortam sıcaklıklarında yapılan deneyler neticesinde, döngüsel çalışma esnasındaki net döngüsel kayıplar ile durma döngüsü esnasında göç eden soğutkan miktarlarını tespit etmişlerdir. Bu araştırmacılar, sürekli çalışma durumunda döngüsel çalışmaya nazaran %3-5 daha fazla verimlilik sağlandığını ortaya koymuşlardır.

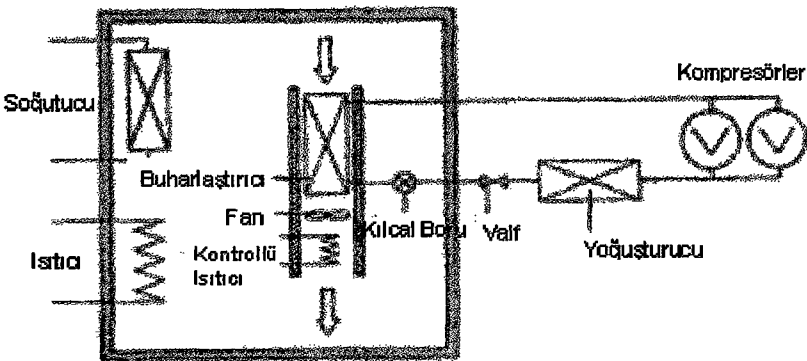
Westphalen (2002), enerji tüketiminin azaltılmasına yönelik olarak, bir buzdolabı analiz programında gerçekleştirilen modellerde çalışmaları neticesinde tasarlanan

bir buzdolabının kabin ısı yükü ve enerji tüketim değerlerini, modellemeye esas alınan buzdolabı ısı yükü ve enerji tüketim değerleri ile karşılaştırmıştır. Bu çalışmada modellemelerde baz alınan buzdolabında, soğutkan göçünün toplam kabin içi ısı kazancındaki payı yaklaşık %10 mertebelerinde gözlenmektedir. Soğutkan göçü dışındaki diğer ısı kazancı etkileri azaltılarak söz konusu buzdolabının enerji tüketiminin azaltıldığı yeni bir tasarım geliştirilmiştir. Enerji tüketiminin azaltıldığı bu yeni tasarım buzdolabında soğutkan göçünün toplam kabin içi ısı yükündeki payı %15 mertebelerine çıkmıştır [5]. Görüldüğü gibi, standart bir buzdolabı olarak alınabilecek ilk uygulamadaki modelde soğutkan göçü, enerji sarfyatını önemli derecede etkileyecektir. Enerji tüketiminin azaltılmasına yönelik modellenen ikinci uygulamada ise soğutkan göçü, kabin ve kapıdan gerçekleşen ısı kazancından sonraki en etken parametre konumunu almakta ve modelin esas amacına uygun olabilmesi için, soğutkan göçünün engellenmesine ya da etkilerinin en aza indirilmesine yönelik tedbir alınması çok büyük bir gereklilik arz etmektedir.

2.4 Döngüsel Kayıplara Yönelik, Janssen ve diğ. Tarafından Yapılan Deneysel Çalışmalar [1,14]

Janssen ve diğ. (1992), aynı koşullarda gerçekleştirilen sürekli çalışma ve döngüsel çalışma durumlarında elde edilen deneysel sonuçları karşılaştırmışlardır. Bu çalışmada döngüsel kayıplar; döngü süresi, çalışma süresi oranı ve ortam ile kabin içi sıcaklıklarının bir fonksiyonu olarak incelenmiştir. Sistemde paralel bağlı iki kompresör kullanılmış ve döngüsel çalışma durumunda paralel iki kompresör çalıştırılırken, sürekli çalışma durumunda tek bir kompresör çalıştırılmıştır. Böylece karşılaştırma sonuçları, kompresörlerin verim karakteristikleri farkından etkilenmeyecektir. Yoğunluk ile kılıçal boru arasında, durma periyodu esnasında soğutkan göçünü engellemek üzere kapanabilecek bir elektrik valfi bulunmaktadır. Şekil 2.2'de, Janssen ve diğerlerinin (1989) kurduğu deney düzeneğinin şematik görünümü verilmektedir.

Şekil 2.2'de görüldüğü gibi, buharlaştırıcı ayrı bir soğutma sistemi ile soğutulan bir kabin içinde bulunmakta ve ısıtıcılarla kabin içinde ısıl yük oluşturulmaktadır. Böylece kabin içi sıcaklıklar kontrol edilmek suretiyle, buharlaştırıcıda sabit buharlaşma koşulları elde edilebilmektedir. Çift kompresörlü soğutma çevrimi ve ısıtıcılar için bir çalışma kombinasyonu seçilmekte ve böylece, bütün döngü süreleri ve çalışma süresi oranları ölçülebilmektedir. Deneyel çıktı olarak, döngü süresinin ve çalışma süresi oranının bir fonksiyonu olan soğutma yükü elde edilmektedir.

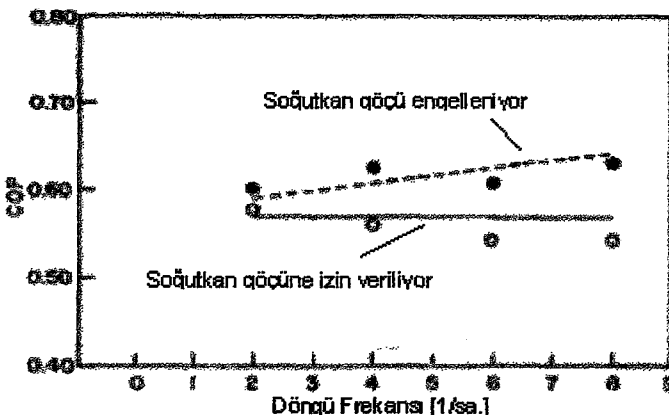


Şekil 2.2 Janssen ve diğ. (1989) tarafından kurulan deney düzeneği şematik görünümü [1]

Öncelikle, yalnız sürekli çalışan kompresör çalıştırılmakta ve kabin içi hava sıcaklığı ile ortam sıcaklığının bir fonksiyonu olarak mevcut soğutma yükü tespit edilmektedir. Daha sonra çift kompresörlü sistem çalıştırılmakta ve döngü süresi ile çalışma süresi oranı seçilerek farklı soğutma yükleri elde edilmektedir. Seçilen kombinasyon için ortaya çıkan soğutma yükü, belirli sayıda döngü üzerinden integre edilerek tespit edilmektedir. Sonrasında sürekli çalışma ile çift kompresörlü döngüsel çalışma arasında karşılaştırma gerçekleştirilmektedir. Durma periyodu esnasında, yoğunsturucu çıkışındaki valfin açılıp kapatılması suretiyle durma kayıpları incelenmiştir.

Soğutkan göçünün engellendiği ve engellenmediği durumlar için, döngü frekansına göre sistem COP'sinin değişimi tespit edilmiştir. Döngü frekansına göre sistemin soğutma etkenliğinin değişimi, soğutkan göçünün engellendiği ve engellenmediği durumlar için Şekil 2.3'te verilmektedir. Soğutkan göçünün engellenmesi durumunda, döngü frekansı N_c 'nin artması ile birlikte sistemin etkenliği de artmaktadır. Isı değiştiricisi sıcaklıklarındaki dalgalanmaların düşmesine bağlı olarak, kısa döngü sürelerinde termodinamik kayıplar da azalacaktır. Durma periyodu esnasında yoğunsturucudan buharlaştırıcıya soğutkan akışı engellendiği için, soğutucu akışkan göçünden kaynaklanan kayıplar zaten söz konusu olmayacağıdır. Soğutkan göçüne izin verildiği normal çalışma durumunda ise tam tersine, soğutkan göçünden kaynaklanan kayıplar, döngüsel kayıpların önemli bir kısmını teşkil edecek ve döngü frekansının artması ile birlikte termodinamik kayıplar azalmasına rağmen, belirli bir çalışma süresi oranına kadar durma - kalkma kayıplarının olumsuz etkisi daha etkin olacaktır [14]. Bu durumda, durma periyodu esnasında yoğunsturucudaki buharlaşma ve buharlaştırıcıdaki yoğunlaşma etkisi, saatteki durma döngüsü sayısı (döngü frekansı) ile doğrudan ilişkilidir. Şekil 2.3'te

de görüldüğü gibi, soğutkan göçüne izin verilmesi durumunda, N_c döngü frekansının artması ile birlikte COP'de de açık bir düşüş gerçekleşmektedir.



Şekil 2.3 Döngü frekansına göre soğutma etkenliği değişiminin soğutkan göçü ile ilişkisi [1]

Soğutkan göçü engellendiğinde, çok düşük çalışma süresi oranları için kararlı sonuçlar elde etmek mümkün değildir. Çok düşük çalışma süresi oranlarında, döngü frekensinden daha düşük frekensta salınımlar gerçekleşmektedir. Bu durum, kompresör kalkış problemlerinin getirdiği bir sonuç olabilir [14]. Janssen ve diğ. (1989) tarafından gerçekleştirilen deneysel çalışmalar esnasında, soğutkan göçünün engellendiği durum için en düşük %35 çalışma süresi oranı uygulanmıştır. Düşük çalışma süresi oranları uygulandığında, buharlaşma ve yoğunlaşma sıcaklıklarını arasındaki fark ve sistemdeki termodinamik kayıplar azalmaktadır. Böylece, düşük çalışma süresi oranlarında soğutkan göçünün engellendiği durumda sistem verimliliği iyileşmektedir.

Soğutkan göçüne izin verilen normal sisteme, düşük çalışma süresi oranlarında sistemin verimliliği kötüleşecektir. Çalışma süresi oranı düşük olduğunda durma - kalkma kayıpları daha fazla olacaktır. Bu durumda durma periyodu esnasında yoğunşturucu boşalacak ve yoğunşturucudaki basıncın hızlı bir şekilde düşmesi ile birlikte sıvı fazdaki soğutkan buharlaşarak buharlaştırıcıya göçecektir. Durma periyodu esnasında yoğunşturucudan buharlaştırıcıya göçen buhar fazındaki soğutkan da yüksek sıcaklıkta olacak ve buharlaştırıcıda yoğunスマya neden olacaktır. Bu da soğutma performansını olumsuz yönde etkileyecektir. Çalışma süresi oranının düşük olması ile birlikte azalan termodinamik kayıpların olumlu etkisi, bu durumda ortaya çıkan durma - kalkma kayıplarının olumsuz etkisini dengeleyemeyecektir. %75'ten daha büyük çalışma süresi oranlarında, saatte gerçekleşen döngü sayısı fazla olsa dahi, durma kalkma kayıpları sistemin toplam soğutma kapasitesi ile karşılaştırıldığında düşük mertebelerde kalacak ve yüksek

çalışma süresi oranlarında termodinamik kayıpların azalmasının olumlu etkisi sistem performansı üzerinde daha etkin olacaktır [14].

Aynı soğutma kapasitesi için sürekli çalışma durumu ile döngüsel çalışma durumu arasında %12-20 oranında bir fark tespit edilmiştir.

2.5 Farklı Ortam Sıcaklıklarında Soğutkan Göçü Etkisi, Soğutkan Göçü Miktarı ve Hal Değişim Süreci

Krause ve Bullard (1994), çalışma periyodu süresince tespit edilen COP değerlerinin ortalamalarını alarak sürekli ve döngüsel çalışma durumlarındaki sistem performanslarını karşılaştırmışlardır. Dört farklı ortam sıcaklığında gerçekleştirdikleri bu karşılaştırmayı, benzer bir şekilde soğutma kapasitesi ve kompresörün çektığı güç değerleri için de yapmışlardır. Krause ve Bullard'ın sürekli ve döngüsel çalışma durumlarında tespit ettikleri ortalama COP değerleri Tablo 2.1'de, kompresörün çektiği güç ve buharlaştırıcıda sağlanan soğutma kapasiteleri de Tablo 2.2'de verilmektedir. Sonuçlar göstermektedir ki, sürekli çalışma durumunda döngüsel çalışma durumuna nazaran %3-5 daha fazla verimlilik sağlanmaktadır. İki durum arasındaki en büyük fark, kapasite değerlerinde ortaya çıkmaktadır. Bunun yanında, çalışma döngüsünün başlangıcında önemli miktarda fazladan güç gereksinimi ortaya çıkmaktadır.

Tablo2.1 Sürekli ve döngüsel çalışma durumlarında tespit edilen COP değerleri [8]

T _{ortam} [°C]	COP		COP (%) Fark
	Döngüsel çalışma	sürekli çalışma	
15	1,18	1,22	4
24	1,04	1,08	4
32	0,92	0,97	5
38	0,86	0,89	3

Tablo2.2 Sürekli ve döngüsel çalışma durumlarında çekilen ortalama güç değerleri ve buharlaştırıcıda sağlanan soğutma kapasiteleri [8]

T _{ortam} [°C]	Güç Gereksinimi (W.h/döngü)		Güç Kaybı	Kapasite (Wh/döngü)		Kapasite Kaybı
	döngüsel	sürekli		döngüsel	sürekli	
15	48,7	48,5	0,40%	60,4	62,7	3,9%
24	72,5	71,4	1,50%	78,8	82,1	4,1%
32	116,6	116,7	0%	114,3	120,7	5,6%
38	193,8	194,5	-0,40%	178,2	185,8	4,3%

Soğutkan göçü esnasında, buharlaştırıcıya göç eden akışkanın kabin içine getireceği ilave yük miktarı, göç eden akışkanın fazına bağlıdır. Buhar fazındaki akışkanın buharlaştırıcıda yoğunması esnasında açığa çıkan ısı, faz değişim sürecinde akışkanın gizli ısısı da söz konusu olduğundan, sıvı haldeki soğutkanın yoğuneturucu sıcaklığından buharlaştırıcı sıcaklığına soğuması esnasında ortaya çıkan ısından daha fazladır. Bu nedenle, akışkanın sıvı ve buhar fazlarında göç eden miktarlarının ayrı ayrı bilinmesi, durma döngüsü esnasında kabin içine gelen ilave yükün tespitinde büyük önem arzettmektedir.

Durma periyodu esnasında soğutkanın yalnız buharlaştırıcı, yoğuneturucu ve kompresör yağı içindeki miktarının değiştiği düşünülmektedir. Bu kabul çerçevesinde, buharlaştırıcıya gelen akışkan kütlesi miktarı, yoğuneturucu ve kompresör yağından kaybedilen akışkan kütlelerinin toplamına eşittir [8].

Krause ve Bullard (1994), kompresör yağı içindeki soğutkan miktarını yüksek basınç tarafından bulunan yağ karterindeki kompresör basma basıncı ve sıcaklığına bağlı, soğutkan / yağ çözünürlük ilişkileri ile tespit etmişlerdir. Alınan ölçümler neticesinde, çalışma periyodu ve durma periyodu sonlarındaki bu söz konusu özellikler bilindiği taktirde, kompresör yağı içindeki akışkanın bu noktalardaki miktarı tespit edilebilir. Çalışma ve durma periyodlarının sonlarında hesaplanan kompresör yağı içindeki soğutkan kütleleri arasındaki fark, durma periyodu esnasında kompresör yağı içinde çözünmüş halde bulunan soğutkanın ayrılan miktarına eşit olacaktır. Durma periyodunun sonunda, yoğuneturucudaki soğutkan kızgın buhar halinde bulunmaktadır. Durma periyodu sonunda yoğuneturucuda bulunan soğutkan miktarı, yoğuneturucu hacminin akışkanın ölçülen basınç ve sıcaklığındaki özgül hacmine bölünmesi ile tespit edilebilir. Sıvı fazda akışkanın varlığı nedeniyle, yoğuneturucuda bulunan soğutkanın çalışma periyodunun sonundaki miktarının tespiti daha zordur. Bu hesaplama için, Krause ve Bullard (1994), Goodson ve Bullard (1994) tarafından sürekli rejim koşulları için geliştirilen bir buz dolabı sistem modelinin yoğuneturucu ile ilgili kısmını kullanmışlardır. Bu modelde, yoğuneturucunun iki-fazlı akış bölgesindeki soğutkan kütlesi, Hughmark korelasyonu kullanılarak tespit edilmiştir. Çalışma periyodu sonlarında kondenserde bulunan akışkan miktarları arasındaki fark, kapama döngüsü süresince kondenserden ayrılan akışkan miktarına eşit olacaktır.

Kompresör yağı içindeki ve yoğuneturucudaki soğutkan kütlelerinin değişimlerinin toplamı, durma periyodu esnasında buharlaştırıcıya geçen soğutkan miktarını verecektir. Krause ve Bullard'ın durma periyodu süresince sistem komponentlerinde tespit ettikleri şarj (soğutkan miktarı) değişimini Tablo 2.3'te verilmektedir.

Tablo 2.3 Durma periyodu süresince sistem komponentlerindeki şarj değişimi [8]

T_{ortam} [°C]	Sistem Komponenti		
	Kompresör Yağı (gr)	Kondenser (gr)	Evaporatör (gr)
15	-17,6	-65,5	83,1
24	-20,4	-68,9	89,3
32	-22,7	-72,8	95,5
38	-24,1	-75,1	99,2

Tablo 2.4'de de Krause ve Bullard'ın dört farklı ortam sıcaklığı için tespit ettilerleri, durma periyodu esnasında soğutkan göçünün neden olduğu ısıtma etkisi değerleri verilmektedir. Tablodaki bu ısı değerleri, göç eden soğutkan miktarı ile durma periyodu ortalama buharlaştırıcı basıncındaki buharlaşma gizli ısısının çarpılmasıyla tespit edilmişlerdir. Durma periyodu esnasındaki ısıtma etkisinin büyülüğu ortam sıcaklığı ile birlikte artış göstermekte fakat, bu artış bir döngüdeki toplam soğutma kapasitesi ile aynı oranda olmamaktadır. Böylelikle, durma periyodu ısıtma etkisinin bir döngüdeki toplam soğutma kapasitesine göre yüzdesi, ortam sıcaklığının artmasıyla birlikte düşmektedir.

Tablo 2.4 Durma periyodu esnasında soğutkan göçünün neden olduğu ısıtma etkisi [8]

T_{ortam} [°C]	Toplam Soğutma Kapasitesi (Wh / döngü)	Durma Periyodu Isıtma Etkisi	
		(Wh / döngü)	%Etki
60	60,5	3,73	6,20%
75	79,0	3,99	5%
90	114,5	4,29	3,70%
100	178,6	4,44	2,50%

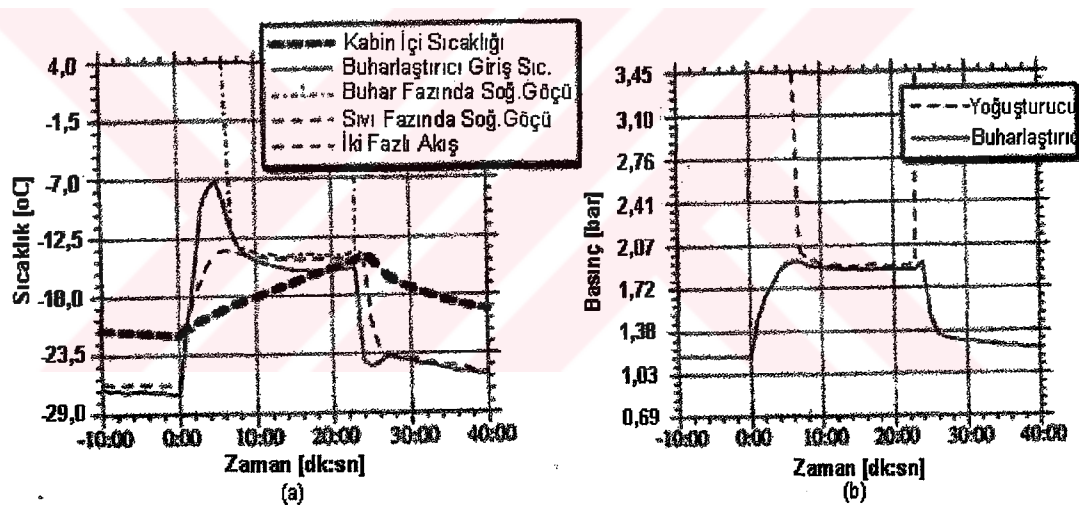
2.5.1 Rubas ve Bullard'ın Soğutkan Göçü Esnasındaki Hal Değişim Süreciyle İlgili Deneysel Çalışmaları [6-7]

Rubas ve Bullard (1993), iki farklı ortam sıcaklığında (15°C ve 32°C) deneyler gerçekleştirmektedir, soğutkan göçü esnasındaki hal değişim sürecini irdelemiştir ve soğutkan göçünün hal değişim sürecini, enerji tüketimi üzerindeki etkisi ile ilişkilendirmiştir.

2.5.1.1 32°C Ortam Sıcaklığında Soğutkan Göçü

Soğutma sistemi normalden daha fazla şarj edilip, çalışma periyodunun sonunda yaklaşık $6,5^{\circ}\text{C}$ aşırı soğutma gerçekleştirilmektedir. Böylece; durma periyodu başlangıcında soğutkan göçünün sıvı fazında gerçekleşmesi garanti edilmiştir. Kılcal genişleme borusu girişi ile yoğunluklu çıkış arasında, durma periyodu başlangıcında sıvı ile dolu olan bir filtre kurutucu bulunmaktadır. Filtre kurutucudaki

ısı akısı, durma periyodunun başlangıcında kurutucuyu dolduran sıvı fazdaki akışkanı buharlaştırmaya yetecek kadar yüksek değildir ve bunun neticesinde buhar fazında göç başlayana kadar bu sıvı buharlaştırıcıya göç edecektir. Deney düzeneğinde yoğunsturucu çıkışı buzdolabının üst tarafındadır, bu nedenle kompresör durduğunda sıvı fazdaki soğutkan yoğunsturucunun alt kısımlarına akacak ve aşırı soğutma nedeniyle başlangıçta gerçekleşen kısa bir sürelik az miktarda sıvı fazda göç dışında, durma periyodunun seyrinde buhar fazında soğutkan göçü gerçekleşecektir. Şekil 2.4(a)'da durma periyodu esnasında buharlaştırıcı girişinde gözlenen, soğutkan sıcaklığının zamana göre değişimi görülmektedir. Bu grafikte ayrıca; soğutkan göçünün sıvı ve buhar fazlarında gerçekleşebileceği en yüksek sıcaklıklar da görülmektedir. Bu sıcaklıklar, adyabatik genişleme kabulüyle, kılcal boru giriş ve çıkışındaki entalpilerin eşitlenip sıcaklıkların çekilmesi ile elde edilmiştir. Şekil 2.4(b)'de de aynı koşullarda, durma periyodu esnasındaki yoğunsturucu ve buharlaştırıcı basınçları verilmektedir.



Şekil 2.4 32°C ortam sıcaklığında; (a) buharlaştırıcı giriş sıcaklığı ve faz durumu [7]
(b) yoğunsturucu ve buharlaştırıcı basınçları [7]

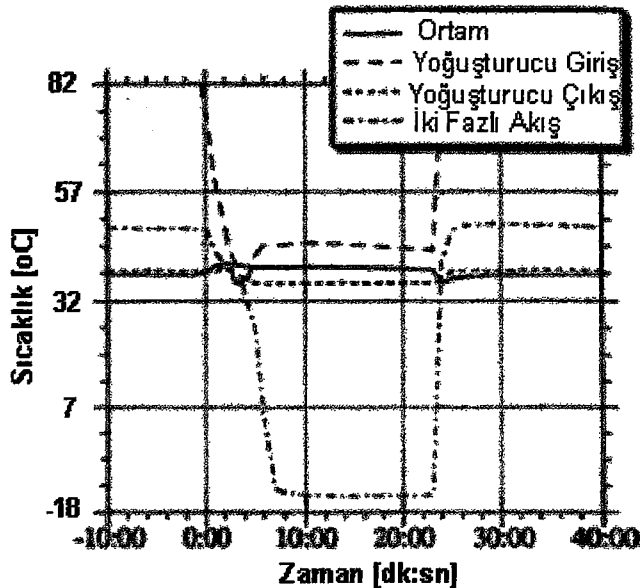
Şekil 2.4'te görüldüğü gibi; durma periyodu esnasında basınçlar yaklaşık 8 dakikada eşitlenmekte ve soğutkan göçü bu süre içinde tamamlanmaktadır. Soğutkan göçü esnasında buharlaştırıcı basıncı, yoğunsturucu basıncı ile dengelenene kadar artmakta ancak, basınçlar dengelendiğinde buharlaştırıcı basıncında küçük bir düşüş gerçekleşmektedir. Basınçlar dengelendiği anda buharlaştırıcıda soğutkan miktarı sabit kaldığına göre, sıcaklığındaki bu düşüşün buharlaştırıcıdan kabin içine olan ısı geçişinden kaynaklandığı düşünülebilir. Sıvı fazda soğutkan göçünün gerçekleştiği ilk 2 dakika sonrasında, buharlaştırıcı ve iki fazlı akış sıcaklığı kabin içi sıcaklığının üstüne çıkmaktır ve durma periyodunun geri kalan kısmında bu şekilde

kalmaktadır. Bu nedenle durma periyodunun büyük bir kısmında, soğutkan göçü nedeniyle buharlaştırıcıdan kabin içine ısı geçisi gerçekleşecektir.

Şekil 2.4(a)'da görüldüğü gibi; durma periyodunun ilk 2 dakikasında, sıvı fazda göç için söz konusu olan en yüksek akışkan sıcaklığı, ölçülen buharlaştırıcı giriş sıcaklığından az da olsa yüksektir. Bu nedenle, periyodunun ilk 2 dakikasında sıvı fazda soğutkan göçü gerçekleştiği söylenebilir. Kalan 6 dakikalık göç süresinde ise sadece buhar fazda soğutkan göçü gerçekleşecektir, çünkü sıvı fazda göç için söz konusu olan maksimum akışkan sıcaklığı ölçülen buharlaştırıcı giriş sıcaklığından düşüktür. Bu sonuç basınç ile de ilişkilendirilebilir; durma periyodunun başında yoğunşturucudan buharlaştırıcıya göç eden akışkanın giriş sıcaklığının buharlaştırıcı giriş sıcaklığından yüksek olması, yoğunsturucu basıncının henüz yüksek olmasının bir sonucudur. Bu nedenle sıvı fazda soğutkan göçü gerçekleşecektir. İleri safhalarда ise, soğutkan giriş sıcaklığının buharlaştırıcı giriş sıcaklığından düşük olması yoğunsturucu basıncının düşmesi ile ilişkilendirilebilir. Yoğunsturucu basıncı düşüğünden, buharlaşma sıcaklığı da düşecek ve göç eden soğutkan buhar fazında bulunmaya başlayacaktır.

Şekil 2.5'te; 32°C ortam sıcaklığında, yoğunsturucu sıcaklıklarının durma periyodu süresince değişimi görülmektedir. Kompresör durduğunda, belli bir miktar soğutkan göç edene kadar, yoğunsturucudaki akışkanın çift fazlı olduğu düşünülmektedir. Bu noktadan sonra akışkan kızgın buhar fazındadır. Durma periyodunun ilk iki dakikasında, iki fazlı akışkanın sıcaklığı ortam sıcaklığının altına düşmektedir. Bu nedenle havadan soğutkana ısı geçisi gerçekleşmekte ve soğutkan tamamen buharlaşmaktadır. Şekil 2.5'ten de anlaşılacağı gibi, ilk 2 dakikada sıvı fazında gerçekleşen soğutkan göçü sürecinden sonra, yoğunsturucunun hiçbir bölümünde sıcaklık, yoğunsturucu basıncındaki doyma sıcaklığını ifade eden, iki fazlı akış eğrisinin altına düşmemektedir. Böylece; ilk 2 dakika sonrasında, basınçların dengelenip soğutkan göçünün tamamlanmasına kadar, yoğunsturucudaki soğutkanın tamamen kızgın buhar fazında olduğu söylenebilir.

Buhar fazında soğutkan göçü gerçekleştiğinde, kabin içine yaklaşık 31kJ'lik ilave bir ısı yükü gelmektedir. Sıvı fazda soğutkan göçü gerçekleşmesi durumunda ise, kabin içine yaklaşık 16kJ'lik ısı geçisi olmaktadır. Bütün kabinin soğutmaceği yaklaşık 420kJ olduğuna göre; soğutkan göçü durma periyodu esnasında, buhar fazında %7, sıvı fazında da %4 oranında bir yük artışıına neden olmaktadır.

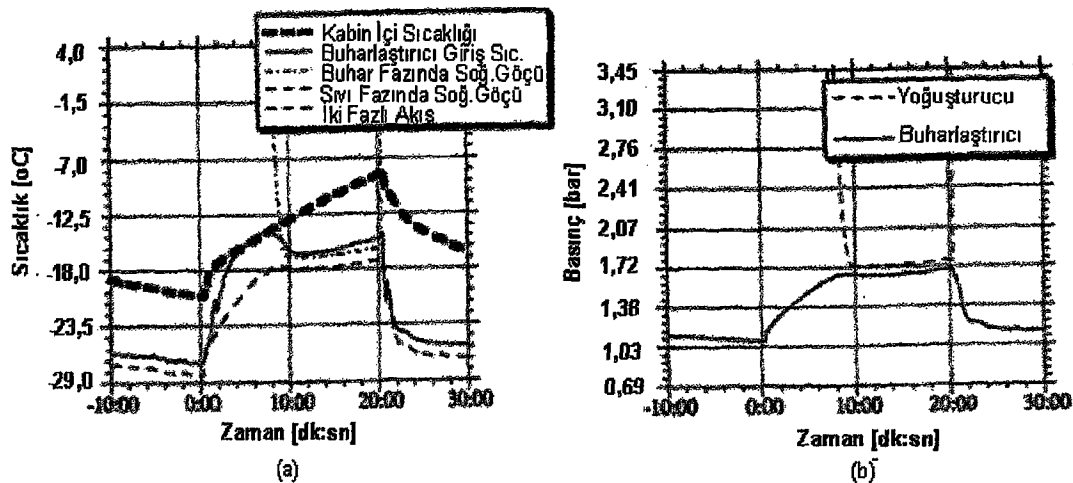


Şekil 2.5 32°C ortam sıcaklığında durma periyodu esnasındaki yoğunlaştırıcı sıcaklıklar [7]

2.5.1.2 15°C Ortam Sıcaklığında Soğutkan Göçü

32°C ortam sıcaklığında yapılan deneylerde bir döngü 60 dakika sürmüştür. 15°C ortam sıcaklığında da aynı döngü süresini elde edebilmek amacıyla, kabin içine 80W'lik ilave bir ısı yükü getirilmiştir. Şekil 2.6(a)'da durma periyodu esnasında buharlaştırıcı girişinde gözlenen, soğutkan sıcaklığı ile sıvı ve buhar fazlarında göç için söz konusu olan en yüksek sıcaklıkların zamana göre değişimi görülmektedir. Grafikten de anlaşılabileceği gibi, durma periyodunun yalnız ilk 30 saniyesinde sıvı fazda soğutkan göçü gerçekleşmektedir. Durma periyodunun bundan sonraki safhalarında buharlaştırıcı giriş sıcaklığı, sıvı fazda göç için söz konusu olan en yüksek akışkan sıcaklığından daha yüksektir. Böylelikle, 15°C ortam sıcaklığındaki buhar fazında soğutkan göçü, 32°C'ye nazaran daha erken başlamaktadır. Buhar fazında soğutkan göçü esnasındaki buhar debisi sıvı fazındaki debiye göre çok daha düşük olduğundan, aynı şarj miktarı için buhar fazındaki göç süresi sıvı fazındakine göre daha uzun sürecekdir. Bu etki, durma periyodu süresince buharlaştırıcı ve yoğunlaştırıcı basınçlarının değişiminin verildiği Şekil 2.6(b)'den de görülebilir. 32°C ortam sıcaklığında basınçlar 8 dakikada dengelenirken, bu durumda 10 dakikada basınç dengesi sağlanmaktadır.

Şekil 2.6(a)'da görüldüğü gibi, kabin içi sıcaklığı durma periyodu boyunca daima buharlaştırıcı sıcaklığından yüksektir. Bunun neticesinde, kabin içinden buharlaştırıcıya ısı geçişleri gerçekleşecektir ve faydalı bir soğutma etkisi sağlanacaktır.



Şekil 2.6 32°C ortam sıcaklığında; (a) buharlaştırıcı giriş sıcaklığı ve faz durumu [7]
 (b) yoğunleur ve buharlaştırıcı basınçları [7]

15°C ortam sıcaklığında, durma periyodu süresince kabin içi sıcaklığının buharlaştırcıdaki soğutkan sıcaklığından yüksek olması nedeniyle elde edilen soğutkan etkisi, 32°C ortam sıcaklığındaki duruma göre verimliliği artıracaktır. Ancak bu göreceli bir artıstır. 15°C ortam sıcaklığı durumunda soğutkan göçü ortadan kaldırıldığı ya da en aza indirildiği takdirde, şüphesiz daha verimli bir soğutma çevrimi sağlanmış olacaktır. Bu tespit sadece farklı ortam sıcaklıklarındaki göç etkisini ortaya koymak amacıyla yapılmıştır.

2.5.1.3 Sonuçlar ve Çıkarımlar

Rubas ve Bullard (1993), tek bir döngü için soğutkan göçü etkisinin ortam sıcaklığının düşmesi ile birlikte azalacağını ortaya koymuşlardır. Ancak bir günlük zaman dilimi esas alınarak enerji hesaplamaları yapılacak olursa, düşük ortam sıcaklıklarında günlük döngü sayısı artacağından toplam soğutkan göçü etkisinin de daha fazla olması beklenebilir.

Rubas ve Bullard'ın iki farklı ortam sıcaklığında tespit ettikleri, sıvı ve buhar fazlarındaki soğutkan göçü süreleri ile toplam soğutkan göçü süreleri Tablo 2.5'te özetlenmiştir. Durma periyodu başlangıcından itibaren gerçekleşen sıvı fazındaki göç süreleri değerlendirilirken, kullanılan deney düzeneğindeki yoğunleur çıkışının üst tarafta olduğu göz önünde bulundurulmalıdır. Yoğunleur çıkışı sistemin alt tarafına alındığı takdirde, sıvı fazındaki soğutkan buharlaştırıcıya daha kolay geçebilecektir. Bu durumda, yoğunleur çıkışının alt tarafta alındığı takdirde, sıvı fazda soğutkan göçünün tespit edilenden daha uzun sürmesi beklenebilir.

Tablo 2.5 Rubas ve Bullard'ın iki farklı ortam sıcaklığında tespit ettikleri, sıvı ve buhar fazlarındaki soğutkan göçü süreleri ile toplam soğutkan göçü süreleri [6-7]

Ortam Sıcaklığı	Yaklaşık Sıvı Geçiş Süresi	Y.B. – A.B. Dengelenme Süresi	Yaklaşık Buhar Geçiş Süresi
60°F (15.5°C)	0.5 – 1 dk.	9.5 – 10 dk.	8.5 – 9 dk.
90°F (32.2°C)	2.5 – 3 dk.	7.5 – 8 dk.	4.5 – 5 dk.

Rubas ve Bullard; düşük ortam sıcaklığında (15°C), göç eden soğutkan sıcaklığının kabin içi sıcaklığından düşük olması nedeniyle sıvı fazdaki soğutkanın çok kısa sürede buharlaştığını ve buhar fazında soğutkan göçünün daha erken başladığını tespit etmişlerdir. 15°C ortam sıcaklığında, döngü süresinin 60 dakika yapılabilmesi amacıyla kabin içinde 80W'lık ilave bir ısı yükü uygulanmıştır. Bu nedenle; 15°C ortam sıcaklığı durumunda durma periyodu esnasındaki kabin içi sıcaklığı, 32°C ortam sıcaklığı durumundaki kabin içi sıcaklığından biraz daha yüksek seviyelerde kalmakta ve daha hızlı bir artış göstermektedir. Oysa, ilave bir ısı yükü olmadığından, düşük ortam sıcaklıklarında kabin içi sıcaklıklarının da daha düşük seviyelerde kalması ve daha yavaş bir artış göstermesi beklenir. Bu durumda, düşük ortam sıcaklığında sıvı fazdaki soğutkan göçünün, tespit edilen sürelerden daha uzun olması beklenebilir.

2.6 Şarjin Yeniden Dağıtılması

Çalışma periyodunun başlangıcında kompresör çalışmaya başlar başlamaz, geçici rejim etkileri buzdolabının kararlı bir şekilde çalışmasını engeller. Bu geçici rejim etkilerinden bir tanesi de, belirli bir süre sonrasında kadar buharlaştırıcıının kuru kalması ile karakterize edilen şarjin yeniden dağıtılması problemidir. Kompresör başladıkten sonra, durma periyodu esnasında buharlaştırıcıda biriken sıvının yeniden dağıtılması önemli bir zaman alacaktır. Janssen ve diğ. (1992), buharlaştırıcıının tamamen ıslanması ve bütün buharlaştırıcı geçişlerinde buharlaşma sıcaklığına düşülebilmesi için gerekli süreyi 6-7 dakika olarak tespit etmişler ve yüksek döngü frekanslarındaki çalışma süresinin, şarjin yeniden dağıtımının sağlanıp verimli bir soğutma işlevi gerçekleştirilebilmesi için çok kısa olduğunu vurgulamışlardır.

Rubas ve Bullard (1993), şarjin yeniden dağıtımı sürecinde kompresörde basılması gereken soğutkanın buharlaştırıcıdan sıvı fazda ayrılmasının, buharlaştırıcıının

tamamen ıslanıp karalı çalışma durumuna daha çabuk ulaşmasını sağlayacağını ileri sürmüşlerdir. Sıvı fazdaki soğutkan, nispi olarak daha sıcak olan kompresöre girdiğinde buharlaşacak ve emme basıncı artacaktır. Böylelikle kompresörün sıkıştırma oranı azalacağından akışkan debisi artacak ve şarjin yoğunşturucuya basılması ivme kazanacaktır [6]. Ayrıca; çalışma periyodu başlangıcında kompresörün emme etkisiyle buharlaştırıcıının boşalıp kuru kalması neticesinde kompresör girişindeki buharın kızgınlık derecesinin artacaktır. Yüksek kızgınlık da kararlı bir şarj dağıtımını sağlanana kadar soğutma kapasitesinde bir düşüse neden olacaktır [7].

Buharlaştırıcı çıkışında akümülatör kullanıldığı taktirde, sıvı akışkanın büyük bir kısmı buharlaştırıcıda kalacak ve buharlaştırıcı çıkışında sadece buhar fazında soğutkan bulunacaktır. Bu durumda; buharlaştırıcıda bulunan sıvı fazdaki soğutkan buharlaşıırken, kabin içinden soğutkana ısı geçisi olacak ve soğutma sağlanabilecektir. Ancak yine de buharlaştırıcı çıkışı buhar fazında olduğundan doyma basıncının ve sıcaklığının düşmesi ve kabin içi ortamından soğutkana kararlı bir ısı geçişininlanması uzun zaman alacaktır [6-7].

Buharlaştırıcıdaki anlık şarj miktarı, buharlaştırıcının giriş ve çıkışındaki akış debileri farkı ile tanımlanabilir. Çalışma periyodunun ilk anlarında kılcal borudan buharlaştırıcıya akış debisi çok düşük olacaktır çünkü, çalışma periyodunun başlarında yoğunşturucu çıkışındaki soğutkan kızgın buhar fazındadır. Yoğunşturucudaki şarj (soğutkan miktarı) iyileşikçe, çıkıştaki kuruluk derecesi düşecek ve kılcal genişleme borusundaki soğutkan debisi artacaktır [7].

Rubas ve Bullard (1993), iki farklı ortam sıcaklığında (15°C ve 32°C) şarjin yeniden dağıtılması sürecini incelemiştir. 15°C ortam sıcaklığı durumunda buharlaştırıcı, kararlı haldeki tam soğutma kapasitesine çalışma periyodu başladıkten 2 dakika sonra ulaşmış ve 2 dakikalık şarjin yeniden dağıtılması süreci %0,6 oranında bir kapasite düşüşüne neden olmuştur. 32°C ortam sıcaklığında ise; şarjin yeniden dağıtılması süreci 4 dakika sürmüşt ve bu süreçte buharlaştırıcının soğutma kapasitesinde %2,3 oranında bir düşüş gerçekleşmiştir [7].

İnan (1998), bir buz dolabının akümülatör, filtre kurutucu ve kılcal boru çıkış bölgelerinin farklı ortam sıcaklıklarındaki şarj dengesi ve sıvı hareketlerinin irdelenmesi amacıyla x-ışını gözlemlerinden faydalananmıştır. İnan, ortam sıcaklığının artması ile birlikte sıvının aküye gelme süresinin kısallığını tespit etmiştir. Ayrıca, yüksek ortam sıcaklığında aküdeki maksimum sıvı seviyesi de artmıştır.

2.7 Sistem Kapasitesinin Düzenlenmesi

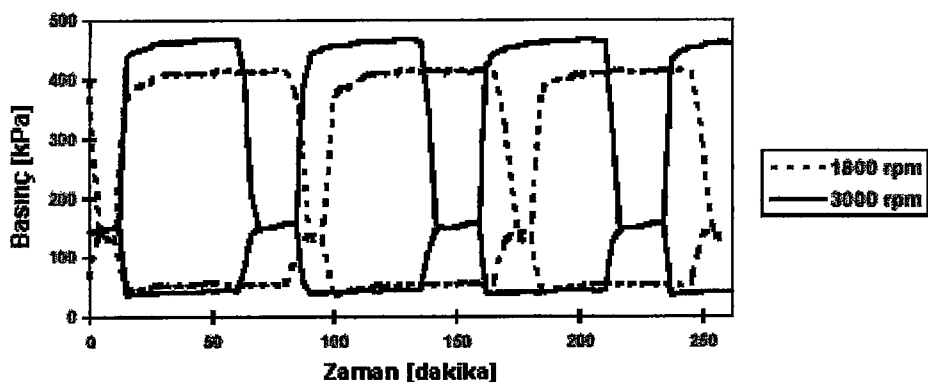
Soğutkan göçü ve diğer döngüsel kayıp etmenleri, doğrudan kompresörün durma / kalkma süreci ile ilişkili olduğundan, kompresör kapasitesinin kontrol edilmesi yoluyla soğutkan göçünün engellenmesi ya da etkilerinin en aza indirilmesi düşünülebilir.

İklimlendirme ve soğutma sistemlerinin birçoğu, maksimum ısı yüküne göre tasarlanmaktadır. Maksimum miktarın altındaki gerçek yükleri karşılayabilmek için, iç ortam sıcaklığının algılandığı bir termostat vasıtıyla çevrim süresinin tayin edildiği, durma / kalkma kontrollü döngüsel bir çalışma karakteristiği gösterirler. Kompresörün durma / kalkma kontrollü çalıştırılması, en eski kontrol metodudur ve bu durumda en yüksek kapasite, kompresörün sürekli çalıştırılması ile elde edilir. Ancak sistem çoğu zaman, kapının kapalı olduğu düşük kapasitelerde çalışır ve bu düşük kapasitelerde sistemin yüksek güçle çalıştırılması, maliyeti artırır [2]. Bu "döngüsel çalışma" (conventional cycling - CC) [3] tipi kapasite düzenlemesinde, çalışma periyodunun büyük kısmında yüksek basınç artışı ile karşılaşılır ve bu da verimin düşmesine neden olur.

Şekil 2.4'te görüldüğü gibi, döngüsel çalışmanın durma - kalkma süreçleri arasında büyük basınç farklılıklarını oluşturmaktadır. Önemli miktarda ilave ısı yüküne neden olan soğutkan göçü de döngüsel çalışmada bu büyük basınç değişimlerinin bir sonucudur. Kompresörün devir sayısı düşürüldüğünde, çalışma süresi de bağıl olarak uzamaktadır [2]. Bunun yanında, buharlaştırıcı basıncı daha yüksek, yoğunsturucu basıncı daha düşük olduğundan kompresörün durma / kalkma sayısı ve böylece enerji tüketimi de azalacaktır. Kompresörün düşük hızlarda çalıştırılması durumunda yoğunsturucu ve buharlaştırıcı arasındaki basınç farkının daha az olması, soğutkan göçünün olumsuz etkisini de azaltacaktır.

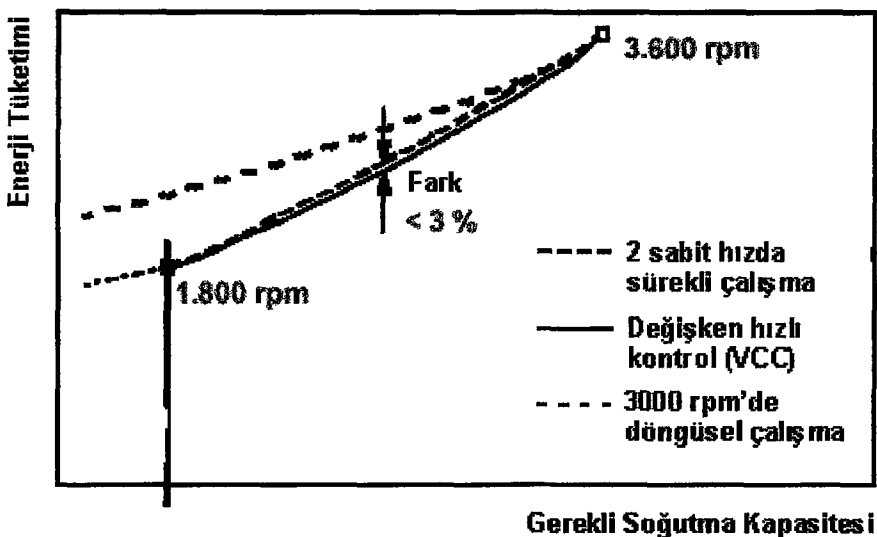
Kompresörün sürekli fakat düşük hızlarda çalıştığı değişken hızlı (variable speed-VS) [3] kapasite düzenlemesi, geleneksel döngüsel çalışmaya bir alternatifidir. Kompresörün düşük hızlarda çalışması enerji tüketimini azalttırdıdan, döngüsel kayıpların da ortadan kalkması ile birlikte, kompresörün düşük hızlarda sürekli çalıştırılması faydalı olacaktır. Isı yükü arttığında kompresör hızının da artırılarak sabit iç sıcaklık değerleri sağlanmak üzere, iç ortamda bulunan bir termostat kompresör kontrol ünitesine bağlıdır. Böylece buharlaştırıcı ve yoğunsturucu yüzeyleri sürekli çalışma boyunca kullanılacağından, kompresörün kalkışını zorlaştıran büyük basınç farklılıklarını azalacak ve yüksek bir çevrim verimliliği sağlanacaktır [3]. Böyle

bir sürekli çalışma durumunda, kapalı kapı koşullarında %30 enerji tasarrufu sağlanabilecektir [2]. Bu bağlamda, değişken hızlı hermetik kompresörlerin gelişimi önem kazanmaktadır. Böylelikle her zaman istenen soğutma kapasitesi sağlanabilecektir. Enerji tasarrufu adına geliştirilen bu çözümün tek sakıncası, değişken frekanslı akım sağlayacak elektronik donanımın da motor gücünün %2-5'i mertebelerinde [2] elektriksel güçe ihtiyaç duymasıdır. Bu nedenle, sürekli çalışan değişken hız kontrolünün gerekliliğine iyi karar verilmelidir.



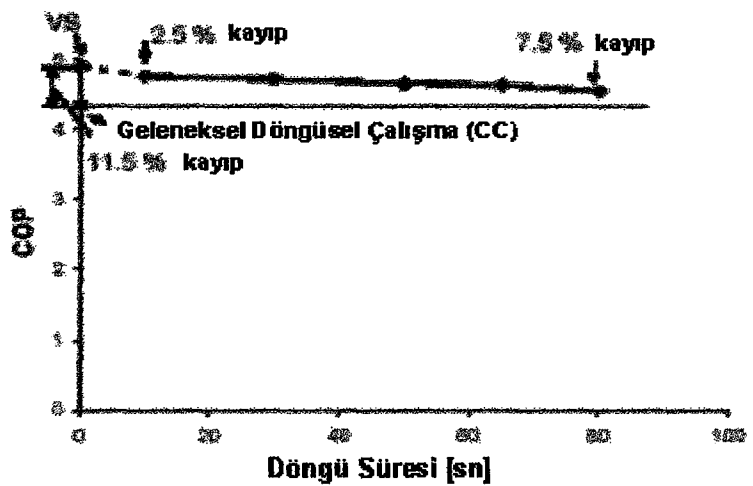
Şekil 2.7 Döngüsel çalışmada, farklı kompresör hızlarındaki döngü basınçları [2]

Kompresörün değişken hızlarda sürekli çalıştırılması ile gerçekleştirilen kapasite kontrollünde, kompresör hızının değiştirilmesi için gerekli olan inverter maliyeti artıldığı için, farklı sürekli çalışma alternatifleri gündeme gelmektedir. Bu bağlamda, değişken hız kontrollü kompresör kullanılmasının bir alternatifi de kompresörün sabit iki hızda çalıştırılmasıdır. Normal çalışma koşullarında düşük hız, pik yüklerde ise yüksek hızda çalışılacaktır. Binnenerg ve diğ. (2002), değişken hızlı sürekli çalışma ile sabit iki hızda sürekli çalışma durumlarını deneySEL olarak karşılaştırmışlardır. Şekil 2.8'de söz konusu iki kontrol yöntemindeki enerji sarfiyatları, farklı soğutma kapasiteleri için karşılaştırılmıştır. Görülmektedir ki, bulgular arasında yok denebilecek kadar az fark bulunmaktadır. Yalnız düşük kapasitelerde değil, iki sistemin de yüksek hızda sürekli çalışması durumundaki yüksek kapasitelerde dahi enerji sarfiyatları birbirine çok yakındır. Ortalama bir kapasitede, iki yöntem arasındaki enerji farkının en büyük değeri %3'den küçüktür [2].



Şekil 2.8 Değişken hızlı kapasite kontrolü ile sabit iki hızda sürekli çalışmanın enerji tüketimi açısından karşılaştırılması [2]

Sistem kapasitesinin düzenlenmesine yönelik bir başka yöntem de kompresörün kısa-döngülü çalıştırılmasıdır (compressor short-cycling – SC). Kısa-döngülü çalışma, kompresörün 5-20sn gibi kısa döngü sürelerinde durma-kalkma işlevlerinin gerçekleştirilemesi ile karakterize edilmektedir [3]. İç ortamda bulunan termostat, VS metodunda kompresör hızını kontrol ettiği gibi, SC metodunda da kısa-döngülü (SC) çalışmanın çalışma süresi oranını (runtime fraction) düzenleyecektir. Böylece, ısı yükü arttığında kompresör çalışma süresi oranı da artacak ve istenen sabit iç sıcaklık sağlanacaktır. Buharlaştırıcı ve yoğunıştırıcı kısa-döngülü çalışma boyunca kullanılacağından, çalışma periyodu esnasındaki yüksek basınç değişimini azalacak ve değişken hızlı kapasite düzenlemesindeki çevrimisel verimlilik sağlanacaktır [3]. Ilic ve diğ. (2002), kısa-döngülü çalışma ile sürekli çalışma uygulamalarını deneyel olarak karşılaştırmışlardır. Şekil 2.9'da; kısa-döngülü çalışma yöntemi (SC) ile geleneksel döngüsel çalışma (CC) ve değişken hızlı sürekli çalışma (VS) yöntemleri, sağlanan soğutma etkenlikleri (COP) açısından karşılaştırılmaktadır. Geleneksel döngüsel çalışma, değişken hızlı sürekli çalışma ile karşılaştırıldığında %11,5 oranında COP kaybına neden olmuştur. 10sn döngü süresi uygulandığında, kısa-döngülü çalışma ile sürekli çalışma arasındaki COP farkı %2,5 oranında kalmaktadır. Döngü süresinin 80 saniyeye çıkarılması durumunda ise; sürekli çalışmaya nazaran %7,5 oranında bir COP kaybı olmaktadır [3]. Kısa döngülü çalışma yönteminde; kompresör 5-20 saniye gibi çok kısa döngü sürelerinde döngüsel çalıştırılmaktadır. Böylece; gerek basınç değişimleri ve gerekse elde edilen soğutma etkenliği açısından sürekli çalışma durumuna yaklaşımaktadır.



Şekil 2.9 Kısa döngülü çalışmanın, döngüsel çalışma ve değişken hızlı çalışma ile karşılaştırılması [3]

3 SOĞUTKAN GÖÇÜ ETKİSİNİN VE GENEL DAVRANIŞININ DENEYSEL OLARAK İRDELENMESİ

Bir soğutucunun çalışacağı ortam sıcaklığı, durma periyodu başlangıcında yoğunşturucuda bulunan soğutkanın bulunduğu sıvı ve buhar fazlarındaki miktarını etkiler. Ayrıca; durma periyodu esnasında yoğunşturucudan buharlaştırıcıya geçen soğutkanın sıcaklığı da soğutucunun bulunduğu ortam sıcaklığı ile birinci dereceden ilişkilidir. Yüksek ortam sıcaklıklarında, göç eden soğutkanın sıcaklığı da yüksek olacağından, durma periyodu esnasında buharlaştırıcıda bulunan soğutkan ile kabin içi arasındaki ΔT sıcaklık farkı artacak ve soğutkan göçünün neden olduğu birim soğutkan miktarı başına ısıtma etkisi daha etkin olabilecektir. Durma periyodu esnasında göç eden soğutkan ile kabin içi arasındaki sıcaklık farkının yanında, soğutkan göçünün neden olduğu ilave ısı yükünü etkileyebilecek diğer bir önemli etken de yoğunşturucudan buharlaştırıcıya geçen soğutkan miktarıdır. Kullanılan soğutkanın termodinamik özelliklerine bağlı olarak, farklı soğutkanlar kullanılması durumlarında eş soğutma kapasitesi için sistemde kullanılması gereken soğutkan miktarı değişecektir. Bu nedenle; farklı soğutkan kullanımı da soğutkan göçünün etkisi açısından ön plana çıkmaktadır.

Bu çalışmada; farklı ortam sıcaklıklarında, R134a ve R600a soğutkanları kullanılması durumları için gerçekleştirilen deneylerde soğutkanın sıvı ve buhar fazlarında buharlaştırıcıya geçiş süreleri büyük bir yaklaşımla belirlenmeye çalışılmış ve soğutkan göçünün sistem performansına olan etkisi ile ilişkilendirilmiştir. Bir derin dondurucunun bulunduğu ortam ile kabin içi arasındaki ΔT sıcaklık farkı daha büyük olduğundan, soğutkan göçünün daha etkin olarak irdelenebilmesi amacıyla, deneylerde aynı soğutma kapasitesine sahip R134a ve R600a ile çalışan iki adet derin dondurucu kullanılmıştır.

3.1 R134a Soğutkanlı Derin Dondurucu Deneyleri

Soğutkan göçü esnasındaki basınçların dengelenme süreci ve bu süreçteki faz değişimi gibi davranışlarının irdelenmesi amacıyla R134a soğutkanı ile çalışan bir derin dondurucu kullanılmıştır. 130W ($\pm 7\%$) soğutma kapasitesine sahip bir hermetik

kompresörün bulunduğu sistemde, 175gr şarj uygulanmıştır. Derin dondurucu buharlaştırıcısı, açık telli-borulu bir ısı değiştiricisidir. Doğal taşınımı telli-borulu tip yoğuşturucu; 22 geçişli (sıralı), toplam 12m uzunluğundaki 3/16" çaplı borulardan oluşmaktadır. Genişleme cihazı olarak, 0,66mm çapında ve 4m boyunda bir kılcal genişleme borusu kullanılmaktadır. Kılcal borunun büyük bir kısmı "kılcal boru / dönüş borusu ısı değiştiricisi"nde dönüş boru ile ısı alışverişinde bulunmaktadır.

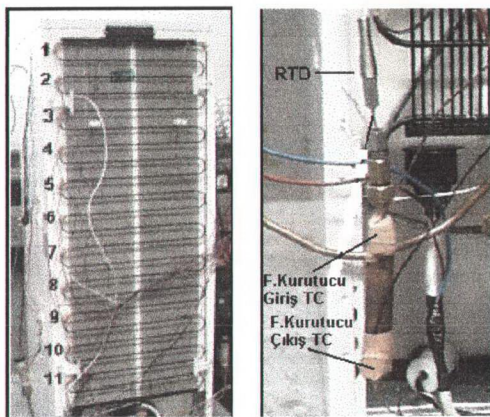
3.1.1 Ölçüm Büyüklükleri, Yöntemleri ve Belirsizlikleri

3.1.1.1 Sıcaklık Ölçümleri

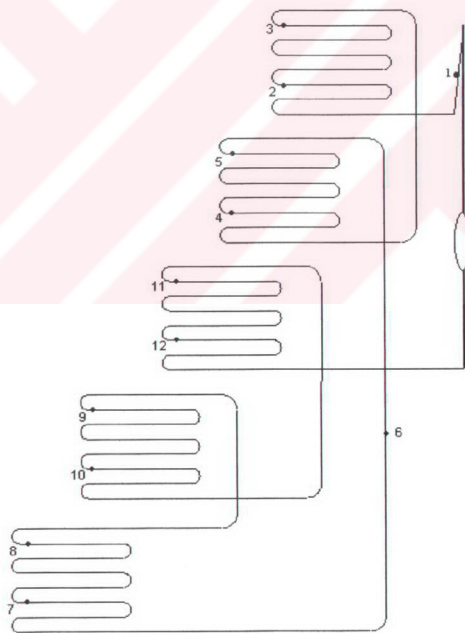
Deneyclerde; ilgili noktalarda yalıtılmış termo-elemanlar kullanarak, buharlaştırıcı ve yoğuşturucu boru çeperlerindeki soğutkan sıcaklıklarını, kabin içindeki raf sıcaklıklarını, ortam sıcaklığını ve filtre kurutucu giriş ve çıkışındaki soğutkan sıcaklıklarını ölçülmüştür. Ayrıca; elektriksel direnç termometresi (RTD) kullanarak, filtre kurutucu girişinde (yoğuşturucu çıkışında) ve buharlaştırıcı girişinde doğrudan soğutkan sıcaklıklarını ölçülmüştür. Akış sırasına göre yoğuşturucu üzerindeki muhtelif noktalara yerleştirilmiş 11 adet termo-elemanın yerleşimi ile filtre kutucu giriş çıkışındaki termo-elemanlar (TC) ve kurutucu içindeki soğutkan sıcaklığının doğrudan ölçüldüğü RTD'nin yerleşimi Şekil 3.1'de verilmektedir. Buharlaştırıcı boru çeperleri üzerindeki soğutkan sıcaklıklarını da akış sırasına göre yerleştirilen 12 adet termo-eleman ile ölçülmüştür. Buharlaştırıcı üzerindeki 12 adet termo-elemanın akış sırasına göre yerleşimi Şekil 3.2'de verilmektedir.

Termo-elemanlar ile alınan sıcaklık ölçümelerinde; üretimden ve bağlantı şeviden gelen belirsizlik $0,2^{\circ}\text{C}$, kalibrasyondan gelen belirsizlik $0,18^{\circ}\text{C}$ ve ölçümden gelen belirsizlik $0,1^{\circ}\text{C}$ 'dir. Buna göre termo-eleman sıcaklık ölçümelerindeki toplam belirsizlik: $U_{TC} = \sqrt{(0,2)^2 + (0,18)^2 + (0,1)^2} = \pm 0,29^{\circ}\text{C}$

Filtre kurutucu içindeki akışkan sıcaklığını ölçmek için kullanılan RTD; 5-50°C sıcaklık aralığındaki 6 adet referans sıcaklığına göre, 10 adet ölçümün ortalaması alınarak kalibre edilmiştir. RTD'nin kalibrasyon eğrisi $y = 0,9928 \cdot x + 1,4917$ olarak tespit edilmiş ve ölçüm belirsizliği $\pm 0,14^{\circ}\text{C}$ olmuştur.



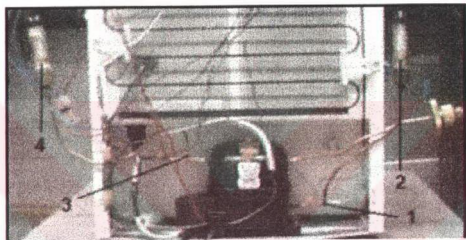
Şekil 3.1 Yoğuşturucu ve filtre kurutucu üzerindeki sıcaklık ölçüm elemanlarının yerleşimi



Şekil 3.2 Buharlaştırıcı boruları üzerindeki termo-elemanların akış sırasına göre yerleşimi

3.1.1.2 Basınç Ölçümleri

Kompresörün emme ve basma taraflarına yerleştirilen 2 adet basınç transduseri ile sistemdeki yüksek basınç ve alçak basınç ölçümüleri gerçekleştirilmiştir. Basınç transduserlerinin sistem üzerindeki yerleşimi Şekil 3.3'te verilmektedir. Basınç transduserlerinin üretiminden gelen belirsizlik %0,4'tür. Yüksek basınç transduserinin ölçümünden gelen belirsizliği %2,346; alçak basınç transduserinin toplam belirsizliği $U_{yb}=%2,38$; alçak basınç transduserinin toplam belirsizliği $U_{ab}=%0,57$ olmaktadır.

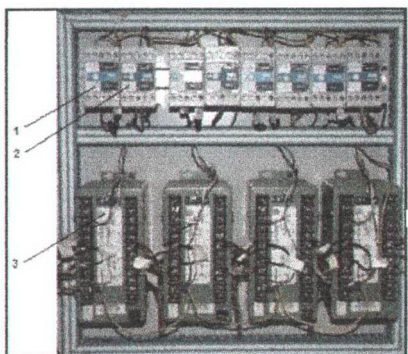


- 1- Kompresör Çıkışı
- 2- Yüksek Basınç Transduseri
- 3- Kompresör Giriş'i
- 4- Alçak Basınç Transduseri

Şekil 3.3 Alçak ve yüksek basınç transduserlerinin sistem üzerindeki yerleşimi

3.1.1.3 Gerilim, Akım, Güç ve Enerji Ölçümleri

Gerilim, akım, güç ve enerji ölçümleri için bu büyüklükleri algılayan transduserler kullanılmıştır. Şekil 3.4'te bu ölçümler için kullanılan transduserler gösterilmektedir. Deneysel gerçekeştirildiği ısı odasında farklı buzdolaplarının test edilebileceği 4 ayrı istasyon bulunmaktadır. Transduserlerin bulunduğu besleme panosunda her bir istasyon için akım, gerilim, güç ve enerji ölçümlerinde kullanılan toplam 12 adet transduser bulunmaktadır. RTD ile yapılan ölçümler dışındaki tüm ölçümler için, ölçüm yapılan cihazdan (termo-eleman, akım, gerilim, güç, enerji ve basınç transduserleri) alınan sinyal her ölçüm büyüklüğüne ait veri toplama hattı üzerinden yine her büyülükle ait elektronik karta aktarılır. Multimetre verileri bu karttan alır, kullanılan yazılıma iletir, yazılım gereklili düzeltme katsayıları ile sonuçları düzeltir ve ekrana iletir. RTD ile yapılan ölçümler ise aynı bir veri toplama birimi aracılığı ile alınmıştır.



- 1) Akım Transduseri
- 2) Gerilim Transduseri
- 3) Güç ve Enerji Transduseri

Şekil 3.4 Akım, Gerilim, Güç ve Enerji Transduserleri

3.1.2 Soğutkan Göcü Esnasındaki Faz Değişim Sürecinin İrdelenmesi

3 farklı ortam sıcaklığında (10°C , 23°C , 32°C) gerçekleştirilen deneylerde, yüzeye yerleştirilen termoelementlerla durma periyodu süresince ölçülen yoğunıştırıcı sıcaklıklar ile filtre kurutucu giriş ve çıkışındaki soğutkan sıcaklıklarını değerlendirmiştir. Ayrıca; filtre kurutucu içine yerleştirilen RTD'den alınan sıcaklık ölçümülerinin ilgili basınç transduserinden alınan yüksek basınç verileri ile birlikte değerlendirilmesi yoluyla da durma periyodu esnasında yoğunıştırıcıdan ayrılmış buharlaştırıcıya geçen soğutkanın hali tespit edilmeye çalışılmıştır. Böylelikle; durma zamanı başından itibaren sıvı geçiş süresinin belirlenmesi için birbirini destekleyen iki farklı yöntem kullanılmıştır:

- Durma zamanı başından itibaren ölçülmüş olan filtre kurutucu girişindeki yüzey sıcaklıkları ve yüksek basınç değerleri "Reffprop" soğutkan özellikleri analiz programında değerlendirilmiş ve filtre kurutucu yüzeyinden akmakta olan soğutkanın hali zamana bağlı olarak belirlenmiştir. Benzer şekilde RTD'den alınan ölçüm sonuçları ve yüksek basınç değerleri birlikte değerlendirilerek durma zamanı başından itibaren filtre kurutucu içinde akmakta olan soğutkanın hali de belirlenmiştir.
- Durma periyodu içinde sıvı fazda soğutkan göcü tamamlandıktan sonra filtre kurutucu çıkışında nem tutma amaçlı olarak kullanılan silika parçacıkları üzerinde damlalar halinde sıvı soğutkan kalır. Bu sıvı buharlaştırıldığında filtre kurutucu çıkışında ani bir sıcaklık düşüşü gözlenir. Bu noktada sıvı fazda

soğutkan göçünün tamamlanıp buhar fazında soğutkan göçünün başladığı düşünülmektedir.

Biribirini destekleyen bu iki yöntemle sıvı fazda soğutkan göçü süresi tespit edilmiştir. Yüksek ve alçak basınç taraflarındaki basınçların dengelenme süresi, soğutkan göçünün toplam süresini vermektedir. Kompresör emme ve basma taraflarında bulunan basınç transduserlerinden alınan basınç ölçümleri vasıtasyyla soğutkan göçünün toplam süresi tespit edilmiştir. Sıvı fazda soğutkan göçü tamamlandıktan sonra basınçlar dengelenene kadar geçen süre de buhar fazında soğutkan göçü süresi olarak tespit edilmiştir.

3.1.2.1 10°C Ortam Sıcaklığında Sıvı ve Buhar Geçiş Sürelerinin Belirlenmesi

Filtre kurutucu içindeki soğutkan sıcaklığının ölçüldüğü RTD'den alınan sıcaklık ölçüm değerleri ile yüksek basıncın zamana bağlı değişimine ait değerler kullanılarak "Refprop" yardımıyla hazırlanmış Tablo 3.1'de, durma periyodu esnasında filtre kurutucu içinde akan soğutkanın hali verilmektedir. Bu verilere göre, sıvı fazda soğutkan göçü 5,5 - 6 dakika sürmektedir.

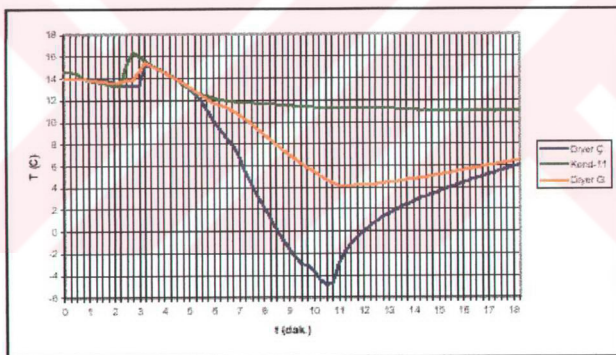
Tablo 3.1 10°C ortam sıcaklığında durma periyodu başlangıcından itibaren filtre kurutucu içinde akan soğutkanın faz değişim süreci

Zaman (dak.)	Sıcaklık (C)	Basınç (bar)	Yoğunluk (kg/m³)	Entalpi (kJ/kg)	Entropi (kJ/K-kg)	Hal
0	13.5415	7.18	1249.8	218.494	1.06488	Sıvı
0.5	13.2917	6.59	1250.41	218.141	1.06381	Sıvı
1	13.138	6.24	1250.79	217.924	1.06315	Sıvı
1.5	13.042	5.98	1251.01	217.787	1.06275	Sıvı
2	13.298	5.79	1250	218.138	1.06403	Sıvı
2.5	13.6694	5.59	1248.57	218.648	1.06586	Sıvı
3	13.9257	5.43	1247.56	219	1.06713	Sıvı
3.5	14.3548	5.3	1245.95	219.592	1.06923	Sıvı
4	14.4765	5.19	1245.45	219.759	1.06984	Sıvı
4.5	14.3868	5.07	1245.72	219.633	1.06944	Sıvı
5	14.1434	4.94	1246.53	219.295	1.0683	Sıvı
5.5	13.7848	4.76	1247.74	218.796	1.06661	Sıvı
6	13.3557	4.47	21.6433	406.615	1.72474	Buhar
6.5	12.9395	4.16	19.9816	407.049	1.73146	Buhar
7	12.5234	3.85	18.3485	407.471	1.7386	Buhar

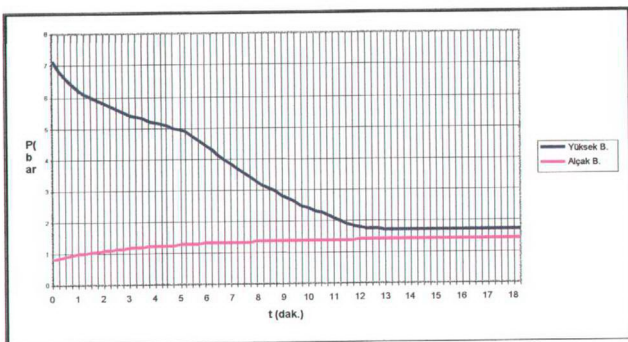
Şekil 3.5'te; yoğunsturucu çıkışları ile filtre kurutucu giriş ve çıkışlarından alınan sıcaklıkların durma periyodu süresince değişimi görülmektedir. Durma periyodu başlangıcından sonra ilk 5 – 6 dakika boyunca bu üç sıcaklık birlikte hareket

etmektedir. Bu andan itibaren filtre kurutucu çıkışındaki sıcaklık, zeolit parçacıkları arasında kalan sıvı soğutkan damlacıklarının buharlaşması neticesinde hızla düşmeye başlamaktadır. Bu sıcaklık düşüşü daha yavaş olmakla birlikte filtre kurutucu giriş sıcaklığında da görülmektedir. Sıcaklıkların bu davranışına göre, kılcal genişleme borusundan sıvı fazda soğutkan geçişinin 5 - 6 dakika kadar sürdüğü söylenebilir. Görüldüğü gibi bu sonuç, Tablo 3.1'de elde edilen sonuçlar ile uyumludur.

Buhar geçiş süresinin belirlenebilmesi için durma periyodu süresince yüksek ve alçak basınçların değişimine bakılmalıdır. Basınçlar dengelendiğinde soğutkan göçü bitecek, dolayısıyla buhar geçisi sonlanacaktır. Şekil 3.6'da 10°C ortam sıcaklığında duma periyodu süresince yüksek ve alçak basınçların değişimi verilmektedir. Görüldüğü gibi durma periyodu başlangıcından 13.5 – 14 dakika sonra basınçlar dengelenmektedir. Yaklaşık 5.5 – 6 dakika soğutkan göçünün sıvı fazında gerçekleştiği belirlendiğine göre, geri kalan 8 – 8.5 dakikada da buhar fazında soğutkan göçü gerçekleştiği söylenebilir.



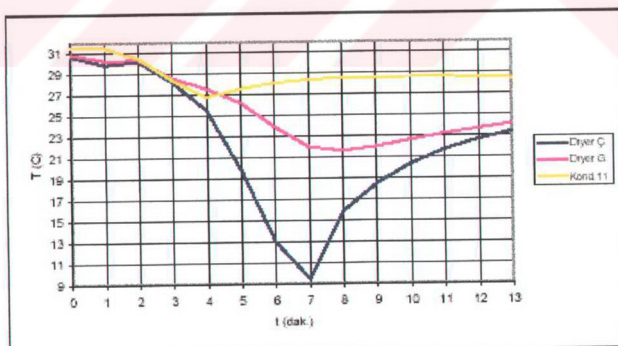
Şekil 3.5 10°C ortam sıcaklığında yoğuşturucu çıkış, filtre kurutucu giriş ve çıkış sıcaklıklarının durma periyodu süresince değişimi



Şekil 3.6 10°C ortam sıcaklığında, sistem basınçlarının durma periyodu süresince değişimi

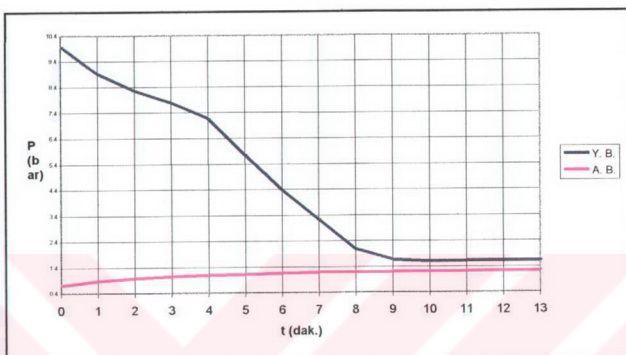
3.1.3.2 23°C Ortam Sıcaklığında Sıvı ve Buhar Geçiş Sürelerinin Belirlenmesi

Şekil 3.7'de; yoğunsturucu çıkışı ile filtre kurutucu giriş ve çıkışından alınan sıcaklıkların durma periyodu süresince değişimi görülmektedir. Filtre kurutucu çıkış sıcaklığının, bir önceki ortam sıcaklığı durumunda tespit edilen davranışına göre, kılcal genişleme borusundan sıvı fazda soğutkan geçişinin 3 – 3,5 dakika kadar sürdüğü söylenebilir. Filtre kurutucu içindeki soğutkan akış sıcaklığının yüksek basınç ölçüm değerleri ile birlikte değerlendirilmesi neticesinde de aynı sonuç elde edilmiştir.



Şekil 3.7 23°C ortam sıcaklığında yoğuşturucu çıkış, filtre kurutucu giriş ve çıkış sıcaklıklarının durma periyodu süresince değişimi

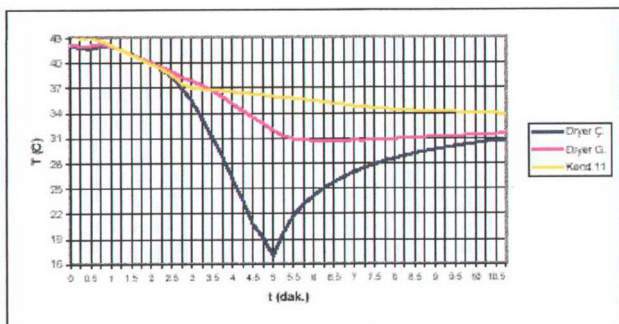
Şekil 3.8'de 23°C ortam sıcaklığında duma periyodu süresince yüksek ve alçak basınçların değişimi verilmektedir. Görüldüğü gibi durma periyodu başlangıcından 9,5 – 10 dakika sonra basınçlar dengelenmektedir. Yaklaşık 3 – 3,5 dakika soğutkan göçünün sıvı fazında gerçekleştiği belirlendiğine göre, geri kalan 6 – 6,5 dakikada da buhar fazında soğutkan göçü gerçekleştiği söylenebilir.



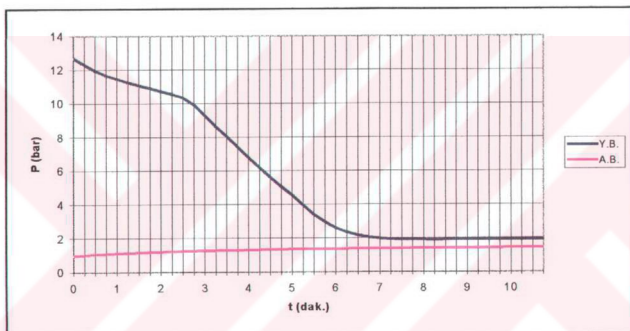
Şekil 3.8 23°C ortam sıcaklığında, sistem basınçlarının durma periyodu süresince değişimi

3.1.2.2 32°C Ortam Sıcaklığında Sıvı ve Buhar Geçiş Sürelerinin Belirlenmesi

Şekil 3.9'da; yoğunsturucu çıkış ile filtre kurutucu giriş ve çıkışından alınan sıcaklıkların durma periyodu süresince değişimi görülmektedir. Filtre kurutucu çıkış sıcaklığının, bir önceki ortam sıcaklığı durumunda tespit edilen davranışına göre, kılcal genişleme borusundan sıvı fazda soğutkan geçişinin 2,5 – 3 dakika kadar sürdüğü söylenebilir. Filtre kurutucu içindeki soğutkan akış sıcaklığının yüksek basınç ölçüm değerleri ile birlikte değerlendirilmesi neticesinde de aynı sonuç elde edilmiştir.



Şekil 3.9 32°C ortam sıcaklığında yoğunsturucu çıkış, filtre kurutucu giriş ve çıkış sıcaklıklarının durma periyodu süresince değişimi



Şekil 3.10 32°C ortam sıcaklığında, sistem basınçlarının durma periyodu süresince değişimi

Şekil 3.10'da 32°C ortam sıcaklığında duma periyodu süresince yüksek ve alçak basınçların değişimi verilmektedir. Göründüğü gibi durma periyodu başlangıcından $7,5 - 8$ dakika sonra basınçlar dengelenmektedir. Yaklaşık $2,5 - 3$ dakika soğutkan göçünün sıvı fazında gerçekleştiği belirlendiğine göre, geri kalan $4,5 - 5$ dakikada da buhar fazında soğutkan göçü gerçekleştiği söylenebilir.

Tablo 3.2 Farklı ortam sıcaklıklarındaki sıvı ve buhar fazda soğutkan göçü süreleri

Ortam Sıcaklığı	Basınçların Dengelenme Süresi	Sıvı Fazda Geçiş Süresi	Buhar Fazında Geçiş Süresi
10°C	13.5 - 14 dak.	5.5 - 6 dak.	8 - 8.5 dak.
23°C	9.5 - 10 dak.	3 - 3.5 dak.	6 - 6.5 dak.
32°C	7.5 - 8 dak.	2.5 - 3 dak.	4.5 - 5 dak.

Tablo 3.2'de; üç farklı ortam sıcaklığında tespit edilen sıvı ve buhar fazlarındaki soğutkan göçü süreleri özetlenmiştir. Düşük ortam sıcaklıklarında toplam soğutkan göçü süresi uzamakta, buhar fazındaki göç süresinin toplam dengelenme (soğutkan göçü) süresine oranı ise yaklaşık sabit kalmaktadır. Yüksek ortam sıcaklıklarında, basınçlar arasındaki fark daha büyük olduğu için basınçlar daha kısa sürede dengelenmekte ve soğutkan göçü daha kısa sürmektedir. Basınçların dengelenme süresinin ortam sıcaklığına göre değişimi; farklı ortam sıcaklıklarında, yoğunşturucudaki aşırı soğutma miktarının ve durma periyodu öncesinde yoğunşturucuda bulunan soğutkan miktarının değişiminin bir sonucudur. Düşük ortam sıcaklıklarında yoğunşturucudaki aşırı soğutma miktarı arttıgından, durma periyodu esnasında yoğunşturucudan buharlaştırıcıya geçen soğutkan miktarı da artmakta ve soğutkan göçü daha uzun sürmektedir. Bölüm 4'te; deneyel çıktıların da ışığında, durma periyodu esnasında göç eden soğutkan miktarının tespitine yönelik olarak farklı ortam sıcaklıklarını için yapılan teorik çalışma sonuçları verilmektedir.

3.1.3 Soğutkan Göçünün Sistem Performansına Etkisi

Üç farklı ortam sıcaklığında gerçekleştirilen deneyler neticesinde, soğutkan göçünün engellendiği ve engellenmediği durumlardaki kabin ısı yükleri, döngü süreleri ve çalışma süresi oranları Tablo 3.3'te verilmektedir.

Tablo 3.3 Farklı ortam sıcaklıklarındaki kabin yükleri ve döngü süreleri

Ortam [°C]	Soğutkan Göçü	Kabin İçi Sic. [°C]	Kabinısı Yükü [W]	Döngü Süresi [dk]	Çalışma Süresi Oranı
10	var	-18,68	33,0	28,56	0,401
	yok	-18,81	33,1	31,49	0,344
23	var	-19,63	49,0	40,25	0,669
	yok	-20,12	49,6	41,00	0,609
32	var	-18,52	58,1	79,42	0,954
	yok	-18,89	58,5	97,08	0,941

Düşük ortam sıcaklıklarında bir tam döngü süresi kısaltmakta ve böylece gün içindeki toplam döngü sayısı artmaktadır. Belirli bir zaman aralığındaki döngü sayısının artması, döngüsel kayıpların etkisini de artıracağından; ortam sıcaklığının düşmesi ile birlikte gerçekleşen toplam döngü sayısı artmaktadır ve soğutkan göçü daha etkin olmaktadır. Birim soğutkan miktarı açısından bakıldığından; yüksek ortam sıcaklıklarında, göç eden soğutkan ile kabin içi arasındaki sıcaklık farkı artacak ve birim soğutkan başına soğutkan göçü ısıtma etkisi artacaktır. Ancak; yüksek ortam sıcaklıklarında toplam döngü sayısı daha az olduğundan toplam etki de

azalmaktadır. Ayrıca; yüksek ortam sıcaklıklarında göç eden soğutkan miktarının azalması da soğutkan göçü toplam etkisini azaltmaktadır. Farklı ortam sıcaklıkları için Tablo 3.2'de verilen soğutkan göçü süreleri de bu çıkarımla uyumludur. 5. Bölüm'de ortam sıcaklığı ve yoğunlaşma koşulları gibi diğer sistem parametreleri sabit tutulup, tek değişken parametre olarak toplam döngü süresi alınarak soğutkan göçüne etken kontrollü bir parametre olarak irdelenmiştir.

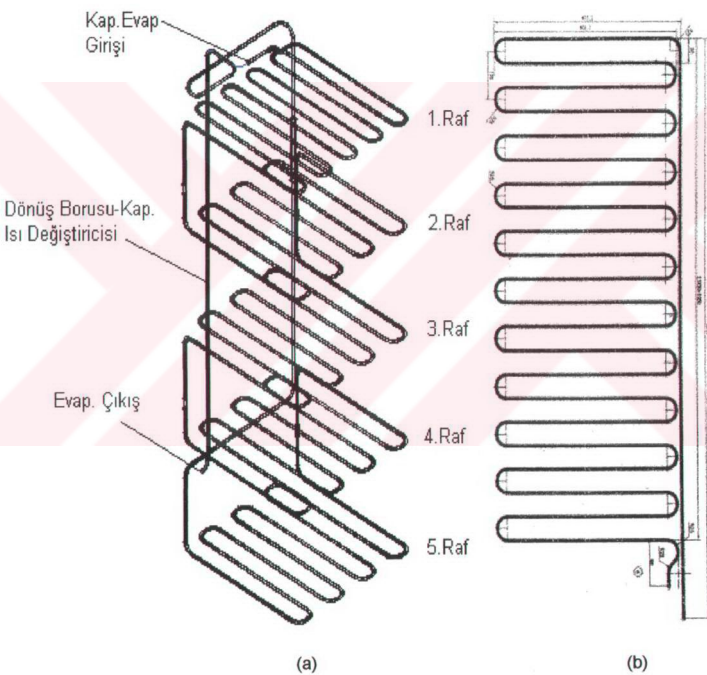
Soğutkan göçü nedeniyle durma periyodunda buharlaştırıcıda bulunan soğutkanın kabin içine getirdiği ilave ısıtma etkisi, kabin içi sıcaklığının daha kısa sürede termostat ayar sıcaklığına ulaşmasına ve durma periyodunun daha kısa sürmesine sebep olmaktadır. Tablo 3.3'te de görüldüğü gibi, bütün ortam sıcaklıklarında, soğutkan göçü nedeniyle kompresörün çalışma süresi oranı artmaktadır. Çalışma süresi oranının artması, enerji tüketiminin de artmasına neden olacaktır.

"Literatür Araştırması" Bölümü'nde sunulan çalışmaların birçoğunda, 23-25°C ortam sıcaklıklarında yapılan irdelemelerde soğutkan göçünün sistem performansı üzerindeki etkisi genel olarak %4-5 mertebelerinde saptanmıştır. Bu çalışmada yapılan deneysel irdelemeler neticesinde ise 23°C ortam sıcaklığında soğutkan göçünün sistem performansına olan etkisi %7 mertebelerinde saptanmıştır. Literatürde verilen önceki çalışmaların bir çoğu 1990'lı yıllarda yapılmış olup, soğutucu akişkan olarak R12 soğutkanı kullanılmıştır. Bu çalışma ile önceki çalışmalar arasındaki fark, farklı soğutkan kullanımından kaynaklanmaktadır. Soğutma sistemlerinde farklı soğutkanlar, termodinamik özelliklerine göre farklı miktarlarda kullanılmaktadır. Soğutkanın termodinamik özelliklerine göre sistemde kullanılan soğutkan miktarının artması, durma periyodu esnasında yoğunturucudan buharlaştırıcıya geçen soğutkan miktarının da artması anlamına gelir. Göç eden soğutkan miktarının artması, soğutkan göçü nedeniyle kabin içine gelen ısıtma etkisini de artıracağından, soğutkan göçünün enerji tüketimine olan etkisi de artacaktır. Soğutkan cinsinin soğutkan göçü üzerindeki etkisini deneysel olarak ortaya koyabilmek amacıyla, aynı soğutma kapasitesine sahip R600a soğutkanı ile çalıştırılan bir derin dondurucuda da deneysel irdelemeler yapılmış ve bu çalışma Bölüm 3.2'de sunulmuştur.

3.2 R600a (İzobütan) Soğutkanlı Derin Dondurucu Deneyleri

Farklı soğutkan kullanımının soğutkan göçü etkisi açısından değerlendirilmesi amacıyla, bir önceki deneylerde kullanılan R134a'lı sistemle aynı soğutma

kapasitesine sahip R600a soğutkanlı derin dondurucu üzerinde deneyler gerçekleştirilmiştir. R600a'nın kütlesel yoğunluğu R134a'dan daha düşük olduğu için, R134a durumunda 175gr soğutkan kullanılırken R600a durumunda 65gr soğutkan kullanılmıştır. Derin dondurucu buharlaştırıcı, açık telli-borulu bir ısı değiştiricisidir. Doğal taşınımı telli-borulu tip yoğunıştır; 22 geçişli (sıralı), toplam 12m uzunluğundaki 3/16" çaplı borulardan oluşmaktadır. Kullanılan buharlaştırıcı ve yoğunış düzenlemeleri Şekil 3.11'de verilmektedir. Genişleme cihazı olarak, 0,66mm çapında ve 3m boyunda bir kılcal genişleme borusu kullanılmaktadır. Kılcal borunun büyük bir kısmı "kılcal boru / dönüş boru ısı değiştiricisi"nde dönüş boru ile ısı alışverişinde bulunmaktadır.



Şekil 3.11 Deneylerde kullanılan; (a) buharlaştırıcı (b) yoğunış

3.2.1 Deneysel Ölçümler, Ölçüm Elemanları ve Belirsizlikleri

Arçelik A.Ş. ATGM Termodinamik Laboratuvarı ısı odalarında gerçekleştirilen deneylerde; sistem üzerindeki değişik noktalarda bulunan 38 adet termo-eleman ve

2 adet basınç transduseri ile sıcaklık ve basınç ölçümleri gerçekleştirilmiştir. Ayrıca; ısı odalarında hazır bulunan ölçüm sistemi vasıtasiyla kompresörün çektiği akım, güç ve gerilim değerleri de ölçülmüştür. Verilerin toplanmasında ve analizinde HP VEE Analiz Programı kullanılmıştır.

3.2.1.1 Sıcaklık Ölçümleri

Kılcal genişleme borusu çıkışından buharlaştırıcı çıkışına kadar olan yukarıdan aşağıya akış doğrultusu üzerinde, akü giriş-çıkışı da dahil olmak üzere, buharlaştırıcı yüzeyinden toplam 15 adet termo-eleman ile sıcaklık ölçümü alınmıştır. Böylelikle; çalışma periyodu esnasında buharlaştırıcının ıslanması iyi bir şekilde gözlemlenebilmiştir. Enerji sarfiyatı tespitine esas teşkil edecek en sıcak rafin tespiti amacıyla; termostat kuyruğu ile birlikte her bir rafin (5adet raf) ortasında, 3" çubuklar üzerine yerleştirilmiş toplam 6 adet termo-eleman bulunmaktadır. Kompresör dönüş ve çıkış sıcaklıkları ile birlikte kompresör üzerinde de 2 adet sıcaklık ölçümü alınmaktadır. Flanş hattı çıkış ve yoğunşturucu girişinde de birer tane termo-eleman bulunmaktadır. Yoğunşturucuda yoğunmanın tamamlanıp, son geçişlerde gerçekleşen aşırı soğutmanın varlığının anlaşılması ve yorumlanabilmesi için son 6 pas üzerinde 3 adet termo-eleman bulunmaktadır. Yoğunşturucudan çıktıktan sonra, filtre kurutucu giriş-çıkışında da sıcaklık ölçümü alınmaktadır. İki adet termokupl kullanılarak ortam sıcaklıklarını da ölçmektedir.

Termo-elemanların kalibrasyonundan gelen belirsizlik $\pm 0,18^{\circ}\text{C}$, ölçümden gelen belirsizlik $\pm 0,1^{\circ}\text{C}$ ve termo-elemanların bağlantısından gelen belirsizlik $\pm 0,2^{\circ}\text{C}$ olarak tespit edilmiştir. Buna göre; termo-eleman sıcaklık ölçümülarından gelen toplam belirsizlik:

$$U_T = \sqrt{(0,18)^2 + (0,1)^2 + (0,2)^2} = \pm 0,29^{\circ}\text{C} \quad (3.1)$$

3.2.1.2 Basınç Ölçümleri

Kompresörün emme ve basma taraflarına yerleştirilen 2 adet basınç transduseri ile sistemdeki yüksek basınç ve alçak basınç ölçümleri gerçekleştirilmiştir. Kompresör emme tarafında yer alan basınç transduserinin okuma aralığı 0-6bar, basma tarafında yer alan basınç transduserinin okuma aralığı ise 0-10bar'dır. Her iki transduser de 0-10VDC gerilim aralığında çıkış vermektedir. Basınç transduserlerinin üretiminden gelen belirsizlik %0,4'tür. Yüksek basınç transduserinin ölçümünden gelen belirsizliği %2,346; alçak basınç transduserinin

ölçümünden gelen belirsizliği %0,408. Buna göre; yüksek basınç transduserinin toplam belirsizliği $U_{YB} = \%2,38$; alçak basınç transduserinin toplam belirsizliği $U_{AB} = \%0,57$ olmaktadır. İki basınç transduserinin kalibrasyon eğrileri ve maksimum toplam belirsizlikleri, sırasıyla yüksek basınç (komp.basma) ve alçak basınç (komp.basma) transduserleri için Denklem 3.2 ve Denklem 3.3'te verilmiştir.

$$Y.B. \rightarrow y = 1,0263 \cdot x - 0,0439 \text{ (maks. toplam belirsizlik; } \pm 0,043 \text{ bar)} \quad (3.2)$$

$$A.B. \rightarrow y = 0,6205 \cdot x - 0,0839 \text{ (maks. toplam belirsizlik; } \pm 0,004 \text{ bar)} \quad (3.3)$$

3.2.1.3 Akım, Güç ve Enerji Ölçümleri

Gerilim, akım, güç ve enerji ölçümleri için bu büyüklükleri algılayan transduserler kullanılmıştır. Deneylerin gerçekleştirildiği ısı odasında farklı buzdolaplarının test edilebileceği 4 ayrı istasyon bulunmaktadır. Transduserlerin bulunduğu besleme panosunda her bir istasyon için akım, gerilim, güç ve enerji ölçümünde kullanılan toplam 12 adet transduser bulunmaktadır. Akım ölçüm belirsizliği %0,8; güç ve enerji ölçümleri için belirsizlik %0,314'tür.

3.2.2 Soğutkan Göçü Esnasındaki Faz Değişim Süreci

Şekil 3.12'de; yoğunluklu çıkış ile filtre kurutucu giriş ve çıkışından alınan sıcaklıkların, 25°C ortam sıcaklığında, durma periyodu süresince değişimi görülmektedir. Durma periyodu başlangıcından sonra ilk $1,5 - 2$ dakika boyunca bu üç sıcaklık birlikte hareket etmektedir. Bu andan itibaren filtre kurutucu sıcaklıklarını, zeolit parçacıkları arasında kalan sıvı soğutkan damlacıklarının buharlaşması neticesinde hızla düşmeye başlamaktadır. Sıcaklıkların bu davranışına göre, kılcal genişleme borusundan sıvı fazda soğutkan geçişinin $1,5 - 2$ dakika kadar sürdüğü söylenebilir.



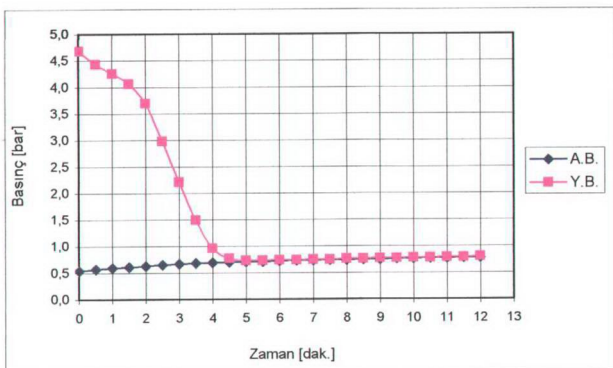
Şekil 3.12 25°C ortam sıcaklığında yoğunlaştırıcı çıkış, filtre kurutucu giriş ve çıkış sıcaklıklarının durma periyodu süresince değişimi (R600a)

Filtre kurutucu giriş ve çıkışında ölçülen sıcaklıkların ortalaması ile yüksek basınçın zamana bağlı değişimine ait değerler kullanılarak "Refprop" yardımıyla hazırlanmış Tablo 3.4'te, durma periyodu esnasında filtre kurutucu içinde akan soğutkanın hali verilmektedir. Bu verilere göre de, sıvı fazda soğutkan göçü 1,5 - 2 dakika sürmektedir.

Şekil 3.13'te 25°C ortam sıcaklığında durma periyodu süresince yüksek ve alçak basınçların değişimi verilmektedir. Görüldüğü gibi durma periyodu başlangıcından 4,5 – 5 dakika sonra basınçlar dengelenmektedir. Yaklaşık 1,5 – 2 dakika soğutkan göçünün sıvı fazında gerçekleştiği belirlendiğine göre, geri kalan 3 – 3,5 dakikada da buhar fazında soğutkan göçü gerçekleştiği söylenebilir.

Tablo 3.4 25°C ortam sıcaklığında durma periyodu başlangıcından itibaren filtre kurutucu içinde akan soğutkanın faz değişim süresi (R600a)

Zaman [dak.]	T [°C]	P [bar]	ρ [kg/m³]	h [kJ/kg]	Faz Durumu
0	32.22	4.68	541.6	277.5	SIVI
0.5	32.57	4.43	541.0	278.4	SIVI
1	31.01	4.25	543.1	274.5	SIVI
1.5	29.44	4.06	545.1	270.6	SIVI
2	27.65	3.69	9.536	593.3	buhar
3	27.18	2.21	5.459	598.8	buhar
4	26.65	0.96	2.294	602.8	buhar
5	26.10	0.73	1.737	602.7	buhar



Şekil 3.13 25°C ortam sıcaklığında, sistem basınçlarının durma periyodu süresince değişimi

25°C ortam sıcaklığında R600a ve R134a soğutkanları kullanılması durumlarının, basınçların dengelenme ve faz değişim süreci açısından karşılaştırması Tablo 3.5'te verilmektedir.

Tablo 3.5 R134a ve R600a soğutkanları kullanılması durumlarında; basınçların dengelenme süresi ile sıvı ve buhar fazda soğutkan göçü süreleri

Soğutkan	Basınçların Dengelenme Süresi	Sıvı Fazda Geçiş Süresi	Buhar Fazında Geçiş Süresi
R134a	9.5 - 10 dak.	3 - 3.5 dak.	6 - 6.5 dak.
R600a	4.5 - 5 dak.	1.5 - 2 dak.	3 - 3.5 dak.

Her iki durumda da buhar fazında geçiş süresinin toplam soğutkan göçü süresine oranı yaklaşık %65 mertebelerindedir. Bu nedenle, söz konusu iki farklı soğutkanın kullanılması durumlarında soğutkan göçünün sistem performansına olan etkileri arasındaki fark, aynı ayrı sıvı ve buhar fazlarındaki soğutkan göçü süreleri arasındaki farktan ziyade, temel olarak toplam soğutkan göçü süreleri ve miktarları arasındaki farktan kaynaklanmaktadır. R600a soğutkanına geçildiğinde, soğutkan göçü süresinin kısalması, termodinamik özelliklerinden dolayı R600a'nın R134a'ya nazaran %60 oranında daha az miktarda kullanılmasının bir sonucudur. Aynı soğutma kapasitesine sahip R600a soğutkanlı sistemde şarj miktarı daha düşük olduğundan, göç eden soğutkan miktarı da daha düşük olmakta ve soğutkan göçünün sistem performansı üzerindeki etkisi de azalmaktadır. 25°C ortam sıcaklığında; R600a ve R134a soğutkanları kullanılması durumları için, soğutkan göçünün sistem performansına etkisi sırasıyla; %3 ve %7 olmaktadır.

4 TEORİK ÇALIŞMALAR

4.1 Soğutkan Göçü Miktarının Teorik Olarak Tespiti

Soğutkan göçü esnasında yoğunlukdan buharlaştırıcıya geçen soğutkan miktarı, durma periyodu başlangıcında ve sonunda yoğunlukuda bulunan soğutkan miktarları arasındaki farka eşit olacaktır.

Kütle korunum (sureklilik) denkleminin en genel ifadesi:

$$\frac{\partial \rho}{\partial t} + \nabla \cdot (\rho \cdot \vec{u}) = 0 \quad [22] \quad (4.1)$$

Yoğunluk soğutkan boruları içindeki akış tek boyutlu olup, "z" akış doğrultusundaki hız "u" olmak üzere, soğutkan boruları içindeki kütle korunum denklemi (4.2) bağıntısı şeklinde yazılabilir.

$$\frac{\partial \rho}{\partial t} + \frac{\partial(\rho \cdot u)}{\partial z} = 0 \quad (4.2)$$

Yoğunlukunun toplam "L" boyunda; kızın buhar bölgesi uzunluğu L_1 , iki fazlı akış bölgesi uzunluğu L_2 ve sıvı faz bölgesi uzunluğu L_3 olmak üzere; bu üç bölge için uygun uzunluk aralıklarında kütle korunum denklemi integre edilerek yoğunlukudaki akış modellenebilir [23].

(4.2) bağıntısının her iki tarafı akış kesit alanı A ile çarpılırsa:

$$\frac{\partial(\rho A)}{\partial t} + \frac{\partial m}{\partial z} = 0 \quad (4.3)$$

Kızın buhar bölgesi için (4.3) bağıntısı $0 - L_1$, iki fazlı akış bölgesi için $L_1 - (L_1+L_2)$, sıvı faz bölgesi için $(L_1+L_2) - (L_1+L_2+L_3)$ aralıklarında integre edilecektir.

Kızgın buhar bölgesinde:

$$\int_0^{L_I} \frac{\partial(\rho A)}{\partial t} dz = A \cdot \left[\rho_I \frac{\partial L_I}{\partial t} + \frac{\partial \rho_I}{\partial t} L_I - \rho_b \frac{\partial L_I}{\partial t} \right] \quad (\rho_b: \text{buhar fazındaki yoğunluk}) \quad (4.4)$$

Kızgın buhar bölgesindeki yoğunluk $\rho_I = \rho(P, h_I)$ şeklinde basınç ve entalpinin bir fonksiyonu olarak ifade edilip, kızgın buhar entalpisi giriş ve çıkış koşullarının ortalaması olarak alınırsa ($h_I = \frac{h_l + h_g}{2}$):

$$\begin{aligned} \frac{\partial \rho_I}{\partial t} &= \frac{\partial \rho_I}{\partial P} \frac{\partial P}{\partial t} + \frac{\partial \rho_I}{\partial h_I} \frac{\partial h_I}{\partial t} = \frac{\partial \rho_I}{\partial P} \frac{\partial P}{\partial t} + \frac{\partial \rho_I}{\partial h_I} \left[0,5 \left(\frac{\partial h_g}{\partial t} + \frac{\partial h_b}{\partial P} \frac{\partial P}{\partial t} \right) \right] \\ \Rightarrow \int_0^{L_I} \frac{\partial(\rho A)}{\partial t} dz &= \left(\frac{\partial \rho_I}{\partial P} + \frac{1}{2} \frac{\partial \rho_I}{\partial h_I} \frac{\partial h_b}{\partial P} \right) A \cdot L_I \frac{\partial P}{\partial t} + \left(\frac{1}{2} \frac{\partial \rho_I}{\partial h_I} \right) A \cdot L_I \frac{\partial h_g}{\partial t} + (\rho_I - \rho_b) A \cdot \frac{\partial L_I}{\partial t} \end{aligned} \quad (4.5)$$

$$\int_0^{L_I} \frac{\partial \dot{m}}{\partial z} dz = \dot{m}_{a.y.} - \dot{m}_g \quad (a.y.: \text{arayüzey} / g: \text{giriş}) \quad (4.6)$$

Buna göre; integre edilmiş kütle korunum denklemi [23]:

$$\left(\frac{\partial \rho_I}{\partial P} + \frac{1}{2} \frac{\partial \rho_I}{\partial h_I} \frac{\partial h_b}{\partial P} \right) A L_I \frac{\partial P}{\partial t} + \left(\frac{1}{2} \frac{\partial \rho_I}{\partial h_I} \right) A L_I \frac{\partial h_g}{\partial t} + (\rho_I - \rho_b) A \frac{\partial L_I}{\partial t} + \dot{m}_{a.y.1} - \dot{m}_g = 0 \quad (4.7)$$

Kızgın buhar bölgesi için kütlesel debiye bağlı olarak yazılan kütle korunum denklemi, diğer faz bölgeleri için de geçerlidir. Yalnız, farklı faz bölgelerindeki sınır koşulları değişecektir. “ γ ” ortalama boşluk oranı olmak üzere, iki fazlı akış bölgesindeki yoğunluk; $\rho = \rho_b \gamma + \rho_s (1 - \gamma)$ şeklinde ifade edilir. ρ_b doymuş buhar yoğunluğu, ρ_s doymuş sıvı yoğunluğuudur. Buna göre, iki fazlı akış bölgesindeki integre edilmiş kütle korunum denklemi:

$$A \cdot \left[(\rho_b - \rho_s) \gamma \dot{L}_2 + \left(\frac{d\rho_s}{dP} (1 - \gamma) + \frac{d\rho_b}{dP} \gamma \right) \dot{P} L_2 + (\rho_b - \rho_s) L_2 \dot{\gamma} + (\rho_b - \rho_s) \dot{L}_1 \right]_{[23]} + \dot{m}_{a.y.2} - \dot{m}_{a.y.1} = 0 \quad (4.8)$$

$L=L_1+L_2$ ve $L=L_1+L_2+L_3$ arasındaki boru uzunluğu sıvı bölgesi olarak kabul ediliip, $\dot{L}_1+\dot{L}_2+\dot{L}_3=0$ olduğu göz önünde bulundurularak kütte korunum denklemi bu uzunluk boyunca integre edilir.

$$\int_0^{L_1} \frac{\partial(\rho A)}{\partial t} dz = A \cdot \left[\rho_3 \frac{\partial L_3}{\partial t} + \frac{\partial \rho_3}{\partial t} L_3 - \rho_s \frac{\partial L_3}{\partial t} \right] \quad (\rho_f: \text{sıvı faz yoğunluğu}) \quad (4.9)$$

Aşırı soğutma bölgesindeki yoğunluk $\rho_3 = \rho(P, h_3)$ şeklinde basınç ve entalpinin bir fonksiyonu olarak ifade ediliip, kızgın buhar entalpisi giriş ve çıkış koşullarının ortalaması olarak alınırsa ($h_1 = \frac{h_s + h_o}{2}$) , integre edilmiş kütte korunum denklemi:

$$\left(\frac{\partial \rho_3}{\partial P} + \frac{1}{2} \frac{\partial \rho_3}{\partial h_3} \frac{\partial h_s}{\partial P} \right) A L_3 \dot{P} + \left(\frac{1}{2} \frac{\partial \rho_3}{\partial h_3} \right) A L_3 \dot{h}_o + (\rho_s - \rho_3) A (\dot{L}_1 + \dot{L}_2) \\ + m_g - m_{a.y.2} = 0 \quad (4.10)$$

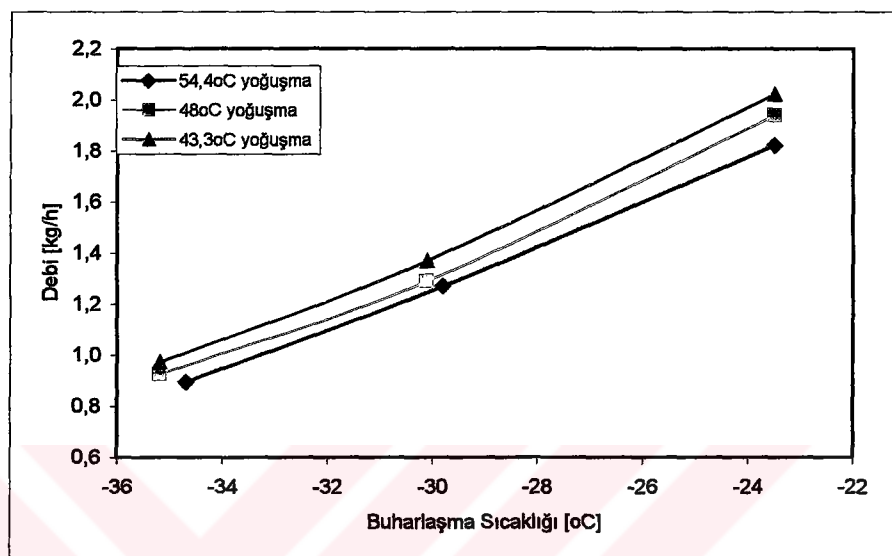
Üç farklı faz bölgesi için yazılan yukarıdaki denklemelerde, "a.y.1" indisi kızgın buhar bölgesindeki iki fazlı akış bölgesine geçiş sınırını, "a.y.2" indisi ise iki fazlı akış bölgesinde sıvı bölgesine geçiş sınırını temsil etmektedir. "g" indisi giriş, "ç" indisi çıkış anlamındadır.

Durma periyodu başındaki sistem koşulları, çalışma periyodu esnasındaki sürekli rejimde çalışma koşullarının son kademesidir. Bu nedenle; durma periyodu başında sürekli rejim özellikleri kullanılabilir. Durma periyodu başlangıç anında sürekli rejim kabulu yapılması neticesinde, (4.7), (4.8) ve (4.10) bağıntılarındaki zamana bağlı terimler düşecek ve yalnızca kütlesel debilerin eşitliği kalacaktır. Buna göre; durma periyodu başında yoğunşturucudaki soğutkan debisi, çalışma periyodu esnasındaki sürekli rejim debisine eşit olacaktır.

$$m_g = m_{a.y.1} = m_{a.y.2} = m_g \quad (4.11)$$

Benzer şekilde; durma periyodu sonundaki sistem koşulları da durma periyodu esnasındaki sürekli rejim koşullarının son kademesidir ve durma periyodu başlangıcında olduğu gibi durma periyodu sonunda da durma koşullarındaki sürekli rejim kabulu yapılabilir. Böylece; durma periyodu sonunda, durma periyodunun sürekli rejim sürecinde olduğu gibi, soğutkan durgun halde bulunacaktır.

Soğutkan göçü miktarına ilişkin olarak gerçekleştirilen bu bölümdeki çalışmada, 3. Bölümdeki deneylerde kullanılan R600a soğutkanlı derin dondurucu esas alınmıştır. Çalışma periyodu esnasında sürekli rejimde sistemde dolaşan soğutkan debisi, bu derin dondurucuda kullanılan kompresörün kalorimetrik verileri kullanılarak tespit edilmiştir. Kullanılan kompresörün sağladığı soğutkan debisinin, yoğunlaşma ve buharlaşma koşullarına göre değişimi Şekil 4.1'de verilmiştir.



Şekil 4.1 Teorik çalışmada esas alınan kompresörün kalorimetrik debi verileri

Bir kompresörün sağladığı debi miktarı, yoğunlaşma ve buharlaşma sıcaklıklarına bağlı bir polinom ile ifade edilebilir. 9 bilinmeyenli bu polinom ifadesi, (4.12) bağıntısı şeklinde verilmektedir [24].

$$m = a_1 + a_2 T_b + a_3 T_b^2 + a_4 T_y + a_5 T_b T_y + a_6 T_y T_b^2 + a_7 T_y^2 + a_8 T_y^2 T_b + a_9 T_y^2 T_b^2 \quad (4.12)$$

Deneyselde kullanılan ve teorik çalışmada esas alınan kompresörün kalorimetrik test sonuçları, Arçelik A.Ş. ATGM'de geliştirilen "REFSIM Buzdolabı Analiz" programına girilerek " a_i ; $i=1-9$ " katsayıları tespit edilmiştir. Tespit edilen katsayılar Tablo 4.1'de sunulmuştur.

Teorik çalışmada esas alınan R600a soğutkanlı derin dondurucu için, 25°C ve 32°C ortam sıcaklıklarında durma periyodu süresince yoğunşturucudan buharlaştırıcıya geçen soğutkan miktarları tespit edilmeye çalışılmıştır.

Tablo 4.1 Kompresör debi polinomu kalorimetre katsayıları

a ₁	-5,59E+01
a ₂	-4,22E+00
a ₃	-7,36E-02
a ₄	2,60E+00
a ₅	1,85E-01
a ₆	3,16E-03
a ₇	-2,73E-02
a ₈	-1,93E-03
a ₉	-3,28E-05

4.1.1 Durma Periyodu Başında Yoğunurucuda Bulunan Soğutkan Miktarı

25°C ortam sıcaklığında çalışan R600a soğutkanlı bir derin dondurucuda, paket yüksüz durumda; yaklaşık 41°C sıcaklıkta (5,45bar basınç) yoğunlaşma, (-34)°C sıcaklıkta (0,38bar basınç) da buharlaşma gerçekleşmektedir. Kompresör kalorimetre test sonuçlarına göre tespit edilen polinom ifadesi uyarınca, sürekli rejimde çalışma durumunda, bu koşullarda kompresörün sağladığı soğutkan debisi $m = 0,98 \text{ kg} / \text{h}$ olmaktadır.

32°C ortam sıcaklığında çalışan R600a soğutkanlı bir derin dondurucuda ise, paket yüksüz durumda; yaklaşık 48°C sıcaklıkta (6,51bar basınç) yoğunlaşma, (-34)°C sıcaklıkta (0,38bar basınç) da buharlaşma gerçekleşmektedir. Kompresör kalorimetre test sonuçlarına göre tespit edilen polinom ifadesi uyarınca, sürekli rejimde çalışma durumunda kompresörün sağladığı soğutkan debisi $m = 0,95 \text{ kg} / \text{h}$ olmaktadır.

Çalışma periyodunun sürekli rejim sürecinde, kompresörden yaklaşık 53°C (25°C ortam) ve 68°C (32°C ortam) sıcaklıklarında kızgın buhar halinde çıkan soğutkan, flanş hattı boyunca kızgınlığını kaybettikten sonra genellikle ıslak buhar olarak yoğunurucuya ulaşmaktadır. ıslak buhar olarak yoğunurucuya giren soğutkan, yoğunurucuda yoğunultuktan sonra son bir kaç geçiş boyunca aşırı soğutularak sıvı fazda bulunmakta ve yoğunurucudan belirli miktarda aşırı soğutulmuş durumda çıkmaktadır. Durma periyodu başlangıcında yoğunurucuda bulunan soğutkan miktarının tespit edilebilmesi için; yoğunurucu girişindeki soğutkanın kuruluk derecesi tespit edildikten sonra, yoğunmanın gerçekleştiği ve aşırı soğutulmuş bölge yoğunurucu uzunluklarının tespit edilmesi gereklidir.

4.1.1.1 Yoğunluk Girisindeki Kuruluk Derecesinin Tespit Edilmesi

Teorik çalışmalarında esas alınan derin dondurucuda ve geleneksel buz dolaplarının bir çoğunda, kapı conta bölgesi yüzeylerinde yoğunmanın engellenmesi amacıyla, yalıtım içinden bir flanş hattı geçirilmektedir. Kompresör çıkış sıcaklığında kızgın buhar fazında flanş hattına giren soğutkan, kapı conta bölgesindeki ortama bir miktar ısı vererek kızgınlığını kaybeder ve ıslak buhar halinde yoğunlucuya girer.

25°C ve 32°C ortam sıcaklıklarında çalışma durumlarında kompresör çıkış sıcaklığı sırasıyla 53°C ve 68°C olmaktadır. Flanş hattında kızgın buhar fazında bulunan soğutkanın ortalama sıcaklığı T_f , kompresör çıkış sıcaklığı ile yoğunma sıcaklığının ortalaması alınarak tespit edilir. Buna göre; 25°C ve 32°C ortam sıcaklığı durumları için flanş hattındaki ortalama kızgın buhar sıcaklıkları sırasıyla, 47°C ve 58°C olacaktır. Bu sıcaklıklarda kızgın buhar fazında bulunan R600a'nın, söz konusu yoğunma basınçlarındaki fiziksel özelikleri Tablo 4.2'de verilmektedir.

Tablo 4.2 R600a soğutkanının flanş hattındaki kızgın buhar özellikleri [25]

T_{ort} [$^{\circ}\text{C}$]	T_d [$^{\circ}\text{C}$]	P_d [bar]	T_f [$^{\circ}\text{C}$]	ρ [kg/m ³]	i [kJ/kg]	c_p [kJ/kg.K]	μ [$\mu\text{Pa.s}$]	k [W/mK]
25	41	5,45	47	13,58	622,4	1,960	8,428	0,01908
32	48	6,51	58	15,86	640,1	2,026	8,776	0,02043

Flanş hattındaki (UA) ısı geçisi performans katsayısı, ε - N (etkenlik – geçiş birimi sayısı) yöntemi [20] ile hesaplanabilir. m_R sürekli rejimdeki soğutkan debisi, c_p flanş hattı ortalama kızgın buhar sıcaklığındaki soğutkanın özgül ısısı olmak üzere, flanş hattında kızgın buhar halinde bulunan soğutkanın ısıl kapasitesi:

$$T_{\text{ort.}} = 25^{\circ}\text{C} \rightarrow C = m_R \cdot c_p = (0,98 / 3600) \cdot 1960 = 0,53 \text{ W/K} \quad (4.13)$$

$$T_{\text{ort.}} = 32^{\circ}\text{C} \rightarrow C = m_R \cdot c_p = (0,95 / 3600) \cdot 2026 = 0,53 \text{ W/K} \quad (4.14)$$

Flanş hattının etkenliği (4.15) bağıntısı ile tanımlanmaktadır. Buna göre; 25°C ve 32°C ortam sıcaklığı durumlarındaki etkenlikler sırasıyla; 0,43 ve 0,56 olmaktadır.

$$\varepsilon = \frac{T_{k_f} - T_y}{T_{k_f} - T_{\text{ort.}}} \quad [24] \quad (4.15)$$

- (4.16) bağıntısıyla tanımlanan "N" geçiş birimi sayısı ile " ε " etkenlik arasındaki ilişki,
(4.17) bağıntısıyla verilmektedir.

$$N = \frac{UA}{C} [20] \quad (4.16)$$

$$N = -\ln(1-\varepsilon) [20] \quad (4.17)$$

İki farklı ortam sıcaklığı durumundaki "N" ve kızgın buhar bölgesindeki "UA" ifadeleri (4.18) ve (4.19) şeklinde hesaplanmıştır.

$$T_{ort.} = 25^\circ C \rightarrow N = -\ln(1-\varepsilon) = 0,56 \Rightarrow (UA)_{kb} = N \cdot C = 0,30 W / K \quad (4.18)$$

$$T_{ort.} = 32^\circ C \rightarrow N = -\ln(1-\varepsilon) = 0,82 \Rightarrow (UA)_{kb} = N \cdot C = 0,43 W / K \quad (4.19)$$

Derin dondurucuda kullanılan flanş hattının toplam boyu $L=3,67m$ olup, çelik flanş borularının iç çapı 3,3mm dış çapı 4,7mm'dir. Deneysel çalışmalar neticesinde; flanş borusunun birim boru boyundaki toplam ısı geçiş katsayısı 0,2 W/m.K olarak tespit edilmiştir [27]. Buna göre; flanş hattındaki toplam ısı geçiş performans katsayısı:

$$(UA)_{top.} = 0,2 \times 3,67 = 0,734 W/K \quad (4.20)$$

Her iki ortam sıcaklığı durumunda da $(UA)_{top.} > (UA)_{kb}$ olduğundan, flanş çıkışındaki (yoğuşturucu girişindeki) soğutkan doymuş (ıslak buhar) halededir. Flanş hattının yoğunlaşma gerçekleşen bölümündeki ısı geçisi performans katsayısı:

$$T_{ort} = 25^\circ C : (UA)_{fy} = (UA)_{top.} - (UA)_{kb} = 0,734 - 0,30 = 0,434 W/K \quad (4.21)$$

$$T_{ort} = 32^\circ C : (UA)_{fy} = (UA)_{top.} - (UA)_{kb} = 0,734 - 0,43 = 0,304 W/K \quad (4.22)$$

Flanş hattının iki fazlı akış bölgesindeki yoğunlaşma kapasitesi, (4.23) bağıntısıyla verilmektedir. Buna göre; 25°C ortam sıcaklığı durumunda flanş hattındaki yoğunlaşma kapasitesi 6,94W, 32°C ortam sıcaklığı durumunda da 4,86W olmaktadır.

$$\dot{Q}_{fy} = (UA)_{fy} \cdot (T_y - T_{ort}) [27] \quad (4.23)$$

" i_{sb} " ilgili basınç ve sıcaklığıtaki yoğunuma entalpisi olmak üzere, iki farklı ortam sıcaklığı durumlarında yoğunurucu girişindeki kuruluk derecesi ve ıslak buhar entalpisi:

$$T_{ort.} = 25^{\circ}C \rightarrow x = 1 - \frac{Q_f}{m_R \cdot i_{sb}} = 1 - \frac{6,94W}{(0,98 / 3600) \cdot (610,7 - 299,8) \cdot 1000} = 0,918 \quad (4.24)$$

$$\Rightarrow i_1 = i_s + 0,918 \cdot (i_b - i_s) = 585,2 \text{ kJ/kg}$$

$$T_{ort.} = 32^{\circ}C \rightarrow x = 1 - \frac{Q_f}{m_R \cdot i_{sb}} = 1 - \frac{4,86W}{(0,95 / 3600) \cdot (619,9 - 318) \cdot 1000} = 0,939 \quad (4.25)$$

$$\Rightarrow i_1 = i_s + 0,939 \cdot (i_b - i_s) = 601,5 \text{ kJ/kg}$$

4.1.1.2 Yoğunurucudaki İki Fazlı Akış Bölgesi Uzunluğunun Tespiti

m_R sürekli rejimdeki soğutkan debisi, i_b yoğunuma basıncındaki doymuş buhar entalpisi, i_s yoğunuma basıncındaki doymuş sıvı entalpisi, i_1 yoğunurucu girişindeki soğutkan entalpisi, U_y yoğunurucunun iki fazlı akış bölgesindeki toplam ısı geçiş katsayısı, A_y iki fazlı akış bölgesinin toplam yüzey alanı ve ΔT_m logaritmik sıcaklık farkı olmak üzere; iki fazlı akış bölgesindeki yoğunuma enerjisi:

$$\dot{Q}_y = m_R \cdot (i_1 - i_s) = U_y \cdot A_y \cdot \Delta T_m \quad (4.26)$$

25°C ve 32°C ortam sıcaklıklarında söz konusu olan yoğunuma basınç ve sıcaklıklarındaki R600a soğutkanının doyma özellikleri Tablo 4.3'te verilmektedir.

Tablo 4.3 R600a soğutkanının yoğunuma koşullarındaki termodinamik özellikleri [25]

T _{ort} [°C]	T _d [°C]	P _d [bar]	ρ _s [kg/m³]	ρ _b [kg/m³]	i _s [kJ/kg]	i _b [kJ/kg]	μ _s [μPa.s]	μ _b [μPa.s]	k _s [W/mK]	k _b [W/mK]
25	41	5,45	529,8	13,99	299,8	610,7	127,2	8,296	0,08879	0,01848
32	48	6,51	520,2	16,70	318,0	619,9	118,1	8,561	0,08594	0,01941

25°C ve 32°C ortam sıcaklıklarında, Tablo 4.3'teki özellikler ve yoğunurucu girişi için hesaplanan entalpi değerleri ile kalorimetrik testler neticesinde tespit edilen debi değerleri kullanılarak, yoğunurucudaki yoğunuma kapasiteleri sırasıyla; 77,7W ve 74,8W bulunur.

$$T_{ort.} = 25^{\circ}C \rightarrow Q_y = m_R \cdot (i_1 - i_s) = U_y \cdot A_y \cdot \Delta T_m = 77,7W \quad (4.27)$$

$$T_{ort.} = 32^{\circ}C \rightarrow Q_y = m_R \cdot (i_1 - i_s) = U_y \cdot A_y \cdot \Delta T_m = 74,8W \quad (4.28)$$

Yoğunlukudaki toplam ısı geçiş katsayısı (4.29) bağıntısı ile bulunabilir:

$$\frac{1}{U_y} = \frac{1}{h_i} \cdot \frac{A_d}{A_i} + \frac{\ln(r_d / r_i)}{2\pi \cdot L \cdot k} \cdot A_d + \frac{1}{\eta \cdot h_d} \quad [20] \quad (4.29)$$

(4.16) bağıntısında; h_i boru iç tarafındaki ısı taşınım katsayısı, h_d boru dış tarafındaki ısı taşınım katsayısı, η telli borulu yoğunlukunun kanatlı dış yüzeyinin toplam etkenliği, A_i boru iç yüzey alanı, A_d boru dış yüzey alanı, r_i boru iç yarıçapı, r_d boru dış yarıçapı, L boru uzunluğu ve k boru malzemesinin ısı iletim katsayısını ifade etmektedir. Kullanılan yoğunlukuya ait karakteristik büyüklükler:

$D_d = 4,7mm$ (yoğunluk borusu dış çapı) ; $D_i = 3,3mm$ (yoğunluk borusu iç çapı)

$D_t = 1,5mm$ (tel çapı) ; $S_t = 50mm$ (yoğunluk pas aralığı) ; $H_t = 1065mm$ (tel uzunluğu)

$n_t = 126$ (tel sayısı) ; $L = 11966mm$ (toplam boru boyu)

Toplam dış yüzey alanı, boru dış yüzey alanı A_o ile tel yüzey alanı A_t toplamına eşittir. Buna göre:

$$A_d = A_o + A_t = \pi \cdot D_d \cdot L + n_t \cdot \pi \cdot D_t \cdot H_t \quad (4.30)$$

Boru iç yüzey alanı ise; $A_i = \pi \cdot D_i \cdot L$ olacaktır.

η_k kanat etkenliği olmak üzere, kanatlı dış yüzeylerin toplam etkenliği (4.31) bağıntısıyla verilmektedir. Tel kanatlar için etkenlik ifadesi (4.32) bağıntısıyla verilmektedir. Bu bağıntıdaki "m" ifadesi, kanat parametresi olup (4.33) bağıntısıyla verilmiştir.

$$\eta = \eta_k \frac{A_t}{A_d} + \frac{A_o}{A_d} \quad [20] \quad (4.31)$$

$$\eta_k = \frac{\tanh\left(m \cdot \frac{S_t}{2}\right)}{m \cdot \frac{S_t}{2}} \quad [26] \quad (4.32)$$

$$m = \sqrt{\frac{4 \cdot h_d}{k_t D_t}} \quad [26] \quad (4.33)$$

Dış taraftaki doğal ısı taşınım katsayısı, Arçelik A.Ş. ATGM'de gerçekleştirilen deneysel ve sayısal çalışmalar neticesinde $6,5 \text{ W/m}^2\text{K}$ olarak tespit edilmiştir [26]. Yoğunluklu boruları ve telleri çelik olup ısı iletim katsayıları 50 W/mK olarak alınmıştır. Buna göre; kanat parametresi $m=18,6$ ve kanat etkenliği $\eta_k=0,93$ olacaktır. Gerekli ifadeler (4.31) bağıntısında yerine konacak olursa, kanatlı dış yüzeylerin toplam etkenliği:

$$\eta = \eta_k \frac{n_t \pi \cdot D_t H_t}{\pi \cdot D_d L + n_t \pi \cdot D_t H_t} + \frac{\pi \cdot D_d L}{\pi \cdot D_d L + n_t \pi \cdot D_t H_t} = 0,93 \cdot \frac{0,6324}{0,8096} + \frac{0,1772}{0,8096} = 0,95 \quad (4.34)$$

Yatay borular içinde yoğunlaşma durumunda ısı taşınım katsayısı, (4.35) bağıntısı ile verilmektedir. Bu bağıntıda; k_s doymuş sıvı ısı iletim katsayısı, ρ_s doymuş sıvı yoğunluğu, ρ_b doymuş buhar yoğunluğu, μ_s doymuş sıvı viskozitesi, g yer çekim ivmesi ve $\Gamma [\text{kg/m.s}]$ birim boru boyunda yoğunlaşan sıvı miktarını ifade etmekte olup Γ (4.36) bağıntısı ile bulunabilir.

$$h_i = 0,76 \cdot k_s \left[\frac{\rho_s (\rho_s - \rho_b) \cdot g}{\mu_s \Gamma} \right]^{(1/3)} \quad [20] \quad (4.35)$$

$$\Gamma = \frac{m [\text{kg / s}]}{L [\text{m}]} \quad (4.36)$$

İlk yaklaşılık olarak; toplam 12m uzunluğundaki yoğunlukucunun tamamında yoğunlaşma gerçekleştiği kabul edilecek olursa, 25°C ve 32°C ortam sıcaklıklarında birim boru boyunda yoğunlaşan sıvı miktarları sırasıyla; $2,26E-5 \text{ kg/ms}$ ve $2,20E-5 \text{ kg/ms}$ olarak hesaplanır. Tablo 4.3'teki termodinamik özellikler ile birim boru boyunda yoğunlaşan sıvı miktarı değerleri, (4.35) bağıntısında yerine konursa, iki farklı ortam sıcaklığı için yoğunlukucu iç tarafındaki ısı taşınım katsayıları:

$$T_{ort.} = 25^\circ C \rightarrow h_i = 0,76 \cdot k_s \left[\frac{\rho_s (\rho_s - \rho_b) \cdot g}{\mu_s \Gamma} \right]^{1/3} = 6593 W/m^2 K \quad (4.37)$$

$$T_{ort.} = 32^\circ C \rightarrow h_i = 0,76 \cdot k_s \left[\frac{\rho_s (\rho_s - \rho_b) \cdot g}{\mu_s \Gamma} \right]^{1/3} = 6507 W/m^2 K \quad (4.38)$$

Yoğunluk, $D_d=4,7mm$ dış çap ve $D_i=3,3mm$ iç çapındaki çelik borulardan ($k=50W/mK$) oluşmakta olup, toplam uzunluğu 12m'dir. Buna göre; iki farklı ortam sıcaklığı için yoğunlukundaki toplam ısı geçiş katsayısı:

$$\begin{aligned} T_{ort.} = 25^\circ C \rightarrow \frac{I}{U_y} &= \frac{I}{h_i} \cdot \frac{A_d}{A_i} + \frac{\ln(D_d / D_i)}{2\pi L k} \cdot A_d + \frac{I}{\eta h_d} = (1,02E - 3) + (7,59E - 5) + (0,1619) \\ &\Rightarrow U_y = 6,13 W/m^2 K \end{aligned} \quad (4.39)$$

$$T_{ort.} = 32^\circ C \rightarrow \frac{I}{U_y} = \frac{I}{h_i} \cdot \frac{A_d}{A_i} + \frac{\ln(D_d / D_i)}{2\pi L k} \cdot A_d + \frac{I}{\eta h_d} \Rightarrow U_y = 6,13 W/m^2 K \quad (4.40)$$

(4.39) ve (4.40) ifadelerinde görüldüğü gibi; boru içindeki ısı geçiş direnci boru dış tarafına göre çok küçük olduğundan, toplam ısı geçiş katsayısı her iki ortam sıcaklığı için de boru dış tarafındaki ısı taşınım katsayısına çok yakın değerde çıkmıştır. İki farklı ortam sıcaklığındaki sıcaklık farkları (4.41) ve (4.42) bağıntıları ile verilmiştir.

$$T_{ort.} = 25^\circ C \rightarrow \Delta T_m = \Delta T = 41 - 25 = 16^\circ C \quad (4.41)$$

$$T_{ort.} = 32^\circ C \rightarrow \Delta T_m = \Delta T = 48 - 32 = 16^\circ C \quad (4.42)$$

$$A_y = \pi \cdot D_d \cdot L_y + n_t \pi \cdot D_t H_t \quad (4.43)$$

$25^\circ C$ ortam sıcaklığı durumunda, 12m uzunluğundaki yoğunlukuda meydana gelen ısı geçiş miktarı, (4.27) bağıntısında elde edilen yoğunlaşma kapasitesinden büyük olduğundan yoğunlukuda aşırı soğutma gerçekleşecektir ve yoğunluk çıkışı sıvı fazda olacaktır.

$$T_{ort.} = 25^\circ C \rightarrow U_y A_y \cdot \Delta T = 6,13 \cdot 0,8096 \cdot 16 = 79,4 W > \dot{Q}_y = 77,7 W \quad (4.44)$$

32°C ortam sıcaklığı durumunda, yoğunmanın tamamlandığı yaklaşık yoğunşturucu uzunluğu:

$$T_{ort.} = 32^{\circ}C \rightarrow L_y = \frac{77,7W}{79,4W} \cdot 12m = 11,7m \quad (4.45)$$

32°C ortam sıcaklığı durumunda, 12m uzunluğundaki yoğunşturucuda meydana gelen ısı geçiş miktarı, (4.28) bağıntısında elde edilen yoğunma kapasitesinden büyük olduğundan yoğunşturucuda aşırı soğutma gerçekleşecektir ve yoğunşturucu çıkışı sıvı fazda olacaktır.

$$T_{ort.} = 32^{\circ}C \rightarrow U_y A_y \cdot \Delta T = 6,13 \cdot 0,8096 \cdot 16 = 79,4W > \dot{Q}_y = 74,8W \quad (4.46)$$

32°C ortam sıcaklığı durumunda, yoğunmanın tamamlandığı yaklaşık yoğunşturucu uzunluğu:

$$T_{ort.} = 32^{\circ}C \rightarrow L_y = \frac{74,8W}{79,4W} \cdot 12m = 11,3m \quad (4.47)$$

Neticede; 25°C ortam sıcaklığı durumunda yoğunşturucunun ilk 11,7m'lik kısmında yoğunma tamamlanmakta ve son 0,3m'lik boru uzunluğunda (1.pas üzerinde) aşırı soğutma gerçekleşmektedir. 32°C ortam sıcaklığı durumunda ise; yoğunşturucunun ilk 11,3m'lik kısmında yoğunma tamamlanmakta ve son 0,7m'lik boru uzunluğunda (2.pas üzerinde) aşırı soğutma gerçekleşmektedir.

4.1.1.3 Yoğunşturucudaki Aşırı Soğutma Miktarının Tespiti

Yoğunşturucu çıkışındaki sıvı soğutkanın entalpisi “ i_2 ”, yoğunma basıncındaki doymuş sıvı entalpisi “ i_s ”, ve “A.S.” indisi aşırı soğutma bölgesini ifade etmek üzere; yoğunşturucunun aşırı soğutma kısmındaki enerji dengesi (4.47) bağıntısıyla yazılabilir.

$$\dot{Q}_{A.S.} = \dot{m}_R \cdot (i_s - i_2) = U_{A.S.} \cdot A_{A.S.} \cdot \Delta T_m \quad (4.47)$$

25°C ortam sıcaklığı durumunda, yoğunşturucunun yaklaşık son 0,3m uzunluğundaki kısmında aşırı soğutma gerçekleşmektedir. Bu uzunluk, yoğunşturucunun sonuncu pası üzerine tekabül etmekte olup, bu kısmındaki tellerin uzunluğu (H_t) yaklaşık 15mm olmaktadır. 32°C ortam sıcaklığı durumunda, yoğunşturucunun yaklaşık son

0,7m uzunluğundaki kısmında aşırı soğutma gerçekleşmektedir. Bu uzunluk, yoğunşturucunun son 2 pası üzerine tekabül etmekte olup, bu kısımdaki tellerin uzunluğu (H_t) yaklaşık 40mm olmaktadır. Buna göre, aşırı soğutma kısmındaki iç ve dış yüzey alanları:

$$\begin{aligned} A_i &= \pi \cdot D_i \cdot L_{A.S.} = 0,0031 m^2 \text{ (} 25^\circ C \text{ ortam)} \\ A_i &= \pi \cdot D_i \cdot L_{A.S.} = 0,0073 m^2 \text{ (} 32^\circ C \text{ ortam)} \end{aligned} \quad (4.48)$$

$$T_{ort} = 25^\circ C \rightarrow A_d = \pi \cdot D_d \cdot L_{A.S.} + n_t \pi \cdot D_t \cdot H_t = 0,0044 + 0,0149 = 0,0193 m^2$$

$$T_{ort} = 32^\circ C \rightarrow A_d = \pi \cdot D_d \cdot L_{A.S.} + n_t \pi \cdot D_t \cdot H_t = 0,0103 + 0,0238 = 0,0341 m^2 \quad (4.49)$$

$25^\circ C$ ve $32^\circ C$ ortam sıcaklığı durumlarındaki soğutkan debileri sırasıyla; $m_R = 0,98 \text{ kg/h}$ ve $m_R = 0,95 \text{ kg/h}$ olarak tespit edilmiştir. ρ_s doymuş sıvı yoğunluğu ve A_k boru iç kesit alanı olmak üzere, boru içindeki soğutkan hızları :

$$T_{ort.} = 25^\circ C \rightarrow u = \frac{m_R}{\rho_s \cdot A_k} = \frac{4 \cdot m_R}{\rho_s \cdot \pi \cdot D_i^2} = \frac{4 \cdot 0,98 / 3600}{529,8 \cdot \pi \cdot (3,3E-3)^2} = 0,060 \text{ m/s}$$

$$T_{ort.} = 32^\circ C \rightarrow u = \frac{m_R}{\rho_s \cdot A_k} = \frac{4 \cdot m_R}{\rho_s \cdot \pi \cdot D_i^2} = \frac{4 \cdot 0,95 / 3600}{520,2 \cdot \pi \cdot (3,3E-3)^2} = 0,059 \text{ m/s} \quad (4.50)$$

Boru içindeki Reynolds sayısı:

$$Re = \frac{u \cdot D_i}{\mu_s / \rho_s} = \frac{0,059 \cdot (3,3E-3)}{(118,1E-6) / 520,2} = 858 < 2300 \Rightarrow \text{laminer akış [20]} \quad (4.51)$$

Sabit ısı akısında parabolik hız profili kabulüyle, laminer akışta Nusselt sayısı Nu=4,36 şeklinde sabit olarak alınabilir [20].

$$Nu = \frac{h_i \cdot D_i}{k_s} = 4,36 \Rightarrow h_i = 117,3 \frac{W}{m^2 K} (25^\circ C); h_i = 113,5 \frac{W}{m^2 K} (32^\circ C) \quad (4.52)$$

İç taraftaki ısı taşınım katsayıları (4.52) bağıntısıyla bulunmuştur. Dış taraftaki ısı taşınım katsayı ise; $h_d=6,5 \text{ W/m}^2 \text{K}$ alınmıştır [26]. Denklem (4.34)'de tespit edilen

kanatlı yüzeyler için toplam etkenlik değeri de kullanılarak, aşırı soğutma kısmındaki toplam ısı geçiş katsayıları (4.53) bağıntısıyla bulunur.

$$\frac{1}{U_{A.S.}} = \frac{1}{h_i} \cdot \frac{A_d}{A_i} + \frac{\ln(r_d / r_i)}{2\pi \cdot L \cdot k} \cdot A_d + \frac{1}{\eta \cdot h_d} \quad (4.53)$$

$$T_{ort} = 25^\circ C \rightarrow U_{A.S.} = 4,65 \frac{W}{m^2 K} \quad \text{ve} \quad T_{ort} = 32^\circ C \rightarrow U_{A.S.} = 4,92 \frac{W}{m^2 K}$$

■ *25°C Ortam Sıcaklığında Çalışma Durumu*

İlk yaklaşıklık olarak yoğunsturucu çıkış sıcaklığı $T_2 = 39^\circ C$ alınacak olursa, aşırı soğutma kısmındaki logaritmik sıcaklık farkı:

$$\Delta T_m = \frac{(T_y - T_{ort.}) - (T_2 - T_{ort.})}{\ln\left(\frac{T_y - T_{ort.}}{T_2 - T_{ort.}}\right)} = \frac{(41 - 25) - (39 - 25)}{\ln\left(\frac{16}{14}\right)} = 15^\circ C \quad (4.54)$$

Aşırı soğutma kısmındaki ısı geçiş miktarı:

$$U_{A.S.} \cdot A_{A.S.} \cdot \Delta T_m = 4,65 \times 0,0193 \times 15 = 1,35 W \quad (4.55)$$

$$\Rightarrow \dot{Q}_{A.S.} = m_R \cdot (i_s - i_2) = U_{A.S.} \cdot A_{A.S.} \cdot \Delta T_m = 1,35 W \Rightarrow i_2 = 294,8 \text{ kJ/kg} \quad (4.56)$$

Yoğunsturucu çıkışındaki soğutkan entalpisi, $i_2 = 294,8 \text{ kJ/kg}$ olarak hesaplanmıştır. 5,45bar yoğunsturucu basıncındaki, 294,8kJ/kg entalpiye sahip sıvı R600a'nın sıcaklığı $39^\circ C$ olmaktadır [25] ki; bu sıcaklık değeri başlangıçta atanan yaklaşıklık değeri ile uyumludur.

Buna göre; $25^\circ C$ ortam sıcaklığında çalışma durumunda, yoğunsturucunun son $0,3\text{m}'lik$ kısmında yaklaşık $2^\circ C$ aşırı soğutma gerçekleşmekte ve sıvı fazdaki soğutkan, $39^\circ C$ sıcaklıkta yoğunsturucudan çıkmaktadır.

■ *32°C Ortam Sıcaklığında Çalışma Durumu*

İlk yaklaşıklık olarak yoğunsturucu çıkış sıcaklığı $T_2 = 44,5^\circ C$ alınacak olursa, aşırı soğutma kısmındaki logaritmik sıcaklık farkı:

$$\Delta T_m = \frac{(T_y - T_{\text{ort.}}) - (T_2 - T_{\text{ort.}})}{\ln\left(\frac{T_y - T_{\text{ort.}}}{T_2 - T_{\text{ort.}}}\right)} = \frac{(48 - 32) - (44,5 - 32)}{\ln\left(\frac{16}{12,5}\right)} = 14,2^\circ C \quad (4.54)$$

Aşırı soğutma kısmındaki ısı geçiş miktarı:

$$U_{A.S.} \cdot A_{A.S.} \cdot \Delta T_m = 4,92 \times 0,0341 \times 14,2 = 2,38 W \quad (4.55)$$

$$\Rightarrow \dot{Q}_{A.S.} = m_R \cdot (i_s - i_2) = U_{A.S.} \cdot A_{A.S.} \cdot \Delta T_m = 2,38 W \Rightarrow i_2 = 309 \text{ kJ/kg} \quad (4.56)$$

Yoğuşturucu çıkışındaki soğutkan entalpisi, $i_2 = 309 \text{ kJ/kg}$ olarak hesaplanmıştır. 6,51bar yoğuşturucu basıncındaki, 309kJ/kg entalpiye sahip sıvı R600a'nın sıcaklığı $44,5^\circ C$ olmaktadır [25] ki; bu sıcaklık değeri başlangıçta atanan yaklaşıklık değeri ile uyumludur.

Buna göre; $32^\circ C$ ortam sıcaklığında çalışma durumunda, yoğuşturucunun son $0,7\text{m}'lik$ kısmında yaklaşık $3,5^\circ C$ aşırı soğutma gerçekleşmekte ve sıvı fazdaki soğutkan, $44,5^\circ C$ sıcaklıkta yoğuşturucudan çıkmaktadır.

4.1.1.4 Durma Periyodu Başında Yoğuşturucudaki Soğutkan Miktarı

- *25°C Ortam Sıcaklığında Çalışma Durumu*

İki fazlı soğutkan, %91,8 kuruluk derecesiyle yoğuşturucuya girmekte, $11,7\text{m}$ boyunca $41^\circ C$ sıcaklıkta ve $5,45\text{bar}$ basınçta yoğunlaşmış şekildeyoğunluğundan sonra, $0,3\text{m}$ boyunca yaklaşık $2^\circ C$ aşırı soğutma gerçekleşip, sıvı fazdaki soğutkan $39^\circ C$ sıcaklıkta yoğuşturucudan çıkmaktadır. Yoğuşturucunun yoğunlaşma ve aşırı soğutma gerçekleşen kısımlarının iç hacimleri:

$$V_y = \frac{\pi \cdot D_i^2}{4} \cdot L_y = 0,0001 \text{ m}^3 \quad \text{ve} \quad V_{A.S.} = \frac{\pi \cdot D_i^2}{4} \cdot L_{A.S.} = (2,6E-6) \text{ m}^3 \quad (4.57)$$

Yoğuşturucunun aşırı soğutma kısmında bulunan sıvı fazdaki soğutkanın ortalama sıcaklığı $40^\circ C$ olup, $5,45\text{bar}$ basınçtaki yoğunluğu $531,2 \text{ kg/m}^3$. Buna göre; aşırı soğutma hacmindeki sıvı soğutkan miktarı:

$$M_{A.S.} = \rho_{A.S.} \cdot V_{A.S.} = 1,38 \text{ gr} \quad (4.58)$$

İki fazlı akış durumunda, yoğunşturucudaki ortalama boşluk oranı (4.59) bağıntısıyla verilmektedir. Ortalama boşluk oranı, iki fazlı akış durumundaki bir akışkanın içinde bulundurduğu buhar hacminin toplam hacme oranını ifade etmektedir.

$$\alpha = \frac{I}{I + \left(\frac{1-x}{x} \right) \cdot \left(\frac{\rho_b}{\rho_s} \right) \cdot S} \quad [14] \quad (4.59)$$

(4.59) bağıntısındaki "S" kayma oranı olup, buhar ve sıvı faz hızları arasındaki oranı ifade etmektedir. Homojen dağılımlı bir akış gerçekleşmesi durumunda "S" kayma oranı 1 olarak alınabilir ancak; yoğunşturucuda olduğu gibi homojen olmayan bir akış söz konusu olduğunda kayma oranının 1'den farklı olması gereken değeri tespit edilmelidir. Kayma oranının hesaplanması için kullanılan Chisholm Modeli ifadesi, Denklem (4.60)'da verilmektedir.

$$S = \left[I - x \cdot \left(1 - \frac{\rho_s}{\rho_b} \right) \right]^{0,5} \quad [28] \quad (4.60)$$

Yoğunşturucunun iki fazlı akış bölgesindeki ortalama kuruluk derecesi 0,459 olmaktadır. Tablo 4.3'te verilen doymuş sıvı ve doymuş buhar özellikleri de kullanılarak, (4.60) bağıntısı doğrultusunda; kayma oranı $S=4,2$ olarak hesaplanır. Buna göre, (4.59) bağıntısı doğrultusunda; ortalama boşluk oranı $\alpha=0,8844$ olur.

İki fazlı akışın gerçekleştiği yoğunşturucuda, %88,44 hacimsel oranında doymuş buhar ve %11,56 hacimsel oranında da doymuş sıvı bulunduğu kabul edilebilir. Doymuş sıvı ve doymuş buhar yoğunlukları ile söz konusu boşluk oranı dikkate alınarak, çalışma periyodunun sonunda yoğunşturucunun iki fazlı akış bölgesinde bulunan toplam soğutkan miktarı bulunabilir.

$$M_s = \rho_s \cdot V_s = 529,8 \cdot (0,0001) \cdot 0,1156 / 1000 = 6,12 \text{ gr} \quad (4.61)$$

$$M_b = \rho_b \cdot V_b = 13,99 \cdot (0,0001) \cdot 0,8844 / 1000 = 1,24 \text{ gr} \quad (4.62)$$

25°C ortam sıcaklığında çalışma durumunda, durma periyodu başlangıcında yoğunşturucuda bulunan toplam soğutkan miktarı; $M_{A.S.} + M_s + M_b = 8,74 \text{ gr}$ olmaktadır.

- ***32°C Ortam Sıcaklığında Çalışma Durumu***

İki fazlı soğutkan, %93,9 kuruluk derecesiyle yoğunşturucuya girmekte, 11,3m boyunca 48°C sıcaklıkta ve 6,51bar basınçta yoğunlaşma gerçekleştiğinden sonra, 0,7m boyunca aşırı soğutma gerçekleşip, sıvı fazdaki soğutkan 44,5°C sıcaklıkta yoğunşturucudan çıkmaktadır. Yoğunşturucunun yoğunlaşma ve aşırı soğutma gerçekleşen kisimlarının iç hacimleri:

$$V_y = \frac{\pi \cdot D_i^2}{4} \cdot L_y = (9,7E - 5) m^3 \quad \text{ve} \quad V_{A.S.} = \frac{\pi \cdot D_i^2}{4} \cdot L_{A.S.} = 0,000006 m^3 \quad (4.63)$$

Yoğunşturucunun aşırı soğutma kısmında bulunan sıvı fazdaki soğutkanın ortalama sıcaklığı 46°C olup, 6,51bar basınçtaki yoğunluğu $523,1 \text{ kg/m}^3$. Buna göre; aşırı soğutma hacmindeki sıvı soğutkan miktarı:

$$M_{A.S.} = \rho_{A.S.} \cdot V_{A.S.} = 3,14 gr \quad (4.64)$$

Yoğunşturucunun iki fazlı akış bölgesindeki ortalama kuruluk derecesi 0,4695 olmaktadır. Tablo 4.3'te verilen doymuş sıvı ve doymuş buhar özellikleri de kullanılarak, (4.60) bağıntısı doğrultusunda; kayma oranı $S=3,9$ olarak hesaplanır. Buna göre, (4.59) bağıntısı doğrultusunda; ortalama boşluk oranı $\alpha=0,8761$ olur.

İki fazlı akışın gerçekleştiği yoğunşturucuda, %87,61 hacimsel oranında doymuş buhar ve %12,39 hacimsel oranında da doymuş sıvı bulunduğu kabul edilebilir. Doymuş sıvı ve doymuş buhar yoğunlukları ile söz konusu boşluk oranı dikkate alınarak, çalışma periyodunun sonunda yoğunşturucunun iki fazlı akış bölgesinde bulunan toplam soğutkan miktarı bulunabilir.

$$M_s = \rho_s \cdot V_s = 520,2 \cdot (9,7E - 5) \cdot 0,1239 / 1000 = 6,25 gr \quad (4.65)$$

$$M_b = \rho_b \cdot V_b = 16,7 \cdot (9,7E - 5) \cdot 0,8761 / 1000 = 1,42 gr \quad (4.66)$$

32°C ortam sıcaklığında çalışma durumunda, durma periyodu başlangıcında yoğunşturucuda bulunan toplam soğutkan miktarı; $M_{A.S.} + M_s + M_b = 10,81 gr$ olmaktadır.

4.1.2 Durma Periyodu Sonunda Yoğuşturucuda Bulunan Soğutkan Miktarı

Durma periyodu esnasında, yoğuşturucu ve buharlaştırcı basınçları yaklaşık 0,75bar değerinde eşitlenmektedir. Böylece; durma periyodu sonunda yoğuşturucuda 0,75bar basınç ve ortam sıcaklığında, kızgın buhar halinde soğutkan bulunacaktır. 25°C ve 32°C ortam sıcaklıklarında, 0,75bar basınçtaki R600a buharının fiziksel özelikleri Tablo 4.4'te verilmektedir.

Tablo 4.4 Durma periyodu esnasında, yoğuşturucuda bulunan kızgın R600a özelikleri

T _{ort} [°C]	P [bar]	p [kg/m ³]	i [kJ/kg]	c _p [kJ/kg.K]	μ [μPa.s]	k [W/mK]
25	0,75	1,793	600,8	1,689	7,497	0,01591
32	0,75	1,749	612,7	1,719	7,666	0,01663

Durma periyodu sonunda yoğuşturucuda bulunan soğutkan miktarı; kızgın buhar yoğunluğu ile yoğuşturucu hacminin çarpımına eşit olacaktır. 12m uzunluğundaki yoğuşturucunun toplam iç hacmi; (1,03E-4)m³. Buna göre; her iki ortam sıcaklığı için de; durma periyodu sonunda yoğuşturucuda bulunan soğutkan miktarı yaklaşık **0,18gr** olmaktadır.

25°C ve 32°C ortam sıcaklıklarını için, durma periyodu esnasında yoğuşturucudan buharlaştırcıya geçen soğutkan miktarları sırasıyla; **8,56gr** ve **10,63gr** olacaktır.

Yüksek ortam sıcaklığında; çalışma periyodu esnasındaki soğutkan debisi daha düşük olduğundan, yoğuşma kapasitesi de azalmakta ve yoğuşturucuda yoğuşma daha erken tamamlanmaktadır. Farklı ortam sıcaklıklarında da olsa, yoğuşturucunun ısı geçişleri performansı ve ortam ile yoğuşan akışkan arasındaki sıcaklık farkı yaklaşık olarak sabit kalmaktadır. Bu nedenle, farklı ortam sıcaklıklarında yoğuşturucudan atılan toplam ısı miktarı değişmemektedir. Yüksek ortam sıcaklığında yoğuşma daha erken tamamlandığı için yoğuşturucudaki aşırı soğutma miktarı ve dolayısıyla sıvı miktarı artmaktadır. Sıvı fazdaki soğutkanın yoğunluğu, buhar fazdakine göre çok daha yüksek olduğundan; sıvı miktarının daha fazla olması, durma periyodu esnasında gerçekleşen soğutkan gücü miktarının daha fazla olmasını da beraberinde getirmektedir.

Yapılan teorik hesaplamalarda sistemdeki toplam şarj miktarının her durum için bağımsız olarak optimum kabul edildiği göz önünde bulundurulmalıdır. Uygulamada, 25°C ortam koşulu için alınan soğutkan şarj miktarı 32°C ortam koşulu için de sabit

tutulacak olursa, yüksek ortam sıcaklığında gerekli olan şarj miktarı daha fazla olduğundan, eksik şarj durumu yoğunşturucudaki sıvı soğutkan ve aşırı soğutma miktarının daha düşük olmasına neden olacaktır. Bu nedenle; aynı şarj miktarı kullanılması durumunda, soğutkan göçü miktarının yüksek ortam sıcaklığı koşullarında daha düşük olması beklenir. Farklı ortam sıcaklıklarında yapılan deneyler neticesinde elde edilen ve Tablo 3.2'de verilen soğutkan göçü süreleri de bu yaklaşım ile uyumludur. Aynı şarj miktarı ile yapılan deneylerde, yüksek ortam sıcaklıklarındaki soğutkan göçü süresinin daha kısa olması, göç eden soğutkan miktarının da daha az olmasının bir göstergesidir.

4.2 Soğutkan Göçünün Neden olduğu Isıtma Etkisinin Hesaplanması

Soğutkan göçü sonrasında buharlaştırıcıda bulunan buhar fazındaki soğutkanın yoğunması neticesinde, durma periyodu esnasında buharlaştırıcıdan kabin içine ısı geçisi olacaktır. Soğutkan göçü nedenli bu ısıtma etkisi, büyük bir yaklaşıkla, yoğunşturucudan buharlaştırıcıya geçen ve bir önceki bölümde hesaplanan soğutkan miktarı değeri ile buharlaştırıcı basıncındaki buharlaşma gizli ısısı değerinin çarpımına eşit olacaktır. R600a soğutkanlı bir derin dondurucuda, durma periyodu esnasında yoğunşturucu ve buharlaştırıcı basınçları yaklaşık 0,75bar değerinde eşitlenmektedir. 0,75bar basınçtaki R600a'nın doymuş sıvı ve doymuş buhar entalpileri sırasıyla; $i_s = 157 \text{ kJ/kg}$ ve $i_b = 530,4 \text{ kJ/kg}$ olmaktadır [25]. 25°C ve 32°C ortam sıcaklıkları için göç eden soğutkan miktarları sırasıyla; 8,56gr ve 10,63gr olarak hesaplanmıştır. Buna göre; göç eden soğutkanın buharlaştırıcıda yoğunması neticesinde ortaya çıkan ıslar:

$$T_{ort} = 25^\circ\text{C} \rightarrow Q = M \times i_{sb} = 8,56 \times (530,4 - 157) = 3196 \text{ J} \quad (4.67)$$

$$T_{ort} = 32^\circ\text{C} \rightarrow Q = M \times i_{sb} = 10,63 \times (530,4 - 157) = 3969 \text{ J} \quad (4.68)$$

Bir tam döngüde sağlanan soğutma enerjisi, (4.69) bağıntısında verildiği gibi, kabin ısı yükü ile döngü süresinin çarpımına eşit olacaktır.

$$Q_{soğ.} [\text{J}] = \dot{Q}_{kab.} [\text{W}] \times (\text{döngüsüresi}) [\text{sn}] \quad (4.69)$$

Tablo 4.5'te; iki farklı ortam sıcaklığında hesaplanan soğutma enerjisi ve soğutkan göçü ısıtma enerjisi değerleri ile birlikte, soğutkan göçünün neden olduğu ısıtma

enerjisinin toplam soğutma kapasitesine oranı ısıtma etkisi olarak verilmiştir. Kabin ısı yükü ve döngü süresi ile ilgili veriler, 3.Bölüm'de anlatılan deneysel çıktılarından alınmıştır.

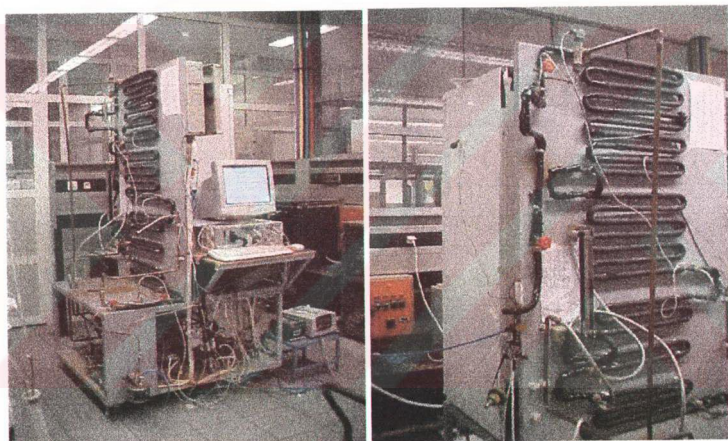
Tablo 4.5 Durma periyodu esnasında soğutkan göçünün neden olduğu ısıtma etkisi

Ortam Sic. [oC]	Kabin İçi Sic. [oC]	Kabin Isı Yükü [W]	Döngü Süresi [dk]	Soğutma Enerjisi [J]	S.G.İsıtma Enerjisi [J]	%Etki
25	-21,62	53,0	26,33	83729	3196	3,82%
32	-21,67	62,2	36,68	136890	3969	2,90%

Yüksek ortam sıcaklığında; optimum şarj durumunda, yoğunşturucudan buharlaştırıcıya göç eden soğutkan miktarı arttığı için, soğutkan göçünden kaynaklanan ısıtma enerjisinin mutlak değeri de artmaktadır. Ancak; dış ortam ile kabin içi arasındaki sıcaklık farkı arttıktan, soğutma sisteminin sağlama gereken soğutma enerjisinin mutlak değeri de büyük oranda artmaktadır. Toplam soğutma enerjisindeki artış oranı soğutkan göçü kaynaklı ısıtma enerjisindeki artış oranından daha fazla olduğundan; yüksek ortam sıcaklığında mutlak değerce daha fazla olmasına rağmen, soğutkan göçünün toplam soğutma kapasitesi üzerindeki ısıtma etkisi yüksek ortam sıcaklığında daha az olmaktadır.

5 DENEY DÜZENEĞİ ÜZERİNDE YAPILAN PARAMETRİK İRDELEMELER

Buzdolabı döngüsel kayıpları genelinde özellikle soğutkan göçüne etken, bir önceki bölümde ayrıntılı olarak ele alınan parametrelerin kontrollü bir şekilde ele alınmasına ve etkilerinin irdelenmesine yönelik bir deney düzeneği kurulmuştur. Kurulan deney düzeneğinin genel görünümü Şekil 5.1'de verilmektedir.



Şekil 5.1 Kurulan deney düzeneğinin genel görünümü

5.1 Deney Düzeneğinin Tanıtılması

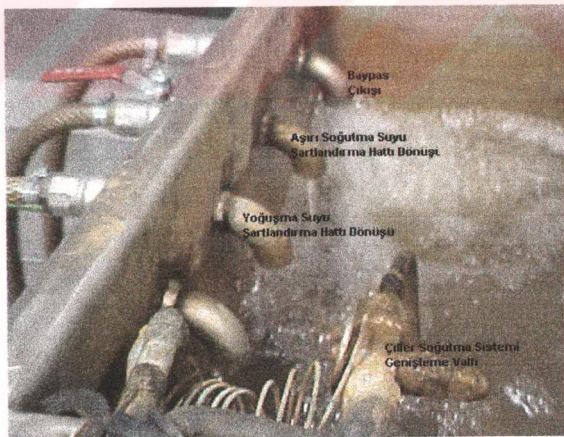
Deney düzeneği temel olarak 3 grupta incelenebilir:

- Su Hazırlama ve Şartlandırma Grubu
- Soğutma Grubu ve Hattı
- Ölçüm – Veri Toplama – Kontrol Grubu

5.1.1 Su Hazırlama ve Şartlandırma Grubu

Deneysel çalışma öncesinde, gerekli su şartlandırma koşullarının ön tespitine yönelik olarak gerçekleştirilen optimizasyon çalışmaları neticesinde, sistemdeki maksimum su ihtiyacı yaklaşık 70 L/h olarak tespit edilmiştir. 70 L/h debi ile akışın gerçekleştiği yoğunurucuda suyun akış hızı yaklaşık 0,3m/s olmaktadır. Bu akış hızı ve debi miktarı ile birlikte, su şartlandırma hattı üzerinde 2 adet 5L'lik ısıtıcı tankı bulunduğu ve toplam su hattı uzunluğunun yaklaşık 30m olduğu göz önünde bulundurulursa, depolanan suyun en az iki döngülük su ihtiyacını karşılaması için depolanması gereken su miktarı en az 25L olmaktadır. Su hazırlama ünitesi olarak, 100L haciminde depoya sahip 500W soğutma kapasitesinde bir su banyosu kullanılmıştır. Su banyosunda, 500W soğutma kapasitesine sahip bir kompresör ve 1400W gücünde bir ısıtıcı bulunmaktadır.

Yoğunlaşma ve aşırı soğutma suyu şartlandırma hatlarının, basınç ve sıcaklık açısından olası etkileşimlerinin ortadan kaldırılması amacıyla, bu iki şartlandırma hattı, birbirinden ayrı olarak su deposuna ulaşırılmışlardır. Su banyosunda ayarlanan sıcaklıkta depolanan su, depodan pompa ile sisteme basılmakla birlikte, ana pompa çıkışında bulunan bir T-parçası vasıtasyyla, sistemdeki su ihtiyacına göre depoya baypas edilmektedir. Pompa sonrası baypas hattı çıkışı ile yoğunlaşma suyu ve aşırı soğutma suyu şartlandırma hattı dönüşleri Şekil 5.2'de görülmektedir.



Şekil 5.2 Su banyosunun şartlandırma ve baypas hattı dönüşleri

Kurulan deney tesisatında toplam 22 geçişten oluşan yoğunşturucu, birbirleriyle farklı kombinasyonlar oluşturabilecek şekilde, 10, 7, 3 ve 2 geçişlik 4 ayrı parça şeklinde tasarlanmış ve buharlaştırıcı sabit tutulmuştur. Böylelikle $V_{\text{kond}}/V_{\text{evap}}$ hacim oranı bağımsız bir değişken olarak sisteme uygulanabilecektir.

Kurulan deney tesisatında, belirli bir yoğunlaşma sıcaklığı ve basıncı için yoğunşturucuda yoğunlaşma geçiş oranı, su giriş-çıkış sıcaklıklarını ile su debisine bağlı olacaktır. Bu nedenle su şartlandırma hattındaki su giriş-çıkış sıcaklıklarını ve yoğunlaşma basıncı nispetinde su debisi ayarlanarak, çok parçalı olarak tasarlanan yoğunşturucunun farklı boyut kombinasyonlarında yoğunlaşma ve aşırı soğutma koşulları kontrol edilebilecektir.

Farklı boyut ve yoğunlaşma geçiş oranı kombinasyonlarında kullanılacak yoğunşturucunun 22/22 yoğunlaşma geçiş oranı kombinasyonu ve 3 geçişlik ilave aşırı soğutucu (sub-cooler) kullanıldığı durum için yoğunşturucu çizimi Şekil A.1'de görülmektedir.

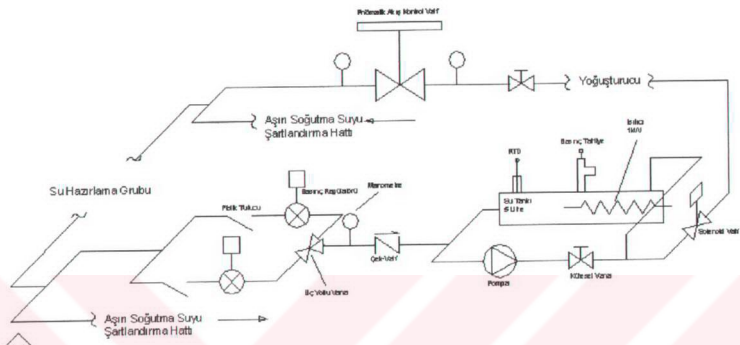
Düzenekte kullanılan ters akışlı su soğutmalı yoğunşturucu, iç içe borulu tasarlanmış olup iç taraftan soğutkan, dış taraftan ise yoğunlaşma suyu akmaktadır. Soğutkan yoğunşturucu borusu olarak, 12m uzunlığında 3/16" bakır boru kullanılmıştır. Soğutkan borusu ile arasında yoğunlaşma suyunun akacağı yoğunşturucu borusu için ise 1/2" bakır soğutma borusu kullanılmıştır.

Yönenstirme ve aşırı soğutucu grubunun başlangıcında ve sonunda blok halinde RTD, basınç transduseri ve iğne valf ünitesi bulunmaktadır. 10, 7, 3 ve 2 geçişlik yoğunşturucu parçaları arasında ise akışkan sıcaklığını tespit etmek üzere boru yüzeyinden termo-eleman ölçümü alınmaktadır. Yoğunşturucu ve aşırı soğutucu grubunun giriş ve çıkışındaki RTD'ler ve basınç transduserleri ile yoğunlaşma sıcaklığı ve basıncı tespit edilebilecek, geçişler arasındaki termo-elamanlardan alınan sıcaklık verileri doğrultusunda da yoğunşturucudaki yoğunlaşma geçiş oranı tespit edilip ayarlanabilecektir.

Yönenstirme geçiş oranı ve yoğunşturucuda aşırı soğutma miktarı nispetinde yoğunlaşma suyunun şartlandırıldığı su şartlandırma grubu ve hattı, yoğunşturucu suyu şartlandırma grubu ve aşırı soğutma suyu şartlandırma grubu olmak üzere iki kısımda incelenebilir.

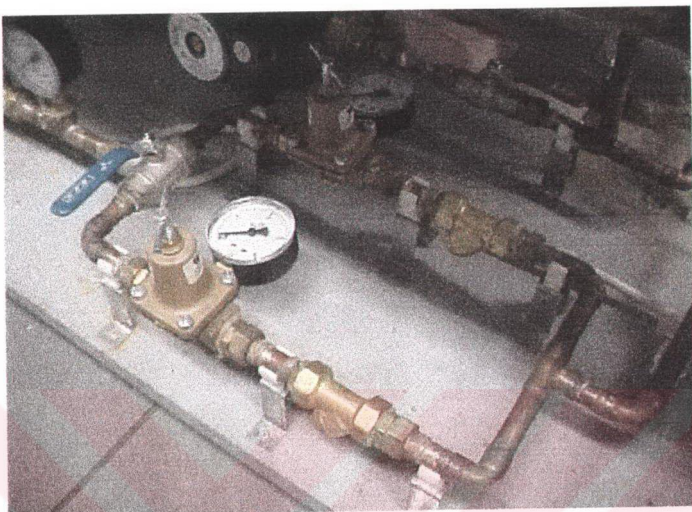
5.1.1.1 Yoğuşturucu Suyu Şartlandırma Grubu ve Hattı

Yoğuşturucu suyu şartlandırma grubu ve hattı, sisteme su soğutmalı yoğuşturucunun istenilen sıcaklık ve debi şartlarında su ihtiyacını karşılamaktadır. Yoğuşturucu suyu şartlandırma grubunun ayrıntılı çizimi, Şekil 5.3'te görülmektedir.



Şekil 5.3 Yoğuşturucu suyu şartlandırma hattı

Yoğuşturucu suyu şartlandırma grubunun su ihtiyacı, su hazırlama grubunda depolanan suyun basıldığı ana pompa ile sağlanmaktadır. Ana pompa ile su hazırlama deposundan basılan su, paralel iki boru hattına yönlendirilmektedir. Bu hatlarda öncelikle pislik tutucularından geçen su, ardından basınç regülatörleri ile istenen basıncı getirilmektedir. Regülatörlerde su basıncı 0-4 bar arasında ayarlanabilmekte ve basınç regülatörlerine bağlı manometrelerle su basıncı gözlenebilmektedir. Su hattı başlangıcındaki basınç dengeleme sürecini tek bir hatta gerçekleştirmek yerine paralel iki hat boyunca gerçekleştirmek, yoğuşturucu suyu şartlandırma hattı başlangıcındaki su debisini ikiye ayırmak suretiyle, basınç düşümünü azaltacak ve basınç dengeleme sürecinin daha kolay gerçekleştirilemesini sağlayacaktır. Pislik tutucu ve basınç regülatörlerinin bulunduğu paralel hatlar üç yolu küresel vana ile birleştirilmekte ve aynı basıncı getirilen su, üç yolu vanadan geçirilerek karıştırılmaktadır. Üç yolu küresel vananın ardından hatların bireleşiminden sonra, bir manometre ile su hattındaki basınç kontrolü yinelenmektedir. Sistem tamamen durdurulduğunda sistemin üst kademelerindeki suyun geri kaçmasını önlemek amacıyla, manometrenin altında bir çekvalf bulunmaktadır. Sözü edilen paralel basınç dengeleme hatlarının fotoğrafı Şekil 5.4'te görülmektedir.



Şekil 5.4 Yoğunurucu suyu şartlandırma grubu başlangıcındaki basınç dengeleme hattı

İstenen basınçta getirilen su, çelik saç malzemeden imal edilmiş 5,6L'lik küçük bir tanka ulaşmaktadır. Bu tankın içinde 1kW gücü sahip bir ısıtıcı bulunmaktadır ve bu ısıtıcı su şartlandırma sıcaklığını elde etmek amacıyla kullanılmaktadır. Tank içindeki suyun sıcaklığı, RTD (Elektriksel Direnç Termometresi) tipi bir sıcaklık ölçüm elemanı ile sürekli olarak tespit edilmektedir. Yoğunurucuda ihtiyaç duyulan su sıcaklığı nispetinde ayarlanan, yoğunurucu suyu şartlandırma tankı içindeki su sıcaklığı sağlanmak üzere, RTD ile ölçülen sıcaklık değerleri doğrultusunda, kontrol sistemi aracılığıyla ısıtıcı oransal olarak çalıştırılmaktadır.

Yoğunurucu suyu şartlandırma tankından çıkan suyun bir kısmı yoğunurucuya gönderilirken, bir kısmı da bir kısa-geçiş (baypas) hattı ile tekrar tanka gönderilerek ana pomadan gelen su ile karıştırılmaktadır. Bu hattaki suyun sirkülasyonunu sağlamak amacıyla hatta; en yüksek 2450 dev/dk hızda çalışan, 3 hız kademeli, ıslak rotorlu, raktır bir sirkülasyon pompası bulunmaktadır. Şartlandırma tankı ile gerçekleştirilen kısa-geçiş hattı sonrasında, istenen sıcaklığı şartlandırılan suyun yoğunurucuya hattına gönderilmesine yol veren bir solenoid valf bulunmaktadır. Yoğunurucuya su gönderilmek istenmediği zamanlarda, yalnız tank ile kısa-geçiş sirkülasyonunu sağlamak üzere solenoid valf kapatılabilir. Ayrıca tankın

üzerinde, yüksek basınç değerlerinde tankın cidarlarında fazladan basınç gerilmelerine mahal vermemek amacıyla, belirli emniyet basıncında atmosfere açılmak suretiyle tankın içindeki fazladan basıncı tahliye eden, 10bar işletme basıncına kadar emniyet basıncının ayarlanabildiği bir emniyet ventili (basınç tahliye vanası) bulunmaktadır. Yoğunluk suyu şartlandırma tankı, tank üzerindeki elemanlar ve ilgili sirkülasyon hattının bulunduğu fotoğraf Şekil 5.5'te görülmektedir. Yoğunluk suyu şartlandırma tankından çıkan su, belirli yoğunlaşma koşullarının sağlanacağı yoğunluk kısmasına gönderilmektedir.



Şekil 5.5 Yoğunluk suyu şartlandırma tankı ve ilgili elemanlar

Belli bir yoğunlaşma sıcaklığı ve basıncı için yoğunlukundaki yoğunlaşma geçiş oranı ve dolayısıyla aşırı soğutma miktarı, yoğunlaşma suyu ve aşırı soğutma suyu şartlandırma hatlarındaki düzenlemeler ile sağlanmaktadır. Yoğunlaşma suyu şartlandırma grubu ve hattı bu doğrultuda ele alındığında, yoğunlukcuya gönderilen suyun sıcaklığının yanında debisi de önem kazanmaktadır. Bu nedenle yoğunlaşma suyu ihtiyaç duyulan miktarda şartlandırıldığı gibi, yoğunlukundaki ihtiyaç doğrultusunda su debisinin de belirli oranda şartlandırılması, ayarlanması gereklidir.

Kurulan deney düzeneğinde yoğunlaşma suyu debisi, pnömatik kontrollü bir akış kontrol valfi ile sağlanmaktadır. Yoğunlukundan çıkan su, pnömatik kontrollü akış kontrol valfine geçmektedir. Akış kontrol valfi, soğutma sistemindeki kompresör basma basıncı, yoğunlukundaki ilgili yoğunlaşma basıncı için gerekli olan basınç değerini alacak şekilde konum alarak suyun debisini ayarlamaktadır. Akış kontrol valfinin fotoğrafı, Şekil 5.6'da görülmektedir. Su hattı üzerindeki külesel akış

debisinin tespit edilmesi amacıyla, iç içe borulu ve ters akışlı yoğunşturucunun su girişine bir rotametre yerleştirilmiştir. 250mm gösterge uzunluğuna sahip, küresel bilyalı rotametrenin kalibrasyon verileri Tablo 5.1'de verilmektedir. Son olarak akış kontrol valfinden çıkan su, su banyosuna geri dönmektedir.

Tablo 5.1 Su hattı üzerinde kullanılan rotametrenin kalibrasyon verileri

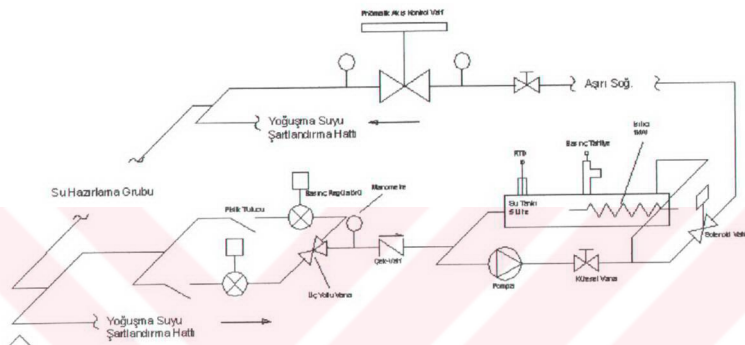
Kalib.Eğrisi: $0,0021x^2 + 4,5677x + 3,9415$								
Uzunluk [mm]	Debi (+) [gr/dk]	Debi (-) [gr/dk]	Ort.Debi [gr/dk]	Düz.Değer [gr/dk]	Fark [gr/dk]	Debi [kg/h]	Düz.Değer [kg/h]	Fark [kg/h]
0,0	0,0	0,0	0,0	3,9	3,9	0,0	0,2	0,2
12,0	54,4	56,7	55,6	59,1	3,5	3,3	3,5	0,2
18,0	96,9	85,0	91,0	86,8	-4,1	5,5	5,2	-0,3
31,0	150,9	145,5	148,2	147,6	-0,6	8,9	8,8	-0,1
39,0	186,9	184,0	185,5	185,3	-0,2	11,1	11,1	0,0
45,0	216,9	213,8	215,4	213,7	-1,6	12,9	12,8	-0,1
53,0	253,3	252,6	253,0	251,9	-1,0	15,2	15,0	-0,1
63,0	307,6	298,2	302,9	300,0	-2,9	18,2	17,9	-0,3
70,0	335,8	331,0	333,4	334,0	0,6	20,0	19,9	-0,1
78,0	371,6	367,4	369,5	373,0	3,5	22,2	22,2	0,1
90,0	437,8	427,5	432,7	432,0	-0,6	26,0	25,7	-0,2
98,0	478,8	467,9	473,4	471,7	-1,6	28,4	28,1	-0,3
110,0	537,8	530,7	534,2	531,8	-2,4	32,1	31,6	-0,5
114,0	566,1	550,9	558,5	552,0	-6,5	33,5	32,8	-0,7
120,0	592,4	580,0	586,2	582,3	-3,9	35,2	34,6	-0,6
130,0	638,6	628,5	633,5	633,2	-0,3	38,0	37,6	-0,5
140,0	687,8	677,0	682,4	684,6	2,2	40,9	40,6	-0,4
149,0	735,6	727,6	731,6	731,2	-0,4	43,9	43,3	-0,6
160,0	793,0	789,4	791,2	788,5	-2,7	47,5	46,7	-0,8
171,0	844,4	842,9	843,7	846,4	2,8	50,6	50,0	-0,6
181,0	907,6	891,6	899,6	899,5	-0,1	54,0	53,1	-0,9
190,0	945,3	943,9	944,6	947,6	3,0	56,7	55,9	-0,8
210,0	1055,4	1059,8	1057,6	1055,8	-1,8	63,5	62,2	-1,2
220,0	1095,0	1117,8	1106,4	1110,5	4,1	66,4	65,4	-1,0
230,0	1176,9	1170,4	1173,7	1165,6	-8,0	70,4	68,6	-1,8
240,0	1221,0	1223,0	1222,0	1221,1	-0,9	73,3	71,8	-1,5
250,0	1286,1	1286,1	1286,1	1277,1	-9,0	77,2	75,0	-2,2



Şekil 5.6 Pnömatik kontrollü akış kontrol valfi

5.1.1.2 Aşırı Soğutma Suyu Şartlandırma Grubu ve Hattı

Aşırı soğutma suyu grubu ve hattı, yoğuşturucuda belirli oranda aşırı soğutma gerçekleştirmek üzere, soğutma sistemindeki su soğutmalı yoğuşturucunun aşırı soğutma gerçekleştirilecek kısmının istenilen sıcaklık ve debi şartlarındaki su ihtiyacını karşılamaktadır. Aşırı soğutma suyu şartlandırma grubunun ayrıntılı çizimi, Şekil 5.7'de görülmektedir.



Şekil 5.7 Aşırı soğutma suyu şartlandırma hattı

Aşırı soğutma suyu şartlandırma grubunun su ihtiyacı, su hazırlama grubunda depolanan suyun basıldığı ana pompa ile sağlanmaktadır. Ana pompa ile su hazırlama deposundan basılan su, paralel iki boru hattına yönlendirilmektedir. Bu hatlarda öncelikle pislik tutucularından geçen su, ardından basınç regülatörleri ile istenen basınç getirilmektedir. Regülatörlerde su basıncı 0-4 bar arasında ayarlanabilmekte ve basınç regülatörlerine bağlı manometrelerle su basıncı gözlenebilmektedir. Pislik tutucu ve basınç regülatörlerinin bulunduğu paralel hatlar üç yolu küresel vana ile birleştirilmekte ve aynı basınçta getirilen su, üç yolu vanadan geçirilerek karıştırılmaktadır. Üç yolu küresel vananın ardından hatların birleşiminden sonra, bir manometre ile su hattındaki basınç kontrolü yinelenmektedir. Sistem tamamen durdurulduğunda sistemin üst kademelerindeki suyun geri kaçmasını önlemek amacıyla, manometrenin altında bir çekvalf bulunmaktadır. Sözü edilen paralel basınç dengelleme hatları, yoğuşturucu suyu şartlandırma hattındakiilerle aynı olup fotoğrafı Şekil 5.4'te verilmiştir.

İstenen basınçta getirilen su, çelik saç malzemeden imal edilmiş 5,6L'lik küçük bir tanka ulaşmaktadır. Bu tankın içinde 1kW güce sahip bir ısıtıcı bulunmaktadır ve bu ısıtıcı su şartlandırma sıcaklığını elde etmek amacıyla kullanılmaktadır. Tank

içindeki suyun sıcaklığı, RTD (Elektriksel Direnç Termometresi) tipi bir sıcaklık ölçüm elemanı ile sürekli olarak tespit edilmektedir. Belirli bir yoğunuma geçiş oranı ve dolayısıyla aşırı soğutma miktarı için yoğunurucuda ihtiyaç duyulan su sıcaklığı nispetinde ayarlanan, aşırı soğutma suyu şartlandırma tankı içindeki su sıcaklığı sağlanmak üzere, RTD ile ölçülen sıcaklık değerleri doğrultusunda, kontrol sistemi aracılığıyla ısıtıcı devreye girip bulunmaktadır.

Aşırı soğutma suyu şartlandırma tankından çıkan suyun bir kısmı yoğunurucuya gönderilirken, bir kısmı da bir kısa-geçiş (baypas) hattı ile tekrar tanka gönderilerek ana pomadan gelen su ile karıştırılmaktadır. Bu hattaki suyun sirkülasyonunu sağlamak amacıyla hatta; en yüksek 2450 dev/dk hızda çalışan, 3 hız kademeli, ıslak rotorlu, rakkorlu bir sirkülasyon pompa bulunmaktadır. Şartlandırma tankı ile gerçekleştirilen kısa-geçiş hattı sonrasında, istenen sıcaklığa şartlandırılan suyun, yoğunurucunun aşırı soğutma kısmına gönderilmesine yol veren bir solenoid valf bulunmaktadır. Ayrıca tankın üzerinde, yüksek basınç değerlerinde tankın cidarlarında fazladan basınç gerilmelerine mahal vermemek amacıyla, belirli emniyet basıncında atmosfere açılmak suretiyle tankın içindeki fazladan basıncı tahliye eden, 10bar işletme basıncına kadar emniyet basıncının ayarlanabildiği bir emniyet ventili (basınç tahliye vanası) bulunmaktadır. Aşırı soğutma suyu şartlandırma tankından çıkan su, yoğunurucunun aşırı soğutma gerçekleştirilen kısmına veya ilave bir aşırı soğutucuya gönderilmektedir.

Kurulan deney düzeneğinde, ısıtıcı bulunan su şartlandırma tankında aşırı soğutma suyu sıcaklığının şartlandırılması ile birlikte yoğunuma suyu şartlandırma hattında olduğu gibi, aşırı soğutma suyu debisi de pnömatik kontrollü bir akış kontrol valfi ile sağlanmaktadır. Aşırı soğutma grubundan çıkan su, pnömatik kontrollü akış kontrol valfine geçmektedir. Akış kontrol valfi, aşırı soğutucu çıkışındaki sıcaklık istenen aşırı soğutma miktarını sağlayacak şekilde konum alarak suyun debisini ayarlamaktadır. Böylelikle, yoğunurucu suyu şartlandırma hattındaki su debisinin ayarlanması ile birlikte, istenen aşırı soğutma miktarı nispetinde aşırı soğutma suyu debisi de ayarlanmakta ve aşırı soğutma suyu şartlandırma tankındaki ısıtıcı, yoğunurucu suyu şartlandırma tankındaki ısıticiden daha düşük bir sıcaklığa ayarlanarak yoğunurucuda belirli geçiş oranında yoğunuma ve aşırı soğutma sağlanmaktadır. Son olarak akış kontrol valfinden çıkan su, su banyosuna geri dönmektedir.

5.1.2 Soğutma Grubu ve Hattı

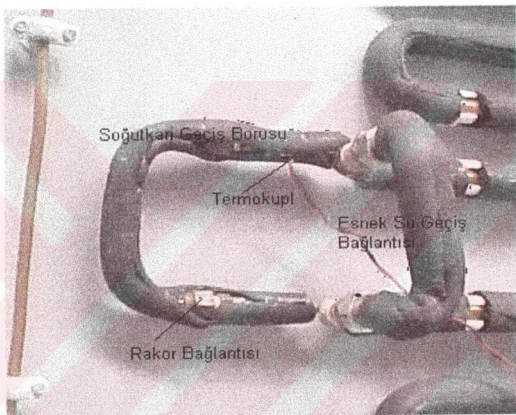
Deney düzeneğinde kullanılan soğutma grubu klasik buhar sıkıştırmalı bir sistem olup, soğutucu akışkan olarak R600a soğutkanı kullanılmaktadır. Geleneksel bir derin dondurucunun kompresör ve buharlaştırıcısı değiştirilmeden alınmıştır.

Derin dondurucuda kullanılan buharlaştırıcı, açık telli-borulu olup 5 sıra raf şeklinde dağılmaktadır. Buharlaştırıcı, 8mm çapında ve 0,71mm et kalınlığında çelik borulardan müteşekkildir. Soğutma sisteminde 0,66x3000 boyutlarında kılcal genişleme borusu (kapileri) kullanılmış olup, kapilerinin bir kısmı ile birlikte dönüş borusu-kapileri ısı değiştiricisini oluşturan dönüş borusunun uzunluğu 2700mm'dir. Buharlaştırıcının genel görünümü Şekil 3.11(a)'da verilmiştir.

Buharlaştırıcıda kabin içi soğutmayı gerçekleştirdikten sonra kompresöre ulaşan soğutkan, kızgın buhar fazında bulunmakta ve kompresörde sıkıştırılarak basıncı ve sıcaklığı artırmaktadır. Kızgınlık derecesi daha da artmış olan soğutkan, düşük kızgınlıkta yoğunşturucuya ulaşmaktadır. Yoğunmanın yoğunşturucuda başlamasını sağlamak amacıyla, kompresör ile yoğunşturucu arasındaki flanş hattı iptal edilmiştir. Düzenekte kullanılan yoğunsturu, Bölüm 5.1'in başında dephinildiği ve Şekil A.1'de gösterildiği üzere, iç taraftan 3/16" çapında bakır soğutkan borusunun geçtiği, iç içe borulu tipte, su soğutmalı ve ters aaklı bir yoğunsturucudur. Yoğunşturucuda yoğunlaşma geçiş oranı ve yoğunsturu boyutu gibi parametreleri deneyel olarak kontrol edebilmek amacıyla, önceki bölümlerde de dephinildiği gibi, yoğunsturu 10, 7, 3 ve 2 geçirilik parçalar halinde tasarlanmıştır. Ayrıca yoğunsturucuya ek olarak bir de 3 geçirilik ilave aşırı soğutucu bulunmaktadır. Geçişler arasındaki soğutkan borusu bağlantıları rakorlu bağlantı elemanları ile sağlanmıştır. Su soğutmalı yoğunsturu olusunu tam olarak karakterize etmek amacıyla, yoğunma ve aşırı soğutmanın yalnızca soğutkan ile yoğunsturu suyu arasındaki ısı geçişine bağlı olması ve yoğunsturucudaki su sıcaklıklarının kararlı kalmasını sağlamak için, yoğunsturu su borularının hava ile temasta bulunan dış kısımları yalıtılmıştır. Gerekli görülen yerlerde, hava ile temasta olan, su boruları dışındaki çıplak soğutkan boruları da yalıtılmıştır. Şekil 5.8'de yoğunsturu geçirileri arasındaki soğutkan ve su bağlantıları görülmektedir.

Yoğunsturucunun soğutkan hattı girişinde, basınç ölçümü ve elektriksel direnç termometresi (RTD) ile sıcaklık ölçümü alınmaktadır. Yoğunsturu girişinde, basınç transduseri, RTD, iğne valf ünülü bloğu ile alınan bu ölçümler sayesinde yoğunsturucudaki yoğunma basıncı ve sıcaklığı tespit edilebilmektedir. Şekil 5.8'de

de görüldüğü gibi, yoğunsturuğu geçişleri arasında soğutkan borusu yüzeyine lehimlenmiş termo-elemanlar ile sıcaklık ölçümü yapılmakta, böylece yoğunsturuğu girişinde alınan sıcaklık ve basınç ölçümleri ile birlikte değerlendirildiklerinde, ilgili geçişteki soğutkanın faz durumu tespit edilebilmektedir. Tespit edilen faz durumu doğrultusunda, yoğunsturucudaki su koşulları (sıcaklık, debi), su hazırlama ve şartlandırma hatları boyunca şartlandırılarak, söz konusu yoğunsturuğu boyutundaki istenen yoğunlaşma koşulları sağlanabilmektedir. Ayrıca yoğunlaşma ve aşırı soğutma grubunun ana çıkışında da üçlü blok halinde basınç transduseri, RTD ve iğne valf bulunmaktadır. Bu bloktan alınan basınç ve sıcaklık verileri doğrultusunda da yoğunsturucudaki aşırı soğutma miktarı tespit edilip ayarlanabilecektir.



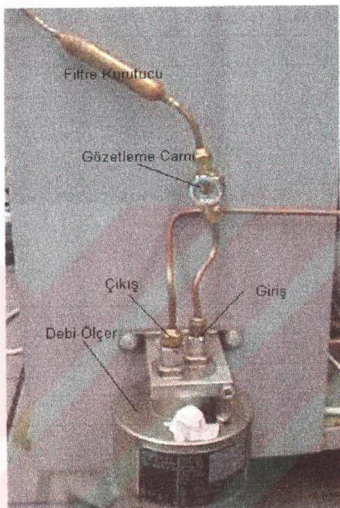
Şekil 5.8 Yoğunsturuğu geçişleri arasındaki soğutkan ve su bağlantıları

Yoğunsturucuda belirli oranda aşırı soğutmaya maruz kalan sıvı fazdaki soğutkan, yoğunsturucudan çıktıktan sonra, filtre-kurutucu (drayer) elemanından geçirilerek nem ve pislilikten arındırılmaktadır. Filtre kurutucunun yanında yer alan gözetleme camı aracılığıyla soğutkanın sıvı fazda olup olmadığı görsel olarak da kontrol edilebilmektedir. Filtre kurutucunun ardından, deney düzeneğinde "Coriolis Kuvvetleri" prensibi ile çalışan bir debi-ölçer bulunmaktadır. Şekil 5.9'da düzenekte kullanılan filtre kurutucu, gözetleme camı ve debi-ölçer görülmektedir.

Kullanılan Danfoss Massflo Mass2100-DI1.5mm debi ölçer, Coriolis Kuvvetleri ($F_c=2.m.v.\omega=2.q_m.\omega$) prensibine göre çalışmaktadır ve 0-65 kg/h debi aralığında ölçüm yapabilmektedir. Ölçülen debi miktarına bağlı olarak debiölçerin ölçüm belirsizliği Denklem (5.1) şeklinde verilmektedir:

$$E = \pm \sqrt{(0,15)^2 + \left(\frac{Z \cdot 100}{q_m} \right)^2} \quad (5.1)$$

Denklem (3.1)'de; E %hata, Z sıfır hatası [kg/h], q_m kütlesel akış debisini [kg/h] ifade etmektedir. Tespit edilen en büyük sıfır noktası hatası; 0,002 kg/h olarak verilmektedir.



Şekil 5.9 Filtre kurutucu, gözleme camı ve debi-ölçer

Debi-ölçerden çıkan sıvı fazda ve yüksek basınçtaki soğutkan, buharlaştırıcı basıncına genişlemek üzere $0,66 \times 3000$ boyutlarındaki kılcal genişleme borusuna girmektedir. Kılcal boruda buharlaştırıcı basıncına genişleyen soğutkan, kılcal boru – dönüş borusu ısı değiştiricisine (KDID) ve buradan da buharlaştırıcıya ulaşmakta ve böylece soğutma çevrimi tamamlanmaktadır.

5.1.3 Ölçüm, Veri Toplama ve Kontrol Grubu

Mekanik tesisat ile ilgili unsurları önceki bölümlerde anlatılan deney düzeneğinde, tesisattaki sıcaklık, basınç, debi ölçümünün ve elektriksel ölçümünün gerçekleştirildiği bir grup ölçüm elemanı, bu ölçümlerden alınan verilerin toplanıp bilgisayar ortamına iletilerek analiz edilmesine imkan sağlayan bir veri toplama

sistemi ve deney düzeneğinin otomatik kontrolünün gerçekleştirileceği bir kontrol sistemi bulunmaktadır.

5.1.3.1 Deneysel Ölçümler, Ölçüm Elemanları ve Veri Toplama

Veri toplama işlemi, ölçüm aletlerinden alınan sıcaklık ve basınç verileri ile elektriksel ölçüm verilerinin analiz edilmesi üzere, elektronik kartlar ve bir yazılım programı ile bilgisayar ortamına aktarılmasını kapsamaktadır. Kurulan deney düzeneğinde veri toplama ünitesi olarak, 20'şer girişe sahip 3 adet elektronik kartın bulunduğu "HP Agilent 34970A" model bir veri toplama ünitesi kullanılmıştır. "HP Agilent 34970A"nın fotoğrafı Şekil 5.10'da görülmektedir. HP 34970A'da toplanan verilerin bilgisayar ortamına aktarılması ise HP VEE tabanlı bir yazılım programı ile gerçekleştirilmiştir. Veri toplama ünitesindeki 3 adet elektronik karta sıcaklık ölçümü için 27 adet termo-eleman (TC), 6 adet RTD (elektriksel direnç termometresi) ve basınç ölçümü için de 5 adet basınç transduseri bağlanmış bulunmaktadır. Bu ölçüm elemanlarının sistemdeki kullanım yerlerine göre isimleri ve veri toplama kartlarındaki bağlantı numaraları, kullanım aralıkları ve dolayısıyla kalibrasyonlarının gerçekleştirildiği ölçüm aralıkları Tablo 5.2'de verilmiştir. Ölçüm elemanlarının bağlantılarının gerçekleştirildiği kanal numaralarının ilk hanesi, ölçüm elemanın bulunduğu kart, son iki hanesi ise kart üzerindeki bağlantı giriş numarasını ifade etmektedir. Örneğin; 312 no'lu kanal, 3. kartın 12 numaralı girişinde bulunmaktadır.



Şekil 5.10 "HP Agilent 34970A" veri toplama ünitesi

Tablo 5.2 Kanal numaraları ile sıcaklık ve basınç ölçüm aletleri ve ölçüm aralıkları

Kanal No	Tanımlama	Kalibrasyon Aralığı
111	Kapileri Evap. Giriş TC	(-40) ~ 40 oC
112	Evap. 1/1 TC	(-40) ~ 40 oC
113	Evap. 2/1 TC	(-40) ~ 40 oC
114	Evap. 1/2 TC	(-40) ~ 40 oC
115	Evap. 2/2 TC	(-40) ~ 40 oC
116	Evap. 1/3 TC	(-40) ~ 40 oC
117	Evap. 2/3 TC	(-40) ~ 40 oC
118	Evap. 1/4 TC	(-40) ~ 40 oC
119	Evap. 2/4 TC	(-40) ~ 40 oC
120	Evap. 1/5 TC	(-40) ~ 40 oC
211	Evap. 2/5 TC	(-40) ~ 40 oC
212	Evap. Alt TC	(-40) ~ 40 oC
213	Evap. Üst TC	(-40) ~ 40 oC
214	Evap. Çıkış TC	(-40) ~ 40 oC
215	Termostat Kuyruğu TC	(-40) ~ 40 oC
216	Kabin İçi 1.Raf TC	(-40) ~ 40 oC
217	Kabin İçi 2.Raf TC	(-40) ~ 40 oC
218	Kabin İçi 3.Raf TC	(-40) ~ 40 oC
219	Kabin İçi 4.Raf TC	(-40) ~ 40 oC
220	Kabin İçi 5.Raf TC	(-40) ~ 40 oC
301	Komp. Emme RTD	10 ~ 50 oC
302	Kond. Ana Giriş RTD	20 ~ 70 oC
314	Kond. 10Pas Çıkış TC	10 ~ 60 oC
315	Kond. 7Pas Çıkış TC	10 ~ 60 oC
316	Kond. 3Pas Çıkış TC	10 ~ 60 oC
317	Kond. 2Pas Çıkış TC	10 ~ 60 oC
318	Sub-Cool Çıkış TC	10 ~ 60 oC
308	Kond.+SC Ana Çıkış RTD	0 ~ 60 oC
309	Komp. Basma RTD	20 ~ 80 oC
319	Komp. Kafa TC	20 ~ 80 oC
320	Komp. Kafa Alt TC	20 ~ 80 oC
312	SC. Suyu Isıtıcısı RTD	10 ~ 50 oC
313	Kond. Suyu Isıtıcısı	10 ~ 60 oC
303	Evap. Giriş Basınç Transd.	0 ~ 10 bar
304	Komp. Emme Basınç Tr.	0 ~ 10 bar
305	Kond. Ana Giriş Basınç Tr.	0,25 ~ 10 bar
306	Kond.+SC Ana Çıkış B.Tr.	0,25 ~ 10 bar
307	Komp. Basma Basınç Tr.	0,25 ~ 10 bar

- **Sıcaklık Ölçümleri:**

Deney düzeneğinde, soğutkan ve su hattı üzerindeki 6 adet RTD ve 27 adet termo-eleman ile toplam 33 adet sıcaklık verisi alınmaktadır. Sistemin kontrolü açısından önem arzeden ve doğrudan akış içinden ölçüm alınmasının daha doğru olacağı kısımlarda sıcaklık ölçümü RTD ile gerçekleştirılmıştır. Kompresör emme ve basma sıcaklıklarını, basınç verileri ile birlikte sistemin buharlaşma ve yoğuşma koşullarının, dolayısıyla termodinamik karakteristiğinin ortaya konmasını sağlayacaktır. Yoğutucu ana girişi ve aşırı soğutma sonrası yoğutucu ana çıkışındaki sıcaklık verileri, ilgili yoğuşma basıncı ile birlikte değerlendirildiklerinde, yoğutucudaki yoğuşma ve aşırı soğutma miktarlarının tespiti açısından önemlidir. Soğutkan hattı üzerindeki bu 4 noktada sıcaklık ölçümü RTD kullanmak suretiyle doğrudan akış içinden alınmışlardır. Tablo 5.2'de görüldüğü üzere, soğutkan hattı üzerindeki diğer sıcaklık ölçümleri, boru yüzeyinden termo-elemanlar ile gerçekleştirılmıştır. Sistemin önemli kontrol parametrelerinden yoğuşma ve aşırı soğutma suyu sıcaklıkları su şartlandırma tanklarında ayarlanmaktadır. Bu şartlandırma tanklarındaki su sıcaklıklarını da RTD kullanılarak ölçmektedir.

Soğutkan hattı ve su hattı üzerinde kullanılan bütün RTD'lerin kalibrasyonu su banyosunda, "Guildline 5150" dijital kalibrasyon termometresi referans alınarak gerçekleştirılmıştır. Kalibrasyon işlemi, Tablo 5.2'de verilen kalibrasyon aralıklarında, 10-20 dakika süresince 2,5 saniyede bir veri toplanarak gerçekleştirılmıştır. Tablo B.1 Tablo B.6 arasında 6 adet RTD için gerçekleştirilen kalibrasyon işleminin dökümü verilmektedir.

RTD'lerin ölçüm belirsizlikleri hesaplanırken kalibrasyon eğrisinin uygulanması neticesinde ortaya çıkan düzeltilmiş değer ile referans sıcaklığı arasındaki en büyük farkın elde edildiği sıcaklıkta fark değeri esas alınmıştır. Daha sonra, bu sıcaklıkta alınan verilerin Student t-dağılımına göre ölçüm belirsizliği tespit edilmiş ve referans termometrenin belirsizliği ile birlikte en büyük fark değerine eklenmiştir. Böylece her RTD için maksimum toplam belirsizlik elde edilmiştir. Maksimum toplam belirsizlik hesaplanırken, referans termometrenin ölçüm belirsizliği yaklaşık olarak $0,05^{\circ}\text{C}$ alınmıştır. Student t-dağılımı ile elde edilen ölçüm belirsizliği; Denklem 5.2 bağıntısı ile verilmektedir.

$$\pm \Delta = \frac{t \cdot \sigma}{\sqrt{N}} \quad [16] \quad (5.2)$$

$\pm\Delta$: tek bir referans değeri için toplanan verilerin ölçüm belirsizliği

σ : tek bir referans değeri için toplanan verilerin standart sapması

$$v = n - 1 \quad (\text{serbestlik derecesi} = \text{ölçüm sayısı} - 1)$$

t : Student t-dağılımına göre tanımlanmış ve serbestlik derecesi ile güvenilirlik aralığına göre ilgili tablolarda verilen t-değeri [16]

Soğutkan hattı üzerinde kullanılan termo-elemanların kalibrasyonu, Fluke 5500A Kalibratörü ile gerçekleştirılmıştır. Fluke 5500A'nın belirsizliği $\pm 0,1^\circ\text{C}$ olarak verilmiştir. Bu işlem, doğrudan termo-elemanların kalibrasyonu şeklinde değil, termo-elemanların veri toplama kartları üzerindeki girişlerinin kalibre edilmesi yoluyla gerçekleştirılmıştır. Elektronik kartlar üzerindeki girişlerin ortamda ses dalgalarının ve hava akımlarının neden olduğu salınımlardan etkilenmemesi amacıyla elektronik kartların içi pamuk ile döşenmiştir. Deneyel çalışmalar esnasında alınan ölçüm sonuçlarının doğruluğu için bu salınımların $\pm 0,1^\circ\text{C}$ kabul edilebilir aralıktaki kalması gerekmektedir. Ayrıca salınımları en aza indirmek ve ölçüm aletlerinin bağlılığı kart bölgesinde homojen bir sıcaklık dağılımı sağlamak amacıyla, elektronik kartların ilk 10 girişine termokupl bağlanmamıştır.

Termo-elemanların kalibrasyon işlemi, Tablo 5.2'de verilen kalibrasyon aralıklarında, yaklaşık 10 dakika süresince 10 saniyede bir veri toplanarak gerçekleştirılmıştır. Termo-elemanların ölçüm belirsizlikleri hesaplanırken kalibrasyon eğrisinin uygulanması neticesinde ortaya çıkan düzeltilmiş değer ile referans sıcaklığı arasındaki en büyük farkın elde edildiği sıcaklıklı fark değeri esas alınmıştır. Student t-dağılımı ve kalibratörden gelen belirsizlikler de hesaba katıldığında, termo-elemanlar için en büyük toplam belirsizlik $\pm 0,2^\circ\text{C}$ olmaktadır.

■ Basınç Ölçümleri:

Kurulan deney düzeneğinde, 2 tane alçak basınç ve 3 tane yüksek basınç tarafında olmak üzere, soğutkan hattı üzerinde toplam 5 adet basınç ölçümleri alınmaktadır. Soğutma sisteminin alçak basınç kısmında kalan buharlaştırıcı giriş ve kompresör emme noktalarında basınç ölçümü 0-10 bar basınç aralığına sahip basınç transduserleri, sistemin yüksek basınç kısmındaki kompresör basma, yoğunıştırıcı giriş ve yoğunıştırıcı çıkış noktalarında ise 0-40 bar basınç aralığına sahip basınç transduserleri ile gerçekleştirilmektedir. Verilen basınç aralıklarında analog basınç değerlerini algılayan transduserler 4-20mA ya da 0-10V aralıklarında elektriksel çıkış

vermektedirler. Basınç transduserleri 24VDC güç kaynağından beslenmektedir. Algılanan basınç doğrultusunda verilen elektriksel çıkış sinyali veri toplama ünitesi elektronik kartı vasıtasyyla okunmakta ve daha önce sözü edilen yazılım programı ile, basınç ve elektriksel çıkış aralıkları göz önünde bulundurularak "bar" cinsinden basınç verilerine dönüştürülerek bilgisayar ortamına aktarılmaktadır.

Basınç transduserlerinin kalibrasyonu, TÜBİTAK UME tarafından kalibre edilmiş, 0-150 psi basınç aralığına sahip bir standart manometre referans alınarak gerçekleştirılmıştır. Kalibrasyon işlemi, Tablo 5.2'de verilen kalibrasyon aralıklarında, basıncın artığı ve azaldığı durumlar için ayrı ayrı gerçekleştirilmiş ve böylece transduserlerin histerisisleri de tespit edilmiştir. Kalibrasyon esnasında, daha geniş bir sayısal okuma aralığı elde etmek ve referans manometre ile karşılaştırma kolaylığı sağlamak amacıyla, basınç verileri "psi" birimiyle toplanmıştır. Kalibrasyon eğrileri tespit edildikten sonra, düzeltilmiş değerler tekrar "bar" birimine dönüştürülüp veri toplama yazılımında basınçlar "bar" cinsinden okunmuştur. Deney düzeneğinde kullanılan 5 adet basınç transduseri için kalibrasyon dökümü Tablo C.1 - Tablo C.5 arasında verilmiştir. Toplam belirsizlik hesaplanırken kalibrasyon neticesinde elde edilmiş düzeltilmiş değer ile referans değer arasındaki fark esas alınmış ve bu değere histerisis hatası ile referans manometrenin belirsizliği de eklenerek maksimum toplam belirsizlik tespit edilmiştir. Kullanılan referans manometrenin UME tarafından verilen kalibrasyon belirsizliği %0,25'tir.

- **Elektriksel Ölçümler:**

Çalışma periyodu esnasında kompresör tarafından çekilen akım, harcanan güç ve enerji ile kompresöre verilen gerilim değerleri "ION Data" güç analizi ile ölçülmüştür. Akım ölçüm belirsizliği %0,8; güç ve enerji ölçümleri için belirsizlik %0,35'tir.

5.1.3.2 Kontrol Sistemi

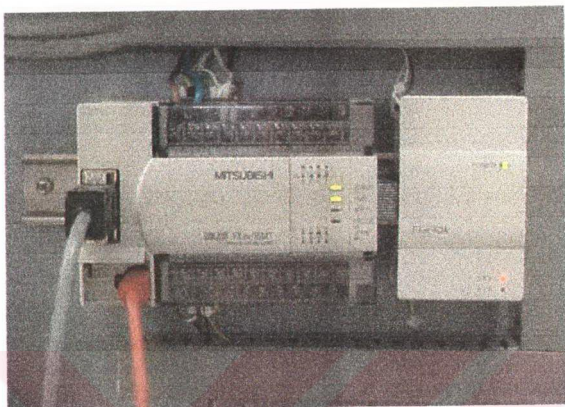
Sistem kontrolü temel olarak, su şartlandırma tankı sıcaklıklarının kontrolü ve sistemde dolaşan su debisinin kontrolü olmak üzere iki grupta gerçekleştirilmektedir. Su sıcaklığı ve debisinin kontrolü ile dolaylı olarak, yoğunlaşma sıcaklığı ve basıncı, yoğunşturucuda yoğunlaşma oranı ve aşırı soğutma miktarı kontrol edilebilecektir. Ayrıca; döngü süresi ve kompresörün çalışma süresi oranı programlanabilir denetleyici (PLC) vasıtasyyla zamanlanabilmektedir. Böylece döngü süresi ve çalışma süresi oranı, kontrollü değişkenler olarak sisteme uygulanabilmektedirler.

Yoğuşturucuda istenen yoğuşma geçiş oranı ve aşırı soğutma miktarı doğrultusunda su şartlandırma sıcaklıklarını elde etmek amacıyla, yoğuşma suyu ve aşırı soğutma suyu tanklarının içinde 1kW güç sahip birer tane ısıtıcı bulunmaktadır. Tanklar içindeki su sıcaklıkları, RTD (Elektriksel Direnç Termometresi) tipi sıcaklık ölçüm elemanları ile sürekli olarak tespit edilmektedir. Yoğuşturucuda ihtiyaç duyulan su sıcaklığı nispetinde ayarlanan, yoğuşturucu suyu şartlandırma tankı içindeki su sıcaklığı sağlamak üzere, RTD ile ölçülen sıcaklık değerleri doğrultusunda, kontrol sistemi aracılığıyla ısıtıcı oransal olarak çalıştırılmaktadır. RTD'lerden alınan sıcaklık verileri kontrol programı aracılığıyla istenen (ayarlanan, set edilen) sıcaklıkla karşılaşırılmakta ve uygun bir çıkış sinyaline dönüştürülerek ısıtıcı kapasitesi oransal olarak kontrol edilmektedir. RTD sıcaklık verileri doğrultusunda ısıtıcı gücünün kontrolü PID kontrol ile sağlanmaktadır ve bu kontrol gerçekleştirilirken PLC (Programlanabilir Denetleyici) kullanılmaktadır. Tank sıcaklığı verileri ve istenen sıcaklık değeri doğrultusunda alınan çıkış sinyalleri, her iki tank için elektrik panosunda bulunan rölelere kumanda etmekte ve röleler de programlanabilir denetleyiciye (PLC), PID kontrolü için girdi teşkil edecek çıkışlar vermektedir. Kontrol denetleyicisi olarak PLC (Programmable Logic Controller – Programlanabilir Denetleyici) kullanmak, her eleman için ayrı bir PID cihazı kullanılma sakıncasını ortadan kaldırıracak ve kontrol tehzizatının daha kolay denetlenebilir olmasını sağlayacaktır.

Programlanabilir denetleyici, ilgili sistemin kontrolü ile alakalı bir dizi görevin gerçekleştirilemesi amacıyla, kullanıcı tarafından programlanabilen bir kontrol cihazıdır. PLC'de gerçekleştirilecek kontrol ile ilgili bu bir dizi görev, programlanabilir denetleyici tarafından alınan giriş sinyalleri tarafından ya da zaman gecikmesi gibi geciktirilmiş etkiler yoluyla başlatılır. Bir kontrol olayı PLC tarafından tetiklendiğinde, kontrol parametreleri sisteme on/off elektronik kontrol ya da sistemdeki ilgili cihazların uyarılması şeklinde yansır. [17]

Düzenleme, geri besleme kontrolü ve benzer fonksiyonlar gibi sürekli işlemlerin gerçekleştirilemesinde PLC'nin kapasitesini artıran bir takım özel fonksiyonlar da PLC'de uygulanabilir. Programlanabilir denetleyicilerde bu amaçla PID (Doğrusal–Integral–Türevsel Etki) kontrolü, uygun kontrol sistemlerinde sıkılıkla tercih edilen bir kontrol yöntemidir [18]. Kurulan deney düzeneğinde, su şartlandırma tanklarında bulunan RTD'lerden alınan sıcaklık verileri doğrultusunda ısıtıcı kapasitelerinin ayarlanması, Mitsubishi FX-2N programlanabilir denetleyicide PID kontrolü

uygulanarak gerçekleştirilmektedir. Şekil 5.11'de bu denetleyicinin bir fotoğrafı görülmektedir.

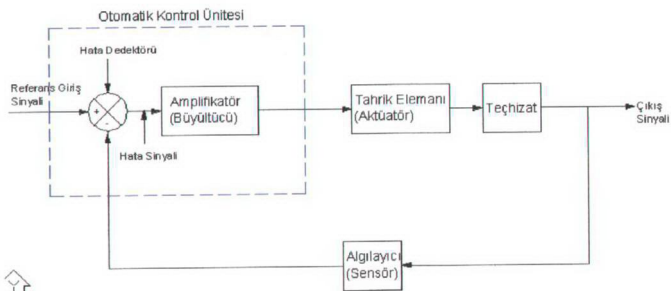


Şekil 5.11 Mitsubishi FX-2N Programlanabilir Denetleyici (PLC)

Bütün kontrol sistemleri, Şekil 5.12'de verilen blok diyagramında görüldüğü gibi, kontrol edilen sistemde bulunan bir ölçüm elemanından ya da sensörden alınan verinin istenen referans değeri ile karşılaştırılması ve ortaya çıkan hata sinyalinin büyütülerek düzeltilmesi esasına dayanır. Bu kontrol işleminin gerçekleştirilmesi, referans değerinin sağlanması doğrultusunda açma-kapama şeklinde iki pozisyonlu olarak gerçekleştirilebildiği gibi, döngüsel kayıpların irdelenmesine yönelik kurulan deney düzeneğinde olduğu gibi çoğu zaman oransal bir kontrole de ihtiyaç duyulabilir. Kontrol işlemi, giriş sinyaline cevabın teşkil ettiği transfer fonksiyonunun yapısı itibarı ile doğrusal, integral ve türevsel etkilerin tek başına ya da birbirlerinin kombinasyonu şeklinde uygulanmasıyla gerçekleştirilir.

$e(t)$ referans değer ile ilgili ölçüm elemanından ölçülen değer arasındaki hata ile tanımlanan, amplifikatöre giriş sinyali, $u(t)$ kontrol sisteminden alınan çıkış sinyali ve $U(s)$ ile $E(s)$ söz konusu sinyallerin Laplace dönüşümü ile ifade edilen fonksiyonel tanımları olmak üzere, bir kontrol sisteminin transfer fonksiyonu; $G(s) = \frac{U(s)}{E(s)}$

şeklinde ifade edilir. Buradaki K_p , doğrusal etki katsayısı ya da doğrusal kazanç (proportional gain) olarak tanımlanabilir. Gerçek mekanizma ve gerçek mekanizmanın çalışmasındaki etken güç ne olursa olsun, doğrusal kontrol elemanı ayarlanabilir oranda bir büyütücü (amplifikatör) vazifesi görecektir. [19]



Şekil 5.12 Bir endüstriyel kontrol sisteminin blok diyagramı

Bir kontrol sistemindeki integral etki (integral control action), çıkış sinyalinin zamanla değişim oranı ile giriş sinyali arasındaki, $\frac{du(t)}{dt} = K_i \cdot e(t)$ bağıntısı ile ifade edilir.

Burada K_i integral sabiti olup doğrusal kazanca bağlı olarak, $K_i = \frac{K_p}{T_i}$ bağıntısı ile ifade edilir. T_i integral zaman sabittidir. Buna göre [19]:

$$u(t) = K_i \cdot \int_0^t e(t) dt \Rightarrow \frac{U(s)}{E(s)} = \frac{K_i}{s} \quad (5.3)$$

Giriş sinyali $e(t)$ 'nin değeri iki katına çıktılığında, çıkış sinyali fonksiyonu $u(t)$ de iki kat daha hızlı bir değişim gösterecektir. Kontrol hata sinyali, yani amplifikatör giriş sinyali sıfırlandığında, çıkış sinyali $u(t)$ sabitlenecektir.

Doğrusal ve integral etkilerin birlikte uygulandığı sistemlerde; integral zamanı T_i 'nın değişimi yalnız integral kontrol etkilerken, doğrusal kazanç K_p 'nın değişimi kontrol sisteminin hem doğrusal hem de integral kısmını etkileyecektir. Sıfırlama oranı (reset rate) $1/T_i$, kontrolün doğrusal cevabının iki katına çıktığu dakikadaki tekrarlanma sayısıdır. [19]

- **PID (Doğrusal-Integral-Türevsel) Kontrolü ve Uygulanması**

Doğrusal, türevsel ve integral etkilerin birlikte uygulandığı PID kontrollü sistemlerde çıkış sinyali fonksiyonunun giriş sinyaline bağlı ifadesi (5.4) ve üç kontrol parametresinin birleşik etkisinin görülebileceği PID kontrollü sistemin transfer fonksiyonu (5.5):

$$u(t) = K_p \cdot e(t) + \frac{K_p}{T_i} \int_0^t e(t) dt + K_p \cdot T_d \cdot \frac{de(t)}{dt} \quad (5.4)$$

$$\Rightarrow \frac{U(s)}{E(s)} = K_p \left(I + \frac{1}{T_i \cdot s} + T_d \cdot s \right) \quad (5.5)$$

Transfer fonksiyonunda “1/s” integrasyon etkisi (integrator) olmayan doğrusal kontrollü bir sistemin basamak giriş sinyaline cevabında bir sabit hata (steady-state error) ya da kayma (offset) olacaktır. Kontrol elemanına integral kontrol etkisi eklendiği taktirde, bu kayma hatası elimine edilebilecektir. Integral kontrol etkisi kayma hatasını ortadan kaldırırken, yavaşça azalan ya da artan büyülüklerde salınımlı bir çıkış sinyali alınmasına neden olabilir ve bu salınımların ortaya çıkması sistemin hassasiyetini kötüleştirdiğinden istenmeyen bir durumdur. [19]

Doğrusal bir kontrol elemanına türevsel etkinin ilave edilmesi, kontrol elemanın hassasiyetini iyileştirecektir. Türevsel kontrol, giriş sinyalinin değişimi ile orantılı bir çıkış verdiginden, giriş sinyalinin büyülüğu çok fazla artmadan kayda değer bir düzeltme sağlanabilecektir. Türevsel kontrol; giriş sinyalini önceden kestirir (öngörür), erken bir düzeltme etkisi gösterir ve sistemin kararlılığının artmasını sağlar. Türevsel kontrol, sabit hatayı (kararlı-durum hatasını) doğrudan etkilemese de sisteme sıçrama kazandırarak daha büyük değerde bir statik kazanç “K” kullanımına imkan verir. Bu da kararlı durumda doğruluğun geliştirilmesini sağlar. Türevsel kontrol, doğrudan giriş sinyalinin kendisi ile değil, değişim oranı ile çalıştığından, tek başına kullanılamaz. PD ya da PID şeklinde uygulanabilir. [19]

- *PID Kontrol Parametrelerinin Tespiti ve Ziegler-Nichols Yöntemi* [19]

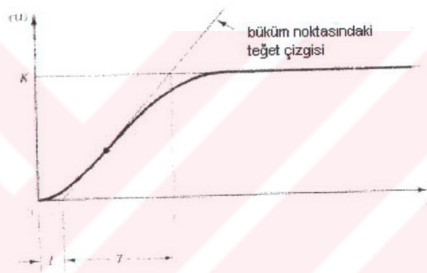
Sistemin matematiksel modeli tespit edilebildiği taktirde, geri beslemeli kapalı bir sistemin geçici ve kararlı rejim koşullarındaki kontrol parametrelerini tespit etmek amacıyla çeşitli teknikler uygulanabilir. Eğer sistem matematiksel modeli oluşturulamayacak kadar karmaşıksa, PID kontrol elemanın tasarılanmasında analitik yaklaşım mümkün olmayacağından, PID kontrol parametrelerinin tespiti için deneyel yaklaşım uygulanmalıdır. Kurulan deney tesisatında, ısıticı kapasitelerinin ayarlanması yönelik uygulanan PID kontrolün kontrol parametrelerinin tespitinde de deneyel yaklaşımından faydalانılmıştır.

PID kontrol parametreleri; K_p doğrusal kazanç, T_i integral zaman sabiti ve T_d türevsel etki zaman sabiti olup, kurulan deney tesisatında bu parametrelerin tespiti

icin Ziegler-Nichols Yöntemi kullanılmıştır. Ziegler ve Nichols, kontrol parametrelerinin tespitine yönelik, deneysel basamak cevabına dayanan ya da yalnız doğrusal kontrol etkisi kullanıldığından marginal kararlılıkla sonuçlanan K_p değerine bağlı kurallar ortaya koymuşlardır. Ziegler-Nichols Yöntemi, sistemin matematiksel modelinin bilinmediği durumlarda çok işlevseldir.

Ziegler ve Nichols'un geliştirdiği iki yöntem vardır. Her iki yöntemde de basamak cevabında en çok %25 aşma hedeflenir.

1.Yöntem: Deneysel olarak sistemin birim-basamak girişine cevabı elde edilir. Sistemde integral ya da türevsel etki yoksa, birim-basamak giriş cevabı eğrisinin Şekil 3.23'de görüldüğü gibi "S" şeklinde olması beklenir.



Şekil 5.13 "S" Şeklindeki Birim-Basamak Giriş Cevabı [19]

"K" doğrusal statik kazanç, "L" gecikme zamanı ve "T" zaman sabiti olmak üzere, söz konusu sistemin transfer fonksiyonu Denklem 5.6'da verildiği gibi olur.

$$\frac{C(s)}{U(s)} = \frac{K \cdot e^{-L \cdot s}}{T \cdot s + I} \quad (5.6)$$

Sistemin basamak giriş cevabı esasına dayanan 1.yöntemde Ziegler ve Nichols, K_p , T_i ve T_d değerlerini Tablo 5.3'te verilen formülasyon doğrultusunda tespit etme yoluna gitmişlerdir.

Tablo 5.3 PID Kontrol Parametrelerinin Basamak Giriş Cevabı Esasına Dayalı Tespiti

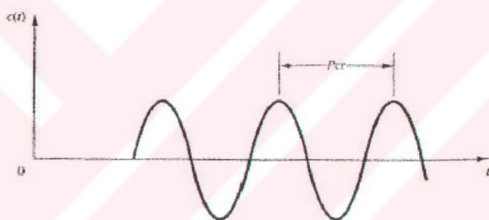
Kontrol Cinsi	K_p	T_i	T_d
P	T/L	∞	0
PI	$0,9 (T/L)$	$L/0,3$	0
PID	$1,2 (T/L)$	$2L$	$0,5L$

Ziegler-Nichols 1.Yöntemin uygulanması sonucu elde edilecek PID transfer fonksiyonu:

$$G_c(s) = K_p \left(1 + \frac{I}{T_i \cdot s} + T_d \cdot s \right) = 1,2 \frac{T}{L} \left(1 + \frac{I}{2 \cdot L \cdot s} + 0,5 \cdot L \cdot s \right)$$

$$\Rightarrow G_c(s) = 0,6 \cdot T \frac{(s + 1/L)^2}{s} \quad (5.7)$$

2.Yöntem: Başlangıçta yalnız kontrol etkisi kullanılarak K_p , sıfır değerinden çıkış sinyalinin aynı seviyelerde salınmaya başladığı K_{cr} kritik değerine kadar artırılır. Aynı seviyelerde salınım sergilenmemiyorsa bu yöntemin kullanılması uygun olmayacağıdır. K_{cr} kritik kazanç değeri seviyelerinde P_{cr} peryodu ile salınan sistem cevabının görünümü Şekil 5.14'te verilmektedir. Kritik kazanç ve kritik periyod esasına dayalı Ziegler-Nichols 2.Yöntemin formülasyonu da Tablo 5.4'te görülmektedir.



Şekil 5.14 K_{cr} Kritik Kazanç Değeri Seviyelerinde P_{cr} Periyoduyla Salınan Sistem Cevabı

Tablo 5.4 PID Kontrol Parametrelerinin K_{cr} ve P_{cr} Esasına Dayalı Tespitİ

Kontrol Cinsi	K_p	T_i	T_d
P	$0,5 K_{cr}$	∞	0
PI	$0,45 K_{cr}$	$P_{cr} / 1,2$	0
PID	$0,6 K_{cr}$	$0,5 P_{cr}$	$0,125 P_{cr}$

Ziegler-Nichols 2. Yöntemin uygulanması sonucu elde edilecek PID transfer fonksiyonu:

$$G_c(s) = K_p \left(1 + \frac{I}{T_i \cdot s} + T_d \cdot s \right)$$

$$= 0,6 K_{cr} \left(1 + \frac{I}{0,5 \cdot P_{cr} \cdot s} + 0,125 \cdot P_{cr} \cdot s \right)$$

$$\Rightarrow G_c(s) = 0,075 \cdot K_{cr} \cdot P_{cr} \frac{(s + 4/P_{cr})^2}{s} \quad (5.8)$$

Kurulan deney düzeneğinde, su şartlandırma tankları içindeki RTD'lerden alınan sıcaklık verileri doğrultusunda, belirlenen bir referans değer elde edilmek üzere tanklar içindeki ısıticiların kapasitesi, programlanabilir denetleyici vasıtasyla PID kontrolü uygulanarak gerçekleştirilmektedir. PID kontrol parametrelerinin tespiti aşamasında yalnız doğrusal etki uygulandığında, ısıtıcı cevabının "S" şeklini alması, kontrol etkisini ileten araç su olduğundan, uzun zaman almakta ya da kararlı olarak "S" şeklinde bir cevap eğrisi alınamamaktadır. Bu nedenle ısıticiların PID kontrol parametrelerinin tespitinde Ziegler-Nichols'un ikinci yöntemi uygulanmış ve K_{cr} ile P_{cr} değerleri tespit edildikten sonra kontrol parametrelerinin tespiti yoluna gidilmiştir. Kritik doğrusal kazanç ve bu kritik değerin elde edildiği süreçteki kritik salınım periyodu değerleri; $K_{cr} = 2000$ ve $P_{cr}=400s$ olarak tespit edilmiştir. Buna göre PID kontrol parametrelerinin değerleri:

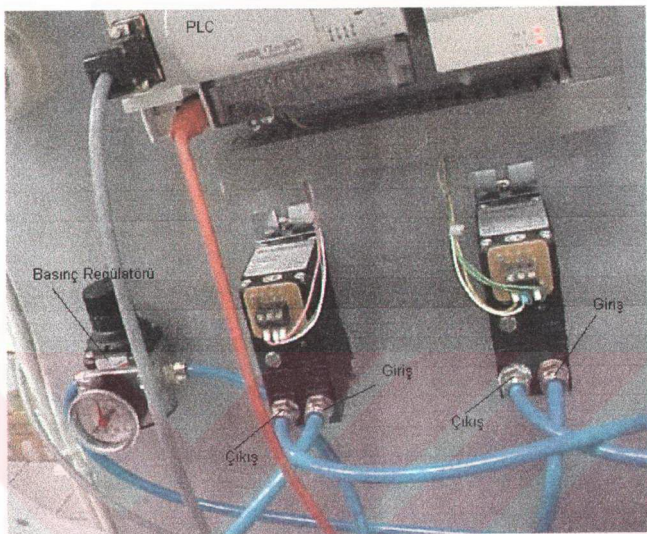
$$K_p = 1200 \text{ (doğrusal etki sabiti)} ; T_i = 200s \text{ (integral zaman sabiti)} ; T_d = 50s$$

- *Sistemde Dolaşan Su Debisinin Kontrolü*

Kurulan deney düzeneğinde, ısıtıcı bulunan su şartlandırma tanklarındaki su sıcaklıklarının şartlandırılması ile birlikte yoğuşma ve aşırı soğutma suyu debileri de pnömatik kontrollü akış kontrol valfleri ile sağlanmaktadır. Yoğuşma suyu ve aşırı soğutma suyu hatları üzerindeki akış kontrol valfleri, istenen yoğuşma ve aşırı soğutma koşullarına göre, elektro-pnömatik transduserler vasıtasyla ayarlanmaktadır.

Elektro-pnömatik transduserler 4-20mA aralığında analog giriş ile çalışmakta olup, bu aralıktaki giriş sinyali PLC tarafından 0-1000V dijital giriş sinyalinin 4-20mA analog çıkış vererek elektro-pnömatik transdusere aktarılması ile sağlanmaktadır. Elektro-pnömatik transduserler, 20-120psi basınç aralığında pnömatik besleme almakta ve 3-15psi aralığında pnömatik çıkış vermektedirler. Söz konusu basınç transduserinden alınan veri doğrultusunda 4-20mA aralığında giriş sinyali alan elektro-pnömatik transduser, istenen basınç değeri sağlanacak şekilde 3-15psi aralığında bir çıkış üretecek bu çıkış basıncını pnömatik olarak ilgili akış kontrol valfine göndermekte ve böylece, istenen yoğuşma basıncı doğrultusunda akış kontrol valfinden geçen su debisi pnömatik olarak ayarlanmaktadır. Elektro-pnömatik transduserlerin besleme aralığının dışında bir hava basıncına maruz kalmalarını önlemek için transduser girişlerinden önce hava basıncının ayarlandığı bir hava basınç regülörü kullanılmaktadır. Yoğuşma ve aşırı soğutma suyu hatları üzerindeki pnömatik kontrollü akış kontrol valflerine kumanda eden iki adet elektro-

pnoimatik transduser ve bunların PLC ve basınç regülatörü ile bağlantıları Şekil 5.15'te görülmektedir.



Şekil 5.15 Elektro-pnoimatik transduserler ve basınç regülatörü

5.2 Toplam Döngü Süresinin Soğutkan Göçüne Etkisinin İrdelenmesi

5.2.1 Deneylerin Yapılışı

Deneylere başlamadan önce gerçekleştirilen sürekli çalışma ön deneylerinde, farklı şarj miktarlarında buharlaştırıcıının doluluğu gözlenmiştir. 85gr R600a kullanılması durumunda, buharlaştırıcı paslarındaki ıslanma oranı uygun görülmüş ve deneylerde 85gr şarj miktarı uygulanmıştır.

Toplam 22 geçmişten oluşan yoğunurucu, birbirleriyle farklı kombinasyonlar oluşturabilecek şekilde, 10, 7, 3 ve 2 geçişlik dört ayrı parça halinde tasarılmıştır. Su şartlandırma hattındaki su giriş-çıkış sıcaklıklarını ve yoğunuma basıncı nispetinde su debisi ayarlanarak, çok parçalı olarak tasarlanan yoğunurucunun farklı boyut kombinasyonlarında yoğunuma geçiş oranı kontrol edilebilmektedir.

Belirli bir yoğunuma sıcaklığı ve basıncı için yoğuneturucuda ihtiyaç duyulan su sıcaklığı ayarlanabilmektedir. Yoğuneturucu suyu şartlandırma tankı içindeki su sıcaklığı sağlamak üzere, tank içinde bulunan RTD ile ölçülen sıcaklık değerleri doğrultusunda, PID kontrol aracılığıyla aynı tankın içindeki ısıtıcı oransal olarak çalıştırılmaktadır. Aşırı soğutma suyu şartlandırma hattı üzerinde de ilgili sıcaklıklar aynı şekilde kontrol edilebilmektedir. Bu iki hat üzerindeki su debileri de ayrı birer pnömatik akış kontrol valfi aracılığı ile yoğuneturucu basıncı nispetinde ayarlanabilmektedir. Böylece, su sıcaklığı ve debisinin kontrolü ile yoğuneturucuda sabit yoğunuma koşulları elde edilebilmektedir.

Toplam döngü süresinin soğutkan göçüne olan etkisinin irdelediği deneylerde, 22 geçişli boyut kombinasyonu kullanılmış ve yoğuneturucunun 22 geçişinde yoğunuma sağlanırken, sonraki 3 geçişli kısımda da yaklaşık 5°C aşırı soğutma gerçekleştirılmıştır. Su şartlandırma tanklarındaki su sıcaklıkları ve akış kontrol valflerinin açıklıkları, yoğuneturucuda sabit ~4bar basınçta yoğunuma sağlamak üzere ayarlanmıştır.

Kompresörün çalışma ve durma süreleri, programlanabilir denetleyici (PLC) aracılığıyla zamanlanmaktadır. Deneylerde; -20°C en sıcak raf sıcaklığından çok uzak kalınmayacak şekilde %60RT çalışma süresi oranı sabit tutulmuş ve 30dk, 50dk ve 70dk toplam döngü süreleri için üç grup deney gerçekleştirilmiştir. Her döngü süresi için, soğutkan göçünün engellendiği ve engellenmediği durumlar deneysel olarak değerlendirilmiştir ve üç farklı döngü süresi ve dolayısıyla döngü frekansı için soğutkan göçünün etkisi ortaya konmaya çalışılmıştır. Gerçekleştirilen toplam 6 grup deney aşağıda tanımlanmıştır:

Deney(18-12): PLC zamanlamasıyla kompresör 18 dakika çalıştırılıp 12 dakika durdurularak, 30 dakikalık toplam döngü süresinde %60RT sağlanmıştır. Soğutkan göçü engellenmiştir. Yoğunuma suyu şartlandırma tankı sıcaklığı 28°C , aşırı soğutma suyu şartlandırma tankı sıcaklığı 25°C değerlerinde sabit tutulmaktadır. Yoğunuma suyu hattındaki akış kontrol valfi %35, aşırı soğutma suyu hattındaki akış kontrol valfi %60 açıklığa ayarlanarak, yoğuneturucuda ~18L/h su debisi sağlanmıştır.

Deney(18-12)_2 PLC zamanlamasıyla kompresör 18 dakika çalıştırılıp 12 dakika durdurularak, 30 dakikalık toplam döngü süresinde %60RT sağlanmıştır. Soğutkan göçüne izin verilmiştir. Yoğunuma suyu şartlandırma tankı sıcaklığı 28°C , aşırı soğutma suyu şartlandırma tankı sıcaklığı 25°C değerlerinde sabit tutulmaktadır. Yoğunuma suyu hattındaki akış kontrol valfi %35, aşırı soğutma suyu hattındaki akış

kontrol valfi %60 açılığa ayarlanarak, yoğunşturucuda ~17L/h su debisi sağlanmıştır.

Deney(30-20): PLC zamanlamasıyla kompresör 30 dakika çalıştırılmış 20 dakika durdurularak, 50 dakikalık toplam döngü süresinde %60RT sağlanmıştır. Soğutkan göçü engellenmiştir. Yoğunuma suyu şartlandırma tankı sıcaklığı 28°C, aşırı soğutma suyu şartlandırma tankı sıcaklığı 25°C değerlerinde sabit tutulmaktadır. Yoğunuma suyu hattındaki akış kontrol valfi %35, aşırı soğutma suyu hattındaki akış kontrol valfi %60 açılığa ayarlanarak, yoğunşturucuda ~18L/h su debisi sağlanmıştır.

Deney(30-20)_2: PLC zamanlamasıyla kompresör 30 dakika çalıştırılmış 20 dakika durdurularak, 50 dakikalık toplam döngü süresinde %60RT sağlanmıştır. Soğutkan göçüne izin verilmiştir. Yoğunuma suyu şartlandırma tankı sıcaklığı 28°C, aşırı soğutma suyu şartlandırma tankı sıcaklığı 25°C değerlerinde sabit tutulmaktadır. Yoğunuma suyu hattındaki akış kontrol valfi %35, aşırı soğutma suyu hattındaki akış kontrol valfi %60 açılığa ayarlanarak, yoğunşturucuda ~17L/h su debisi sağlanmıştır.

Deney(42-28): PLC zamanlamasıyla kompresör 42 dakika çalıştırılmış 28 dakika durdurularak, 70 dakikalık toplam döngü süresinde %60RT sağlanmıştır. Soğutkan göçü engellenmiştir. Yoğunuma suyu şartlandırma tankı sıcaklığı 28°C, aşırı soğutma suyu şartlandırma tankı sıcaklığı 25°C değerlerinde sabit tutulmaktadır. Yoğunuma suyu hattındaki akış kontrol valfi %35, aşırı soğutma suyu hattındaki akış kontrol valfi %60 açılığa ayarlanarak, yoğunşturucuda ~17L/h su debisi sağlanmıştır.

Deney(42-28)_2: PLC zamanlamasıyla kompresör 42 dakika çalıştırılmış 28 dakika durdurularak, 70 dakikalık toplam döngü süresinde %60RT sağlanmıştır. Soğutkan göçüne izin verilmiştir. Yoğunuma suyu şartlandırma tankı sıcaklığı 28°C, aşırı soğutma suyu şartlandırma tankı sıcaklığı 25°C değerlerinde sabit tutulmaktadır. Yoğunuma suyu hattındaki akış kontrol valfi %35, aşırı soğutma suyu hattındaki akış kontrol valfi %60 açılığa ayarlanarak, yoğunşturucuda ~17L/h su debisi sağlanmıştır.

5.2.2 Deney Sonuçlarının Analizi

Rejim halindeki 3 döngünün çalışma periyodlarında ölçülen değerlerin ortalaması alınarak elde edilen ölçüm sonuçları Tablo 5.5'te topluca verilmektedir. Tablo 5.6'da Tablo 5.5'te verilen değerlerin ölçüm belirsizlikleri özetlenmektedir.

Tablo 5.5 Toplam çalışma süresi deneylerinde alınan ölçüm değerleri

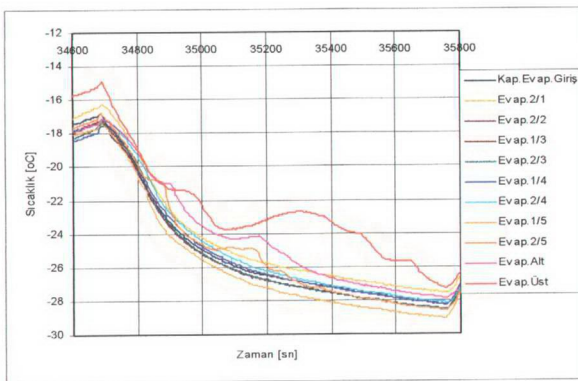
		Deney (18-12)	Deney (18-12)_2	Deney (30-20)	Deney (30-20)_2	Deney (42-28)	Deney (42-28)_2
Kap.Evap.Giriş_TC	[oC]	-25,34	-25,78	-26,32	-26,12	-27,13	-27,13
Evap.1/1_TC	[oC]	-24,62	-24,68	-25,33	-25,36	-25,93	-26,18
Evap.2/1_TC	[oC]	-24,60	-24,48	-25,11	-25,18	-25,63	-25,92
Evap.1/2_TC	[oC]	-25,43	-25,06	-26,15	-26,23	-26,25	-26,54
Evap.2/2_TC	[oC]	-25,58	-25,17	-26,21	-26,25	-26,43	-26,74
Evap.1/3_TC	[oC]	-25,61	-25,17	-26,19	-26,25	-26,44	-26,81
Evap.2/3_TC	[oC]	-25,60	-25,18	-26,23	-26,28	-26,43	-26,73
Evap.1/4_TC	[oC]	-25,28	-24,89	-25,92	-25,89	-26,14	-26,40
Evap.2/4_TC	[oC]	-25,02	-24,61	-25,73	-24,96	-25,87	-25,79
Evap.1/5_TC	[oC]	-25,94	-25,58	-26,63	-24,78	-26,64	-26,24
Evap.2/5_TC	[oC]	-24,59	-22,83	-24,75	-22,56	-25,12	-24,85
Evap.Alt_TC	[oC]	-23,69	-21,72	-23,83	-21,40	-24,26	-23,90
Evap.Ust_TC	[oC]	-22,13	-19,76	-22,33	-19,44	-23,11	-22,45
Evap.Cıkış_TC	[oC]	4,32	4,06	5,72	5,66	4,26	5,81
Frz-1.Raf_TC	[oC]	-19,97	-19,56	-20,07	-19,67	-19,88	-19,86
Frz-2.Raf_TC	[oC]	-21,11	-20,67	-21,05	-20,76	-20,89	-21,02
Frz-3.Raf_TC	[oC]	-21,80	-21,28	-21,68	-21,35	-21,56	-21,60
Frz-4.Raf_TC	[oC]	-21,78	-21,33	-21,72	-21,22	-21,61	-21,55
Frz-5.Raf_TC	[oC]	-20,50	-20,21	-20,60	-21,17	-20,45	-20,49
OrtamSağ_TC	[oC]	24,95	25,12	24,72	24,68	25,24	24,78
OrtamSol_TC	[oC]	25,81	25,95	25,63	25,57	26,20	25,58
Komp.Emme_RTD	[oC]	26,78	16,29	26,12	19,49	25,69	21,08
Kond.AnаГiriş_RTD	[oC]	35,91	36,01	36,02	35,76	36,75	36,10
Kond.10PasÇıkış_Tc	[oC]	29,50	29,93	29,16	29,95	29,18	29,17
Kond.7PasÇıkış_TC	[oC]	29,37	29,80	29,07	29,84	29,04	29,06
Kond.3PasÇıkış_TC	[oC]	29,23	29,65	29,00	29,67	28,95	28,96
Kond.2PasÇıkış_TC	[oC]	29,15	29,53	28,97	29,56	28,91	28,92
Sub-CoolÇıkış_TC	[oC]	24,42	24,35	24,53	24,18	24,53	24,42
Kond.Çıkış_RTD	[oC]	26,22	26,13	26,04	25,78	26,20	25,96
Komp.Basma_RTD	[oC]	48,25	48,04	48,56	48,14	49,38	48,47
Komp.Kafa_TC	[oC]	51,88	51,93	52,53	52,35	53,72	52,81
BSV-Giriş_TC	[oC]	26,36	26,52	26,04	26,13	26,33	26,14
Kapileri Giriş_TC	[oC]	26,08	26,30	25,80	25,96	26,05	25,89
Evap.Giriş_BT	[bar]	0,527	0,535	0,512	0,509	0,508	0,500
Komp.Emme_BT	[bar]	0,326	0,329	0,313	0,312	0,309	0,304
Kond.Giriş_BT	[bar]	4,041	4,088	3,995	4,086	3,994	3,989
Kond.Çıkış_BT	[bar]	3,914	3,955	3,873	3,962	3,877	3,872
Komp.Basma_BT	[bar]	4,083	4,131	4,039	4,133	4,035	4,036
Soğutkan Debisı	[kg/h]	1,034	1,030	1,050	1,024	0,930	1,035
Kond.SuTankı_RTD	[oC]	28,01	28,01	28,00	28,00	28,00	28,00
SC-SuTankı_RTD	[oC]	25,02	25,00	25,01	25,01	25,01	25,01
SC-SuÇıkış_TC	[oC]	24,13	24,15	24,15	24,07	24,22	24,19
SC-SuGiriş_TC	[oC]	24,33	24,40	24,24	24,25	24,39	24,29
Kond.SuGiriş_TC	[oC]	28,32	28,48	28,21	28,33	28,35	28,28
Kond.SuÇıkış_TC	[oC]	29,68	30,07	29,39	30,06	29,44	29,39
Güç	[W]	89,80	90,45	87,97	87,94	90,70	86,93

Tablo 5.6 Ölçüm Belirsizlikleri

		Belirsizlik
Termokupl(TC) Ölçümleri	[oC]	$\pm 0,20$
Komp.Emme_RTD	[oC]	$\pm 0,16$
Kond.Giriş_RTD	[oC]	$\pm 0,20$
Kond.Çıkış_RTD	[oC]	$\pm 0,26$
Komp.Basma_RTD	[oC]	$\pm 0,20$
Kond.SuTankı_RTD	[oC]	$\pm 0,33$
SC-SuTankı_RTD	[oC]	$\pm 0,17$
Evap.Giriş_BT	[bar]	$\pm 0,045$
Komp.Emme_BT	[bar]	$\pm 0,075$
Kond.Giriş_BT	[bar]	$\pm 0,038$
Kond.Çıkış_BT	[bar]	$\pm 0,041$
Komp.Basma_BT	[bar]	$\pm 0,046$
Soğutkan Debisi	%	$\pm 0,25$
Güç	%	$\pm 0,35$
Enerji	%	$\pm 0,35$

Buharlaştırıcı yüzeylerinden alınan sıcaklıklara bakıldığında, çalışma periyodu esnasında şarjin dağıtılması açısından, altı deneye de benzer davranış sergilendiği görülmektedir. Buharlaştırıcı basınçlarındaki doyma sıcaklıklar ile karşılaşıldığında, ölçüm belirsizlikleri de hesaba katılmak suretiyle, bütün deneylerde buharlaştırıcının en alt rafındaki son birkaç geçişin (pasın) bir miktar kuru kaldığı gözlenmektedir. Buharlaştırıcındaki şarj dağıtımını göstermek amacıyla, "deney_(18-12)"de elde edilen çalışma periyodu esnasındaki buharlaştırıcı sıcaklıklarının zamanla değişimi Şekil 5.16'da verilmektedir. Ölçüm sonuçlarının verildiği tabloda Evap.X/Y şeklindeki ifadelerde; Y ölçüm alınan buharlaştırıcı rafını, X ise söz konusu buharlaştırıcı rafi üzerinden alınan ölçümün buharlaştırıcı boruları üzerindeki hangi noktadan alındığını ifade etmektedir ("1" raf girişine yakın nokta, "2" raf çıkışına yakın nokta). Örneğin; "Evap.2/3", alınan sıcaklık ölçümünün yukarıdan 3. buharlaştırıcı rafı üzerindeki çıkışa yakın noktadan alındığını ifade etmektedir.

Buharlaştırıcındaki şarj dağılımı benzer karakter gösterse de, buharlaştırıcı sıcaklıklarının, basınca bağlı olarak deneyler arasında kayma gösterdiği görülmektedir. Buharlaştırıcı sıcaklıklarındaki bu fark, kabin içi sıcaklıklarına da yansımaktadır. Tablo 10'da verilen sırayla, 6 deneye ortaya çıkan ortalama kabin içi sıcaklıkları; (-21,03°C), (-20,61°C), (-21,02°C), (-20,63°C), (-20,88°C), (-20,90°C) olmaktadır. Ancak; deneyler arasındaki karşılaştırma soğutma etkenlik katsayıları (COP) değerleri üzerinden yapıldığından, kabin içi ortalama sıcaklığı ve ortalama ortam sıcaklığının birleşik etkisinden oluşan kabin içi ısı kazancı, kompresör gücü ile birlikte değerlendirilmiş olmakta ve buharlaştırıcı, kabin içi ya da ortam sıcaklıklar arasındaki küçük farklar, değerlendirme açısından önemini yitirmektedir.



Şekil 5.16 Buharlaştırcı sıcaklıklarının çalışma periyodu süresince değişimi

5.2.2.1 Yoğunluk Cihazında Gerçekleşen Faz Değişim Süreci

Yoğunluk cihazı giriş ile kılıçal genişleme borusu girişleri arasındaki yüksek basınç hattı üzerindeki faz değişimi, 6 grup deney için Tablo 5.7 ile Tablo 5.12 arasında verilmiştir. Yapılan ölçümler neticesinde, yoğunluk cihazının bir pasındaki basınç düşümü 0,005 bar olarak tespit edilmiştir. Alınan kondenser giriş ve çıkış basınçları ile birlikte tablolarda verilen ara basınç değerleri, 0,005 bar/pas kabulüyle yazılmıştır. Kondenser çıkışı ile bi-stable valf (BSV) girişleri arasındaki basınç düşümü 0,05 bar, BSV'deki basınç düşümü de 0,05 bar olarak alınmıştır.

Tablo 5.7 "Deney(18-12)" Yoğunluk Hattı Üzerindeki Faz Değişimi

Deney(18-12)	Basınç [bar]	DoymaSic.[oC]	Sıcaklık [oC]	FazDurumu
KondenserGiriş	4,041±0,038	29,98±0,35	35,91±0,20	5,93±0,40 kızgınlık
10PasÇıkış	3,991±0,038	29,54±0,35	29,50±0,20	yoğunlaşma
7PasÇıkış	3,956±0,038	29,23±0,35	29,37±0,20	yoğunlaşma
3PasÇıkış	3,941±0,038	29,09±0,35	29,23±0,20	yoğunlaşma
2PasÇıkış	3,931±0,038	29,00±0,35	29,15±0,20	yoğunlaşma
Kond.+SC_Çıkış	3,914±0,041	28,85±0,35	25,32±0,33	3,53±0,48 SC
KapileriGiriş	3,814±0,041	27,94±0,35	26,08±0,33	1,86±0,48 SC

Tablo 5.8 "Deney(18-12)_2" Yoğuşma Hattı Üzerindeki Faz Değişimi

<i>Deney(18-12)_2</i>	Basınç [bar]	DoymaSic.[oC]	Sıcaklık [oC]	FazDurumu
KondenserGiriş	4,088±0,038	30,39±0,35	36,01±0,20	5,62±0,40 kızgın
10PasÇıkış	4,038±0,038	29,95±0,35	29,93±0,20	yoğuşma
7PasÇıkış	4,003±0,038	29,65±0,35	29,80±0,20	yoğuşma
3PasÇıkış	3,988±0,038	29,51±0,35	29,65±0,20	yoğuşma
2PasÇıkış	3,978±0,038	29,42±0,35	29,53±0,20	yoğuşma
Kond.+SC_Çıkış	3,955±0,041	29,22±0,35	25,24±0,33	3,98±0,48 SC
KapileriGiriş	3,855±0,041	28,32±0,35	26,30±0,33	2,02±0,48 SC

Tablo 5.9 "Deney(30-20)" Yoğuşma Hattı Üzerindeki Faz Değişimi

<i>Deney(30-20)</i>	Basınç [bar]	DoymaSic.[oC]	Sıcaklık [oC]	FazDurumu
KondenserGiriş	3,995±0,038	29,57±0,35	36,02±0,20	6,45±0,40 kızgın
10PasÇıkış	3,945±0,038	29,13±0,35	29,16±0,20	yoğuşma
7PasÇıkış	3,910±0,038	28,82±0,35	29,07±0,20	yoğuşma
3PasÇıkış	3,895±0,038	28,68±0,35	29,00±0,20	yoğuşma
2PasÇıkış	3,885±0,038	28,59±0,35	28,97±0,20	yoğuşma
Kond.+SC_Çıkış	3,873±0,041	28,48±0,35	25,28±0,33	3,20±0,48 SC
KapileriGiriş	3,773±0,041	27,57±0,35	25,80±0,33	1,77±0,48 SC

Tablo 5.10 "Deney(30-20)_2" Yoğuşma Hattı Üzerindeki Faz Değişimi

<i>Deney(30-20)_2</i>	Basınç [bar]	DoymaSic.[oC]	Sıcaklık [oC]	FazDurumu
KondenserGiriş	4,086±0,038	30,37±0,35	35,76±0,20	5,39±0,40 kızgın
10PasÇıkış	4,036±0,038	29,94±0,35	29,95±0,20	yoğuşma
7PasÇıkış	4,001±0,038	29,63±0,35	29,84±0,20	yoğuşma
3PasÇıkış	3,986±0,038	29,49±0,35	29,67±0,20	yoğuşma
2PasÇıkış	3,976±0,038	29,41±0,35	29,56±0,20	yoğuşma
Kond.+SC_Çıkış	3,962±0,041	29,28±0,35	24,98±0,33	4,30±0,48 SC
KapileriGiriş	3,862±0,041	28,38±0,35	25,96±0,33	2,42±0,48 SC

Tablo 5.11 "Deney(42-28)" Yoğuşma Hattı Üzerindeki Faz Değişimi

<i>Deney(42-28)</i>	Basınç [bar]	DoymaSic.[oC]	Sıcaklık [oC]	FazDurumu
KondenserGiriş	3,994±0,038	29,57±0,35	36,75±0,20	7,18±0,40 kızgın
10PasÇıkış	3,944±0,038	29,12±0,35	29,18±0,20	yoğuşma
7PasÇıkış	3,909±0,038	28,81±0,35	29,04±0,20	yoğuşma
3PasÇıkış	3,894±0,038	28,67±0,35	28,95±0,20	yoğuşma
2PasÇıkış	3,884±0,038	28,58±0,35	28,91±0,20	yoğuşma
Kond.+SC_Çıkış	3,877±0,041	28,52±0,35	25,36±0,33	3,16±0,48 SC
KapileriGiriş	3,777±0,041	27,60±0,35	26,05±0,33	1,55±0,48 SC

Tablo 5.12 "Deney(42-28)_2" Yoğuşma Hattı Üzerindeki Faz Değişimi

Deney(42-28)_2	Basınç [bar]	DoymaSic.[oC]	Sıcaklık [oC]	FazDurumu
KondenserGiriş	3,989±0,038	29,52±0,35	36,10±0,20	6,58±0,40 kızgın
10PasÇıkış	3,939±0,038	29,08±0,35	29,17±0,20	yoğuşma
7PasÇıkış	3,904±0,038	28,76±0,35	29,06±0,20	yoğuşma
3PasÇıkış	3,889±0,038	28,63±0,35	28,96±0,20	yoğuşma
2PasÇıkış	3,879±0,038	28,54±0,35	28,92±0,20	yoğuşma
Kond.+SC_Çıkış	3,872±0,041	28,47±0,35	25,19±0,33	3,28±0,48 SC
BSV_Giriş	3,822±0,041	28,02±0,35	26,14±0,33	1,88±0,48 SC
KapileriGiriş	3,772±0,041	27,56±0,35	25,89±0,33	1,67±0,48 SC

Tablolardan görüldüğü gibi; soğutkan yoğuşturucuya ortalama 6,2°C kızgınlıkta girmekte, 29,3°C sıcaklık ve ~4bar basınçta yoğunlaşma gerçekleşmekte ve yoğuşturucu çıkışındaki 3 paslık aşırı soğutucuda ortalama 3,6°C aşırı soğutma gerçekleşmektedir.

5.2.2.2 Yoğuşturucu Kızgın Buhar Bölgesi Boru Uzunluğunun Tespiti

i_1 yoğunluklu girişindeki kızgın soğutkanın entalpisi, i_2 soğutkanın yoğunluklu giriş basıncındaki doymuş buhar entalpisi ve m ölçülen soğutkan debisi olmak üzere, yoğuşturucudaki kızgın buhar kapasitesi; Denklem (5.9) ile bulunabilir.

$$\dot{Q}_{kb} = m \cdot (i_1 - i_2) = m_{su} c_{psu} (T_{1su} - T_{2su}) \quad (5.9)$$

Denklem (5.9) ifadesindeki kütlesel su debisi (m_{su}) ve ters akışlı yoğuşturucunun girişindeki T_{1su} su çıkış sıcaklığı bilindiğine göre, kızgın buhar fazındaki akışın tamamlandıktan sonra soğutkan akışının başladığı ısı değiştirici noktasındaki T_{2su} su sıcaklığı bulunabilir. Yoğuşturucu giriş "1", soğutkan borularında iki fazlı akışın başladığı noktası "2" ile ifade edilirse, ters akışlı yoğuşturucunun kızgın buhar bölgesindeki ΔT_m logaritmik sıcaklık farkı:

$$\Delta T_m = \frac{(T_1 - T_{1su}) - (T_2 - T_{2su})}{\ln \frac{T_1 - T_{1su}}{T_2 - T_{2su}}} \quad (5.10)$$

"1" ve "2" noktaları arasındaki ortalama sıcaklık ve basınç değerleri doğrultusunda, yoğuşturucunun kızgın buhar bölgesindeki soğutkanın fiziksel özelikleri tespit

edilebilir. Böylece; kızgın buhar bölgesinde, soğutkan boruları içindeki ısı taşınım katsayısı h_R , (5.11) ile (5.15) arasında verilen bağıntılarla [20] hesaplanır:

$$\omega = \frac{m}{\rho \cdot A_i} \quad \text{soğutkan hızı [m/s]} \quad (5.11)$$

$$Re = \frac{\omega \cdot d_i}{\mu / \rho} \quad \text{soğutkan tarafındaki Reynolds Sayısı} \quad (5.12)$$

$$Pr = \frac{\mu \cdot C_p}{k} \quad \text{soğutkan tarafındaki Prandtl Sayısı} \quad (5.13)$$

$$Nu = 0,023 \cdot Re^{0,8} \cdot Pr^{0,3} \quad \text{tam gelişmiş turbülanslı akışta, soğuma durumundaki Nusselt Sayısı} \quad (5.14)$$

$$Nu = \frac{h_R d_i}{k} \Rightarrow h_R = \frac{Nu \cdot k}{d_i} \quad \text{soğutkan tarafındaki ısı taşınım katsayısı} \quad (5.15)$$

Yoğunlukudaki su hızları laminer akış mertebelerindedir. Hidrolik çap çerçevesinde boru içinde parabolik hız profili oluşması kabulu ile, literatürde tam gelişmiş laminer akış için sabit Nu sayıları bulunmaktadır. Bu doğrultuda Nu=4,36 [20] alınmış ve böylelikle su tarafındaki ısı taşınım katsayısı h_{su} da bulunmuştur. h_R soğutkan tarafındaki ısı taşınım katsayı, h_{su} su tarafındaki ısı taşınım katsayı, soğutkan boru malzemesinin ısı iletim katsayı ve boru yüzeylerindeki kırılık faktörleri kullanılarak, kızgın buhar bölgesindeki toplam ısı geçiş katsayı U_{kb} hesaplanmıştır. Daha sonra, Denklem (5.16) bağıntısındaki enerji dengesi kullanılarak L_{kb} kızgın buhar bölgesinin boru uzunluğu tespit edilmiştir.

$$\dot{Q}_{kb} = m \cdot (i_1 - i_2) = m_{su} c_{psu} (T_{1su} - T_{2su}) = U_{kb} A_{kb} \Delta T_m \quad (5.16)$$

Tablo 5.13'te 6 grup deney için yoğunlukuda hesaplanan kızgın buhar kapasitesi ve kızgın buhar bölgesi uzunlukları görülmektedir.

Tablo 5.13 Yoğunlukudaki kızgın buhar bölgesi uzunlukları

	Q_{kb} [W]	ΔT_m [°C]	h_R [W/m ² K]	h_{su} [W/m ² K]	U_{kb} [W/m ² K]	L_{kb} [m]
D(18-12)	3,16	1,57	238,2	289,3	97,9	1,387
D(18-12)_2	3,00	1,52	237,9	289,3	97,9	1,372
D(30-20)	3,50	1,72	241,0	289,3	98,6	1,397
D(30-20)_2	2,87	1,45	236,7	289,3	97,6	1,373
D(42-28)	3,46	1,89	218,9	289,3	93,1	1,334
D(42-28)_2	3,51	1,77	238,2	289,3	97,9	1,368

Tablo 5.13'te tespit edilen kızgın buhar bölgesi uzunluklarına göre, bütün deneylerde yoğunşturucunun yaklaşık ilk 2,5 pasında kızgın buhar fazı bulunmaktadır.

5.2.2.3 Yoğunmanın Gerçekleştiği İki Fazlı Akış Bölgesinde Isı Geçişi

Yoğunşturucunun yaklaşık ilk 2,5 pasında kızgın buhar fazında akış gerçekleşmektedir. Toplam 22 pastan oluşan yoğunşturucunun geri kalan paslarında ise, iki fazlı akışın var olduğu yoğunlaşma gerçekleşecektir ve iki fazlı soğutkan belirli bir kuruluk derecesinde yoğunşturucudan çıkışacaktır. Daha sonra, yoğunturucu çıkışında bulunan 3 paslık ısı değiştiricisi kısmında soğutkan aşırı soğutularak genişleme süreci başlamadan önce, soğutkan tamamen sıvı fazda olacaktır.

m_{su} su debisi, T_{2su} yoğunturucuda kızgın buhar bölgesinin sonlanıp yoğunmanın başladığı noktadaki su sıcaklığı ve T_{3su} yoğunturucu çıkışındaki (ters akışlı ısı değiştiricisi olduğundan, suyun yoğunturucuya girdiği nokta) su sıcaklığı olmak üzere, yoğunturucudaki yoğunlaşma kapasitesi:

$$\dot{Q}_y = \dot{m}_{su} c_{psu} (T_{2su} - T_{3su}) \quad (5.17)$$

Kızgın buhar kapasitesi hesaplanırken tespit edilen T_{2su} sıcaklığı ve sistem üzerinden ölçülen T_{3su} su sıcaklığı ve su debisi kullanılarak yoğunlaşma kapasitesi hesaplanır. Bu yoğunlaşma kapasitesi, yoğunlaşma esnasında soğutkanın enerji dengesi düşünülerek de ifade edilebilir. m_R soğutkan debisi, i_2 yoğunmanın başladığı noktadaki doymuş buhar entalpisi ve i_3 yoğunturucu çıkışındaki soğutkan entalpisi olmak üzere:

$$\dot{Q}_y = \dot{m}_{su} c_{psu} (T_{2su} - T_{3su}) = \dot{m}_R (i_2 - i_3) \Rightarrow i_3 = i_2 - \frac{\dot{Q}_y}{\dot{m}_R} \quad (5.18)$$

Böylece; yoğunturucu çıkışındaki soğutkanın entalpisi tespit edilmiş olur. Yoğunturucu çıkış basıncındaki doymuş sıvı ve doymuş buhar özellikleri yardımıyla i_3 entalpisine sahip, bu basınçtaki soğutkanın kuruluk derecesi tespit edilir. Gerçekleştirilen 6 deneye, yoğunturucu çıkışındaki soğutkanın kuruluk derecesi ortalama %74 olmaktadır.

Yatay borular içinde yoğunlaşma durumunda ısı taşınım katsayısı; (5.19) bağıntısı ile verilmektedir.

$$h = 0,76 \cdot k_s \left[\frac{\rho_s (\rho_s - \rho_b) \cdot g}{\mu_s \Gamma} \right] [20] \quad (5.19)$$

Bu bağıntıda; k_s sıvı fazdaki ısı iletim katsayısı [$\text{W}/\text{m.K}$], ρ_s ve ρ_b sırasıyla sıvı ve buhar fazlarındaki yoğunluklar [kg/m^3], g yer çekim ivmesi, μ_s sıvı fazdaki viskozite [Pa.s] ve Γ ise birim boru boyunda yoğunlaşan sıvıdır [$\text{kg}/\text{m.s}$]. Yoğunluk ortalaması basıncındaki soğutkanın fiziksel özellikleri kullanılarak soğutkan boruları içinde yoğunlaşan sıvının ısı taşınım katsayısı h_R bulunur. Su tarafındaki ısı taşınım katsayısı ise; hidrolik çapta sabit ısı akışında düzgün hız profili kabulüyle $Nu=4,36$ alınarak

$$h_{su} = \frac{Nu \cdot k_{su}}{d_H} \quad \text{şeklinde hesaplanabilir. Buna göre su tarafındaki ısı taşınım katsayısı } h_{su} = 288,8 \text{ W/m}^2\text{K olmaktadır. Boru malzemesinin ısı iletim katsayısı ve boru yüzeylerindeki kırılık faktörleri de hesaba katılarak, iki fazlı akış bölgesindeki toplam ısı geçiş katsayısı } U_{yoğ} \text{ hesaplanmaktadır. Tablo 5.14'te; ilgili değerler ile birlikte, 6 deney için hesaplanan yoventurucu (UA) ısı geçiş performans değerleri verilmektedir.}$$

Tablo 5.14 Yoventurucudaki toplam ısı geçiş katsayısı ve ısı geçışı performansı

	$P_{yoğ}$ [bar]	$L_{yoğ}$ [m]	h_R [$\text{W}/\text{m}^2\text{K}$]	h_{su} [$\text{W}/\text{m}^2\text{K}$]	$U_{yoğ}$ [$\text{W}/\text{m}^2\text{K}$]	$(UA)_{yoğ}$ [W/K]
D(18-12)	3,986	10,579	6412	288,8	224,3	35,0
D(18-12)_2	4,033	10,594	6416	288,8	224,3	35,0
D(30-20)	3,940	10,569	6384	288,8	224,2	35,0
d(30-20)_2	4,031	10,593	6429	288,8	224,3	35,0
d(42-28)	3,939	10,632	6660	288,8	224,7	35,1
d(42-28)_2	3,934	10,598	6421	288,8	224,3	35,0

Gerçekleştirilen 6 deneyde, yoventurucunun iki fazlı akış bölgesindeki ortalaması ısı geçışı performans katsayısı (UA) 35W/K olmaktadır.

5.2.2.4 Deney Sonuçlarının Sistem Performansı Açısından Analizi

Toplam döngü süresinin 3 farklı değeri (30dk, 50dk, 70dk) için soğutkan göçünün engellendiği ve engellenmediği 6 deneyde, toplam döngü süresinin ve dolayısıyla döngü frekansının soğutkan göçüne olan etkisi irdelenmiştir.

Gerçekleştirilen 6 deneyde ortam sıcaklıklarının az da olsa farklılık göstermesi ve farklı döngü sürelerinde buharlaşma sıcaklıklarının bir miktar değişmesi nedeniyle, aynı çalışma süreleri uygulanmasına rağmen, kabin içi sıcaklıkları az da olsa farklılık göstermiştir. Bu nedenle; deney sonuçlarının soğutma performansı açısından değerlendirmesinin, doğrudan ölçülen enerji değerleri üzerinden yapılması doğru olmayacağıdır.

Denklem (5.20) ile ifade edilen kabin içi ısı kazancı, kabin içi ortalama sıcaklığı ile ortalama ortam sıcaklığının birleşik etkisinden oluşmaktadır.

$$\dot{Q}_{kab.} = (UA)_{kab.} (T_{ortam} - T_{kab.}) \quad (5.20)$$

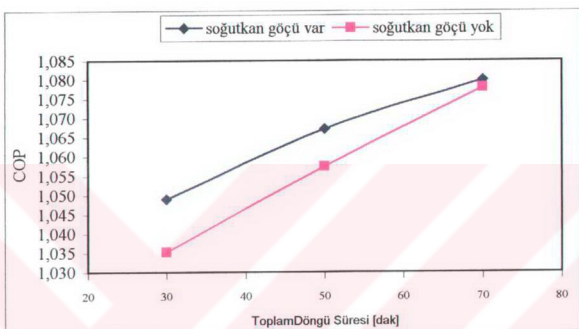
$$COP = \frac{\dot{Q}_{kab.}}{\dot{Q}_{komp} \times \%RT} \quad (5.21)$$

Deneysel sonuçların değerlendirilmesi, Denklem (5.21) ifadesiyle verilen soğutma etkenlik katsayısı cinsinden gerçekleştirilmeli, kompresörün çektığı güç ile birlikte, çekilen güçte sağlanan soğutma enerjisinin de hesaba katılması sağlanacaktır. Tek bir döngü için ele alındığında; kabin içi ısı kazancı tüm döngü süresince etkin olurken, kompresör bu ısı kazancını sağlamak üzere belirli bir çalışma süresi oranı (%RT) ile çalışarak, yalnız çalışma periyodu süresince buharlaştırıcıda bir soğutma enerjisi sağlayacaktır. Bu nedenle soğutma etkenlik katsayısının verildiği COP bağıntısında, kompresörün çektiği güç %RT çalışma süresi oranı ile çarpılmıştır. Buzdolabı, kabin içi ısı kazancı nispetinde bir soğutma enerjisi sağlayacaktır. Kompresör gücü, sağlanan soğutma enerjisi ile birlikte değerlendirilmektedir ve böylece; buharlaştırıcı, kabin içi ya da ortam sıcaklıklar arasındaki küçük farklar karşılaştırma açısından önemini yitirmektedir.

Kabin içi ısı kazancının hesaplanması sırasında kullanılan (UA) cihaz sabiti $(UA)_{kab.}=1,15$ W/K olarak, kullanılan derin dondurucu kabini için Arçelik A.Ş. ATGM'de gerçekleştirilen ısı kazancı tespiti çalışmalarından alınmıştır [15]. Gerçekleştirilen 6 grup deney neticesinde elde edilen COP değerlerinin karşılaştırması, kabin içi ısı kazancı ve kompresör gücü değerleriyle birlikte Tablo 5.15'te verilmektedir. Soğutkan göçünün sistem performansına olan etkisi, soğutma etkenlik katsayısının toplam döngü süresine göre değişimini verildiği Şekil 5.17'de de görülmektedir.

Tablo 5.15 Farklı döngü sürelerinde soğutkan göçü etkisi

Döngü Süresi	Soğ.Göçü	T _{ortam} [°C]	T _{kab} [°C]	Q _{kab} [W]	Q _{komp} [W]	COP	% Kazanç
30 dakika	yok	25,38	-21,03	53,37	84,80	1,049	1,35%
	var	25,54	-20,61	53,07	85,45	1,035	
50 dakika	yok	25,18	-21,02	53,13	82,97	1,067	0,95%
	var	25,13	-20,63	52,62	82,94	1,057	
70 dakika	yok	25,72	-20,88	53,59	82,70	1,080	0,19%
	var	25,18	-20,9	52,99	81,93	1,078	



Şekil 5.17 Soğutkan göçü – toplam döngü süresi – COP ilişkisi

$\pm 0,20^{\circ}\text{C}$ sıcaklık ölçümü ve $\pm 0,35\%$ kompresör güç ölçümünden gelen belirsizlikler hesaba katıldığında, COP değerlerinin belirsizliği yaklaşık $\pm 0,0035$ olmaktadır. Buna göre; 30 dakika döngü süresi için soğutkan göçünün engellenmesi ile soğutma etkenlik katsayısında elde edilen kazanç $1,35 \pm 0,8$ ve 50 dakika döngü süresi için $0,95 \pm 0,8$ olmaktadır. 70 dakika döngü süresi için soğutkan göçünün engellenmesi ile elde edilen kazanç ise belirsizlik sınırları içinde kalmaktadır.

Deney sonuçları göstermektedir ki; toplam döngü süresinin kısalması ve döngü frekansının artması ile birlikte, soğutkan göçünün sistem performansına olan etkisi artmaktadır. Toplam döngü süresinin azalması, birim zamanda gerçekleşen döngü sayısının (döngü frekansının) artması anlamına gelir. Bu durumda; aynı zaman aralığında gerçekleşen durma/kalkma sayısı artacak ve döngüsel kayıplar daha etkin hale gelecektir. Böylece, diğer döngüsel kayıplar ile birlikte soğutkan göçünün de sistem performansına olan etkisi artacaktır.

6 SONUÇLAR

Döngüsel çalışan bir soğutucuda, soğutkan göçü ve ve durma periyoduna müteakip çalışma periyodu başlangıcındaki şarjın yeniden dağıtilması problemi, döngüsel kayıplara neden olan en etkin etmenler olarak ön plana çıkmaktadır. Bu çalışmada, döngüsel kayıplar genelinde özellikle soğutkan göçü ele alınıp deneySEL olarak irdelenmiştir.

Bir soğutucunun çalışacağı ortam sıcaklığı, durma periyodu başlangıcında yoğunşturucuda bulunan soğutkanın bulunduğu sıvı ve buhar fazlarındaki miktarını etkiler. Ayrıca; durma periyodu esnasında yoğunşturucudan buharlaştırıcıya geçen soğutkanın sıcaklığı da soğutucunun bulunduğu ortam sıcaklığı ile birinci dereceden ilişkilidir. Durma periyodu esnasında göç eden soğutkan ile kabin içi arasındaki sıcaklık farkının yanında, soğutkan göçünün neden olduğu ilave ısı yükünü etkileyebilecek diğer bir önemli etken de yoğunşturucudan buharlaştırıcıya geçen soğutkan miktarıdır. Kullanılan soğutkanın termodinamik özelliklerine bağlı olarak, eş soğutma kapasitesi için sisteme kullanılması gereken soğutkan miktarı değişecektir. Bu nedenle; farklı soğutkan kullanımı da soğutkan göçünün etkisi açısından ön plana çıkmaktadır.

Farklı ortam sıcaklıklarında, R134a ve R600a soğutkanları kullanılması durumları için gerçekleştirilen deneylerde soğutkanın sıvı ve buhar fazlarında buharlaştırıcıya geçiş süreleri büyük bir yaklaşımla belirlenmeye çalışılmış ve soğutkan göçünün sistem performansına olan etkisi ile ilişkilendirilmiştir. Bir derin dondurucunun bulunduğu ortam ile kabin içi arasındaki ΔT sıcaklık farkı daha büyük olduğundan, soğutkan göçünün daha etkin olarak irdelenebilmesi amacıyla, deneylerde aynı soğutma kapasitesine sahip R134a ve R600a ile çalışan iki adet derin dondurucu kullanılmıştır.

- Düşük ortam sıcaklıklarında toplam soğutkan göçü süresi uzamakta, buhar fazındaki göç süresinin toplam dengelenme (soğutkan göçü) süresine oranı ise yaklaşık sabit kalmaktadır. Yüksek ortam sıcaklıklarında, basınçlar arasındaki

fark daha büyük olduğu için basınçlar daha kısa sürede dengelenmekte ve soğutkan göçü daha kısa sürmektedir.

Ortam Sıcaklığı	Basınçların Dengelenme Süresi	Sıvı Fazda Geçiş Süresi	Buhar Fazında Geçiş Süresi
10°C	13.5 - 14 dak.	5.5 - 6 dak.	8 - 8.5 dak.
23°C	9.5 - 10 dak.	3 - 3.5 dak.	6 - 6.5 dak.
32°C	7.5 - 8 dak.	2.5 - 3 dak.	4.5 - 5 dak.

- Basınçların dengelenme süresinin ortam sıcaklığına göre değişimi; farklı ortam sıcaklıklarında, yoğunışturucudaki aşırı soğutma miktarının ve durma periyodu öncesinde yoğunışturucuda bulunan soğutkan miktarının değişiminin bir sonucudur. Düşük ortam sıcaklıklarında yoğunışturucudaki aşırı soğutma miktarı arttığından, durma periyodu esnasında yoğunışturucudan buharlaştırıcıya geçen soğutkan miktarı da artmakta ve soğutkan göçü daha uzun sürmektedir.
- R600a ve R134a soğutkanları kullanılması durumlarında, buhar fazında geçiş süresinin toplam soğutkan göçü süresine oranı yaklaşık %65 mertebelerindedir. Bu nedenle, söz konusu iki farklı soğutkanın kullanılması durumlarında soğutkan göçünün sistem performansına olan etkileri arasındaki fark, aynı ayrı sıvı ve buhar fazlarındaki soğutkan göçü süreleri arasındaki farktan ziyade, temel olarak toplam soğutkan göçü süreleri ve miktarları arasındaki farktan kaynaklanmaktadır.

Soğutkan	Basınçların Dengelenme Süresi	Sıvı Fazda Geçiş Süresi	Buhar Fazında Geçiş Süresi
R134a	9.5 - 10 dak.	3 - 3.5 dak.	6 - 6.5 dak.
R600a	4.5 - 5 dak.	1.5 - 2 dak.	3- 3.5 dak.

- R600a soğutkanına geçildiğinde, soğutkan göçü süresinin kısalması, termodinamik özelliklerinden dolayı R600a'nın R134a'ya nazaran %60 oranında daha az miktarda kullanılmasının bir sonucudur. Aynı soğutma kapasitesine sahip R600a soğutkanlı sisteme şarj miktarı daha düşük olduğundan, göç eden soğutkan miktarı da daha düşük olmakta ve soğutkan göçünün sistem performansı üzerindeki etkisi de azalmaktadır.
- Düşük ortam sıcaklıklarında bir tam döngü süresi kısaltılınca ve böylece gün içindeki toplam döngü sayısı artmaktadır. Belirli bir zaman aralığındaki döngü sayısının artması, döngüsel kayıpların etkisini de artıracağından; ortam sıcaklığının düşmesi ile birlikte soğutkan göçü daha etkin olmaktadır.

Soğutkan göçü esnasında yoğunlukadan buharlaştırıcıya geçen soğutkan miktarı ve soğutkan göçünün neden olduğu ısıtma etkisi, R600a soğutkanlı deneylerde elde edilen deneyelik çıktılar da kullanılarak, teorik olarak hesaplanmıştır.

- 25°C ve 32°C ortam sıcaklıklarını için; optimum şarj durumlarında, durma periyodu esnasında yoğunlukadan buharlaştırıcıya geçen soğutkan miktarları sırasıyla; $8,56\text{gr}$ ve $10,63\text{gr}$ olarak hesaplanmıştır.
- Yüksek ortam sıcaklığında; çalışma periyodu esnasındaki soğutkan debisi daha düşük olduğundan, yoğunlaşma kapasitesi de azalmaktır ve yoğunlukuda yoğunlaşma daha erken tamamlanmaktadır. Bunun sonucunda da yoğunlukudaki aşırı soğutma miktarı ve dolayısıyla sıvı miktarı artmaktadır. Böylece göç eden soğutkan miktarı da artmaktadır.
- Yapılan teorik hesaplamalarda sisteme toplam şarj miktarının her durum için bağımsız olarak optimum kabul edildiği göz önünde bulundurulmalıdır. Uygulamada, aynı şarj miktarı kullanılması durumunda, soğutkan göçü miktarının yüksek ortam sıcaklığı koşullarında daha düşük olması beklenir. Yüksek ortam sıcaklıklarındaki soğutkan göçü süresinin kısalması, bu görüşü desteklemektedir.
- 25°C ve 32°C ortam sıcaklıklarında, durma periyodu esnasında soğutkan göçünün neden olduğu ısıtma etkisinin toplam soğutma enerjisine oranı sırasıyla; %3,82 ve %2,90 olarak tespit edilmiştir.

Ortam Sic. [oC]	Kabin İçi Sic. [oC]	Kabin Isı Yükü [W]	Döngü Süresi [dk]	Soğutma Enerjisi [J]	S.G.İşitma Enerjisi [J]	%Etki
25	-21,62	53,0	26,33	83729	3196	3,82%
32	-21,67	62,2	36,68	136890	3969	2,90%

- Yüksek ortam sıcaklığında; optimum şarj durumunda, yoğunlukadan buharlaştırıcıya göç eden soğutkan miktarı arttığı için, soğutkan göçünden kaynaklanan ısıtma enerjisinin mutlak değeri de artmaktadır. Ancak; dış ortam ile kabin içi arasındaki sıcaklık farkı arttıktan, soğutma sisteminin sağlanması gereken soğutma enerjisinin mutlak değeri de büyük oranda artmaktadır. Toplam soğutma enerjisindeki artış oranı soğutkan göçü kaynaklı ısıtma enerjisindeki artış oranından daha fazla olduğu için; yüksek ortam sıcaklığında mutlak değerce daha fazla olmasına rağmen, soğutkan göçünün toplam soğutma kapasitesi üzerindeki ısıtma etkisi yüksek ortam sıcaklığında daha az olmaktadır.

Buzdolabı döngüsel kayıpları genelinde özellikle soğutkan göçüne etken parametrelerin kontrollü bir şekilde ele alınmasına ve etkilerinin irdelenmesine yönelik bir deney düzeneği kurulmuştur. Başta yoğunlaşma koşulları olmak üzere, ilgili sistem parametreleri sabit tutulup, tek değişken olarak toplam döngü süresi alınarak soğutkan göçüne etken kontrollü bir parametre olarak irdelenmiştir.

Toplam döngü süresinin soğutkan göçüne olan etkisinin irdelendiği deneylerde, 22 geçişli boyut kombinasyonu kullanılmış ve yoğuneturucunun 22 geçişinde yoğunlaşma sağlanırken, sonraki 3 geçişli kısımda da yaklaşık 4°C aşırı soğutma gerçekleştirilmiştir. Su şartlandırma tanklarındaki su sıcaklıklarını ve akış kontrol valflerinin açıklıklarını, yoğuneturucuda sabit ~4bar basınçta yoğunlaşma sağlamak üzere ayarlanmıştır. 30 dakika döngü süresi için soğutkan göçünün engellenmesi ile soğutma etkenlik katsayısında elde edilen kazanç $\%1,35 \pm 0,8$ ve 50 dakika döngü süresi için $\%0,95 \pm 0,8$ olmaktadır. 70 dakika döngü süresi için soğutkan göçünün engellenmesi ile elde edilen kazanç ise belirsizlik sınırları içinde kalmaktadır.

- Toplam döngü süresinin kısalması ve döngü frekansının artması ile birlikte, soğutkan göçünün sistem performansına olan etkisi artmaktadır. Toplam döngü süresinin azalması, birim zamanda gerçekleşen döngü sayısının (döngü frekansının) artması anlamına gelir. Bu durumda; aynı zaman aralığında gerçekleşen durma/kalkma sayısı artacak ve döngüsel kayıplar daha etkin hale gelecektir.

İki farklı derin dondurucu ve deney düzeneği üzerinde yapılan deneyler ve teorik çalışmalar neticesinde ortaya konan, soğutkan göçüne etken parametreler:

- ✓ Ortam sıcaklığı
- ✓ Yoğuneturucu ve buharlaştırıcı basınçları
- ✓ Yoğuneturucu ve buharlaştırıcı boyutları
- ✓ Toplam döngü süresi (döngü frekansi)
- ✓ Soğutkan cinsi
- ✓ Aşırı soğutma miktarı

KAYNAKLAR

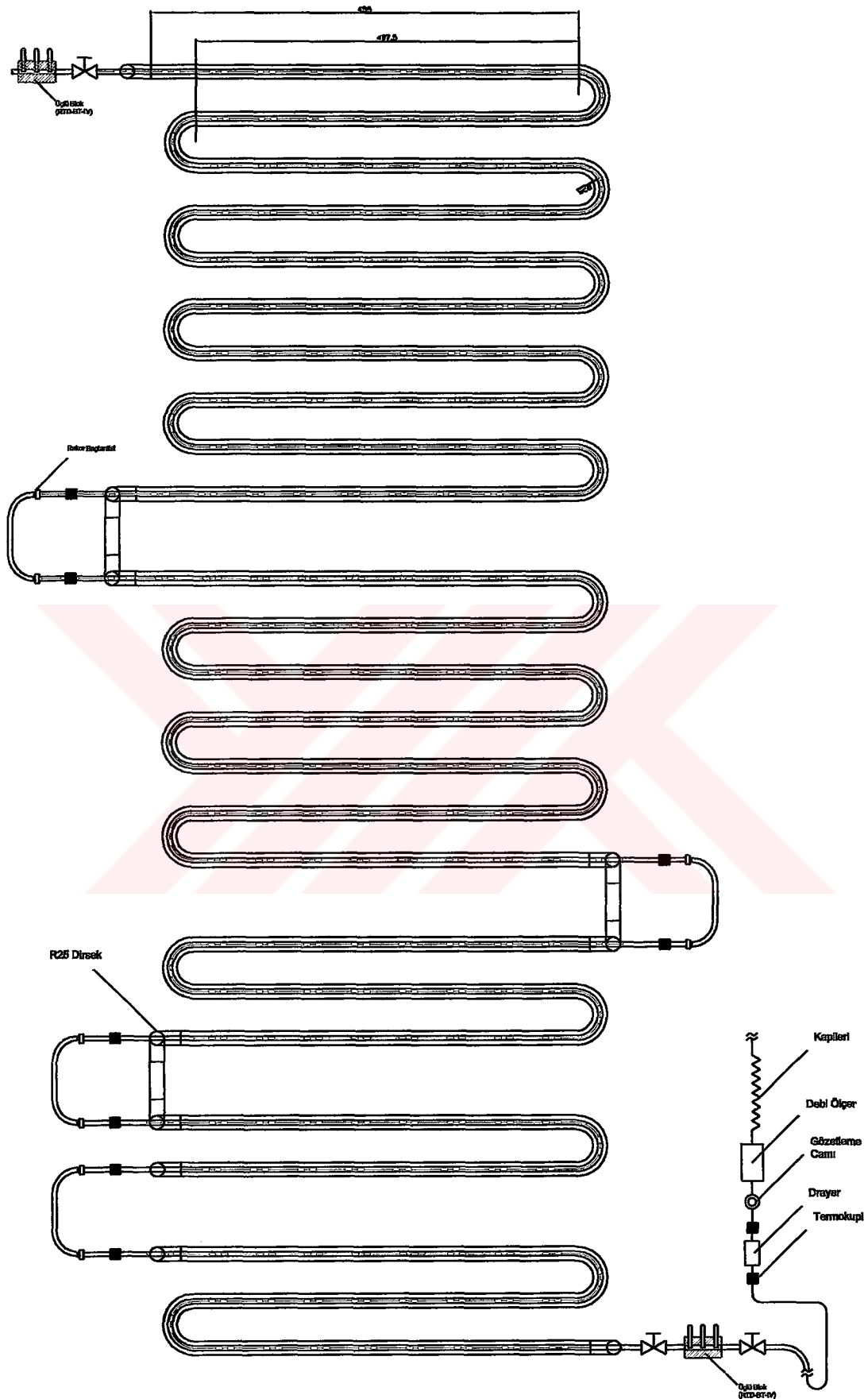
- [1] Janssen, M.J., DeWit, J.A. and Kuijpers, L.J., 1992. Cycling losses in domestic appliances: an experimental and theoretical analysis, *International J. of Refrigeration*, 15/3, 152-158.
- [2] Binnenerg, P., Kraus, E. and Quack H., 2002. Reduction in power consumption of household refrigerators by using variable speed compressors, *Proceedings of the 2002 International Refrigeration Conference at Purdue*, R17-4.
- [3] Ilic, S., Hrnjak, P. and Bullard C., 2002. Experimental comparison of continous vs. pulsed flow modulation in vapor compression systems, *Proceedings of the 2002 International Refrigeration Conference at Purdue*, R4-1.
- [4] Radermacher, R. and Kim, K., 1996. Domestic refrigerators: recent developments, *International J. of Refrigeration*, 19/1, 61-69.
- [5] Westphalen, D., 2002. Application of best industry practices to the design of efficient commercial refrigerators, *Proceedings of the 2002 International Refrigeration Conference at Purdue*, R17-1.
- [6] Rubas, P. and Bullard, C., 1995. Factors contributing to refrigerator cycling losses, *International J. of Refrigeration*, 18/3, 168-176.
- [7] Rubas, P. and Bullard, C., 1993. Assesment of factors contributing to refrigerator cycling losses, *ACRC Technical Report*, TR-45, Illinois
- [8] Krause, P. and Bullard, C., 1994. Cycling and quasi steady behaviour of a refrigerator, *ACRC Technical Report*, TR-58, Illinois
- [9] Wang, J. and Wu, Y., 1990. Start-up and shut-down operation in a reciprocating compressor refrigeration system with capillary tubes, *International J. of Refrigeration*, 13, 187-190.
- [10] Mulroy, W. and Didion D., 1985. Refrigerant migration in a split-unit air conditioner, *ASHRAE Transactions*, 92(1A), 193-206.
- [11] İnan, C., Gönül, T. ve Akkurt, A.S., 1998. B5070 buz dolabının x-işini ve sıcaklık ölçümü analizleri, *Arçelik ATGM Araştırma Raporu*, ARG-021, İstanbul
- [12] Dossat, R.J., 1997. *Principles of Refrigeration*, Prentice-Hall International, Inc., New Jersey
- [13] Özkol, N., 1999. *Uygulamalı Soğutma Tekniği*, TMMOB Makina Mühendisleri Odası Yayın No: 115, İstanbul

- [14] Janssen, M.J.P., 1989. Cycling losses in cooling circuits, *Master's Thesis*, Eindhoven University of Technology, Eindhoven
- [15] Oğuz, E., 2000. Heatgain simülasyon programının 2031 freezer için validasyonu, Arçelik ATGM Araştırma Raporu, ANN-281, İstanbul
- [16] Holman, J.P., 1994. Experimental Methods For Engineers, McGraw-Hill, Inc., New York
- [17] Mitsubishi FX Series Programmable Controllers Manual
- [18] Michel, G., 1990. Programmable Logic Controllers: Architecture and Application, Wiley, Chichester.
- [19] Ogata, K., 1997. Modern Control Engineering, Prentice Hall, New Jersey
- [20] Genceli, O.F., 1999. Isı Değiştiricileri, Birsen Yayınevi, İstanbul
- [21] Karataş, H. ve Lale, Ç., 2002. B295 buzdolabı evaporatörünün ısıl performans deney sonuçları, Arçelik ATGM Araştırma Raporu, ANN-337, İstanbul
- [22] White, F., 1991. Viscous Fluid Flow, McGraw-Hill, New York
- [23] Shah, R., Alleyne, A. and Bullard C., 2003. Dynamic modelling and control of multi-evaporator subcritical vapor compression systems, ACRC Technical Report, TR-216, Illinois
- [24] Gemici, Z. ve Aydın, C., 2000. No-frost kombi buzdolabı simülasyonu (REFSIM), Arçelik ATGM Araştırma Raporu, ARN-120, İstanbul
- [25] NIST Refprop Version 6.01, Thermodynamic Properties of Refrigerants
- [26] Karataş, H. ve Dirik, E., 1998. Düşey tel ve boru tipi kondenserin performansının deneysel incelenmesi ve kapasite hesabı, Arçelik ATGM Araştırma Raporu, ANN-156, İstanbul
- [27] Gemici, Z. ve Aydın, C., 2000. No-frost buzdolabı simülasyonu (REFSIM), Arçelik ATGM Araştırma Raporu, ARN-125, İstanbul
- [28] Jia, X., Tso, C.P., Jolly, P. and Wong, Y.W., 1999. Distributed steady and dynamic modelling of dry-expansion evaporators, *International J. of Refrigeration*, 22, 126-136.
- [29] Kocatürk, S., 2003. Soğutucu döngüsel kayıpları deney düzeneği, Arçelik ATGM Araştırma Raporu, ANN-457, İstanbul
- [30] Kocatürk, S., 2004. Döngü frekansının soğutkan göçüne etkisi, çift kapileri uygulaması ve derin dondurucuda soğutkan göçünün engellenmesi, Arçelik ATGM Araştırma Raporu, ANN-535, İstanbul

EKLER

EK – A Açıklayıcı Resimler ve Çizimler





Şekil A.1 Deney düzeneğinde kullanılan su soğutmalı yoğuşturucu

EK – B RTD Sıcaklık Ölçüm Elemanlarının Kalibrasyon Verileri

$$\text{Kal.Eğ.: } y = 0,9954 \cdot x - 1,069$$

Ref. Sic. [oC]	RTD301 [oC]	Serb. Derecesi	Standart Sapma	Student 't' Değeri	%95 Güv. Aralığı	Düz.Değer [oC]	Fark [oC]
10,48	11,71	367	0,0047	1,96	11,71±0,00048	10,59	0,11
15,70	16,75	236	0,00653	1,96	16,75±0,00083	15,60	-0,10
20,70	21,80	235	0,01031	1,96	21,80±0,00132	20,63	-0,07
25,53	26,77	234	0,01108	1,96	26,77±0,00142	25,58	0,05
30,52	31,75	237	0,01078	1,96	31,75±0,00137	30,53	0,01
35,24	36,45	238	0,02647	1,96	36,45±0,00336	35,21	-0,03
40,08	41,35	234	0,0189	1,96	41,35±0,00242	40,09	0,01
50,04	51,36	390	0,02734	1,96	51,36±0,00271	50,05	0,01

Maks. Toplam Belirsizlik : ±0,16048

Tablo B.1 RTD301 Kalibrasyon Dökümü

$$\text{Kal.Eğ.: } y = 1,0069 \cdot x - 1,3795$$

Ref. Sic. [oC]	RTD302 [oC]	Serb. Derecesi	Standart Sapma	Student 't' Değeri	%95 Güv. Aralığı	Düz.Değer [oC]	Fark [oC]
17,69	18,85	105	0,00464	1,985	18,85±0,00089	17,60	-0,09
23,72	24,92	105	0,00282	1,985	24,92±0,00054	23,71	-0,01
29,78	31,10	525	0,01805	1,96	24,10±0,00154	29,93	0,15
42,72	43,79	105	0,00482	1,985	43,79±0,00093	42,71	-0,01
47,40	48,44	176	0,00175	1,96	48,44±0,00026	47,39	-0,01
61,59	62,45	106	0,00503	1,985	62,45±0,00097	61,50	-0,09
70,90	71,83	106	0,00269	1,985	71,83±0,00052	70,95	0,05

Maks. Toplam Belirsizlik : ±0,20154

Tablo B.2 RTD302 Kalibrasyon Dökümü

$$\text{Kal.Eğ.: } y = 0,9871 \cdot x - 0,5405$$

Ref. Sic. [oC]	RTD309 [oC]	Serb. Derecesi	Standart Sapma	Student 't' Değeri	%95 Güv. Aralığı	Düz.Değer [oC]	Fark [oC]
20,70	21,56	235	0,0096	1,96	21,56±0,00122	20,74	0,04
25,53	26,53	234	0,01042	1,96	26,53±0,00133	25,65	0,12
30,52	31,50	237	0,01069	1,96	31,50±0,00136	30,55	0,03
35,24	36,20	238	0,02719	1,96	36,20±0,00345	35,19	-0,05
40,08	41,11	234	0,01819	1,96	41,11±0,00233	40,04	-0,04
50,04	51,11	390	0,02683	1,96	51,11±0,00266	49,91	-0,13
56,76	57,91	464	0,10228	1,96	57,91±0,00930	56,62	-0,14
70,78	72,37	232	0,00446	1,96	72,37±0,00057	70,90	0,12
81,32	83,00	233	0,01332	1,96	83±0,00171	81,39	0,07

Maks. Toplam Belirsizlik : ±0,1993

Tablo B.3 RTD309 Kalibrasyon Dökümü

$$\text{Kal.Eğ.: } y = 1,0224 \cdot x - 0,7515$$

Ref. Sic. [oC]	RTD308 [oC]	Serb. Derecesi	Standart Sapma	Student 't' Değeri	%95 Güv. Aralığı	Düz.Değer [oC]	Fark [oC]
-0,40	0,32	105	0,00502	1,985	0,32±0,00097	-0,42	-0,02
3,81	4,28	105	0,0013	1,985	4,28±0,00025	3,63	-0,18
7,06	7,54	105	0,00527	1,985	7,54±0,00102	6,96	-0,10
10,14	10,86	106	0,00448	1,985	10,86±0,00086	10,35	0,21
14,12	14,54	105	0,00301	1,985	14,54±0,00058	14,11	-0,01
17,69	17,99	105	0,00615	1,985	17,99±0,00119	17,64	-0,05
23,72	24,01	105	0,00236	1,985	24,01±0,00046	23,79	0,07
29,78	30,02	525	0,03219	1,96	30,02±0,00275	29,94	0,16
42,72	42,61	105	0,00452	1,985	42,61±0,00087	42,81	0,09
47,40	47,06	176	0,00159	1,96	47,06±0,00023	47,36	-0,04
61,59	60,83	106	0,0049	1,985	60,83±0,00094	61,43	-0,16

$$\text{Maks. Toplam Belirsizlik : } \pm 0,26086$$

Tablo B.4 RTD308 Kalibrasyon Dökümü

$$\text{Kal.Eğ.: } y = 1,0223 \cdot x - 0,3029$$

Ref. Sic. [oC]	RTD312 [oC]	Serb. Derecesi	Standart Sapma	Student 't' Değeri	%95 Güv. Aralığı	Düz.Değer [oC]	Fark [oC]
7,06	7,20	105	0,00797	1,985	7,20±0,00154	7,05	-0,01
14,12	14,20	105	0,00496	1,985	14,20±0,00096	14,21	0,09
17,69	17,53	105	0,00455	1,985	17,53±0,00088	17,61	-0,08
23,72	23,44	105	0,00444	1,985	23,44±0,00086	23,66	-0,06
28,70	28,43	105	0,00259	1,985	28,43±0,00050	28,76	0,06
45,70	44,73	173	0,02704	1,96	44,73±0,00402	45,42	-0,28
47,40	46,91	176	0,00223	1,96	46,91±0,00033	47,65	0,25

$$\text{Maks. Toplam Belirsizlik : } \pm 0,33402$$

Tablo B.5 RTD312 Kalibrasyon Dökümü

$$\text{Kal.Eğ.: } y = 1,0053 \cdot x - 1,1034$$

Ref. Sic. [oC]	RTD313 [oC]	Serb. Derecesi	Standart Sapma	Student 't' Değeri	%95 Güv. Aralığı	Düz.Değer [oC]	Fark [oC]
10,14	11,30	106	0,00714	1,985	11,30±0,00137	10,25	0,11
14,12	15,08	105	0,00543	1,985	15,08±0,00105	14,06	-0,06
17,69	18,59	105	0,00556	1,985	18,59±0,00107	17,59	-0,10
23,72	24,67	105	0,00192	1,985	24,67±0,00037	23,70	-0,02
29,78	30,81	525	0,03518	1,96	30,81±0,00301	29,88	0,10
42,72	43,52	105	0,00138	1,985	43,52±0,00027	42,67	-0,05
47,40	48,34	176	0,00264	1,96	48,34±0,00039	47,52	0,12
61,59	62,34	106	0,00431	1,985	62,34±0,00083	61,60	0,01

$$\text{Maks. Toplam Belirsizlik : } \pm 0,17039$$

Tablo B.6 RTD313 Kalibrasyon Dökümü

EK – C Basınç Transduserleri Kalibrasyon Verileri ve Ölçüm Belirsizlikleri

Kal.Eğr.(+): $y = 1,0076.x - 0,3166$							
Referans [psi] (+)	BT303 [psi] (+)	Düz.Değer [psi] (+)	Hata [psi] (+)	Referans [psi] (-)	BT303 [psi] (-)	Düz.Değer [psi] (-)	Hata [psi] (-)
0	0,199	-0,116	-0,116	0	0,199	-0,192	-0,192
3,5	3,73	3,442	-0,058	-	-	-	-
7,6	7,818	7,561	-0,039	-	-	-	-
10,85	11,094	10,862	0,012	-	-	-	-
14,5	14,735	14,530	0,030	14,9	14,707	14,428	-0,472
18,25	18,425	18,248	-0,002	18,2	18,676	18,428	0,228
21,8	22,018	21,869	0,069	21,9	22,131	21,909	0,009
25,4	25,502	25,379	-0,021	25,4	25,693	25,499	0,099
29	29,169	29,074	0,074	29	29,188	29,021	0,021
36,4	36,476	36,437	0,037	36,4	36,609	36,499	0,099
43,5	43,589	43,604	0,104	43,6	43,805	43,750	0,150
50,7	50,624	50,692	-0,008	50,9	50,96	50,960	0,060
58	57,823	57,946	-0,054	58	58,031	58,086	0,086
65,25	65,016	65,194	-0,056	65,4	65,264	65,374	-0,026
72,5	72,171	72,403	-0,097	72,6	72,395	72,560	-0,040
79,7	79,298	79,584	-0,116	80	79,734	79,956	-0,044
87	86,881	87,225	0,225	87	86,899	87,176	0,176
101,2	100,866	101,316	0,116	101,5	101,195	101,582	0,082
115,75	115,327	115,887	0,137	115,9	115,495	115,992	0,092
130,2	129,596	130,264	0,064	130	129,441	130,045	0,045
145	143,961	144,739	-0,261	145	143,961	144,677	-0,323
%0,01638 Histerisis				Maks.Toplam Belirsizlik: $\pm 0,6473 \text{ psi} = \pm 0,045 \text{ bar}$			

Tablo C.1 BT303 Kalibrasyon Dökümü

Kal.Eğr.(+): $y = 1,0088.x - 0,3197$							
Referans [psi] (+)	BT304 [psi] (+)	Düz.Değer [psi] (+)	Hata [psi] (+)	Referans [psi] (-)	BT304 [psi] (-)	Düz.Değer [psi] (-)	Hata [psi] (-)
0	0,211	-0,117	-0,117	0	0,21	-0,227	-0,227
3,5	3,654	3,356	-0,144	-	-	-	-
7,6	7,755	7,494	-0,106	-	-	-	-
10,85	11,042	10,809	-0,041	-	-	-	-
14,5	14,691	14,491	-0,009	14,9	14,662	14,358	-0,542
18,25	18,39	18,222	-0,028	18,2	18,64	18,373	0,173
21,8	21,991	21,855	0,055	21,9	22,103	21,868	-0,032
25,4	25,482	25,377	-0,023	25,4	25,672	25,469	0,069
29	29,154	29,081	0,081	29	29,178	29,008	0,008
36,4	36,48	36,471	0,071	36,4	36,608	36,506	0,106
43,5	43,597	43,651	0,151	43,6	43,81	43,774	0,174
50,7	50,632	50,748	0,048	50,9	50,97	51,000	0,100
58	57,828	58,007	0,007	58	58,044	58,139	0,139
65,25	65,021	65,263	0,013	65,4	65,27	65,432	0,032
72,5	72,168	72,473	-0,027	72,6	72,392	72,619	0,019
79,7	79,287	79,655	-0,045	80	79,723	80,018	0,018
87	86,853	87,288	0,288	87	86,871	87,231	0,231
101,2	100,798	101,355	0,155	101,5	101,122	101,614	0,114
115,75	115,199	115,883	0,133	115,9	115,363	115,986	0,086
130,2	129,384	130,193	-0,007	130	129,234	129,984	-0,016
145	143,654	144,588	-0,412	145	143,654	144,537	-0,463
%0,02069 Histerisis				Maks.Toplam Belirsizlik: $\pm 1,0925 \text{ psi} = \pm 0,075 \text{ bar}$			

Tablo C.2 BT304 Kalibrasyon Dökümü

Kal.Eğr.(+): $y = 1,0080.x - 12,484$							
Referans [psi] (+)	BT305 [psi] (+)	Düz.Değer [psi] (+)	Hata [psi] (+)	Referans [psi] (-)	BT305 [psi] (-)	Düz.Değer [psi] (-)	Hata [psi] (-)
0	12,725	0,343	0,343	0	12,653	-0,101	-0,101
3,5	15,761	3,403	-0,097	-	-	-	-
7,6	19,872	7,547	-0,053	-	-	-	-
10,85	23,145	10,846	-0,004	-	-	-	-
14,5	26,797	14,527	0,027	14,9	27,495	14,884	-0,016
18,25	30,512	18,272	0,022	18,2	30,97	18,392	0,192
21,8	34,105	21,894	0,094	21,9	34,777	22,236	0,336
25,4	37,593	25,410	0,010	25,4	38,201	25,693	0,293
36,4	48,567	36,472	0,072	36,4	48,784	36,377	-0,023
43,5	55,724	43,686	0,186	43,6	56,221	43,886	0,286
50,7	62,412	50,427	-0,273	50,9	62,958	50,687	-0,213
58	69,654	57,727	-0,273	58	69,86	57,656	-0,344
65,25	76,881	65,012	-0,238	65,4	77,104	64,969	-0,431
79,7	91,207	79,453	-0,247	80	91,761	79,767	-0,233
87	98,792	87,098	0,098	87	99,295	87,373	0,373
101,2	112,846	101,265	0,065	101,5	113,454	101,668	0,168
115,75	127,388	115,923	0,173	115,9	127,704	116,055	0,155
145	156,252	145,018	0,018	145	156,252	144,877	-0,123
%0,01121 Histerisis				Maks.Toplam Belirsizlik: $\pm 0,5578 \text{ psi} = \pm 0,038 \text{ bar}$			

Tablo C.3 BT305 Kalibrasyon Dökümü

Kal.Eğr.(+): $y = 1,0069.x + 1,5242$							
Referans [psi] (+)	BT306 [psi] (+)	Düz.Değer [psi] (+)	Hata [psi] (+)	Referans [psi] (-)	BT306 [psi] (-)	Düz.Değer [psi] (-)	Hata [psi] (-)
3,5	2,034	3,572	0,072	-	-	-	-
7,6	6,027	7,593	-0,007	-	-	-	-
10,85	9,304	10,892	0,042	-	-	-	-
14,5	12,926	14,539	0,039	14,9	13,614	14,844	-0,056
18,25	16,636	18,275	0,025	18,2	17,073	18,334	0,134
21,8	20,216	21,880	0,080	21,9	20,881	22,177	0,277
25,4	23,71	25,398	-0,002	25,4	24,312	25,640	0,240
29	27,375	29,088	0,088	29	27,45	28,807	-0,193
36,4	34,7	36,464	0,064	36,4	34,966	36,392	-0,008
43,5	41,849	43,662	0,162	43,6	42,404	43,898	0,298
50,7	48,629	50,489	-0,211	50,9	49,144	50,700	-0,200
58	55,871	57,781	-0,219	58	56,049	57,669	-0,331
65,25	63,098	65,058	-0,192	65,4	63,297	64,984	-0,416
79,7	77,427	79,485	-0,215	80	77,956	79,777	-0,223
87	85,017	87,128	0,128	87	85,465	87,356	0,356
101,2	99,057	101,265	0,065	101,5	99,648	101,669	0,169
115,75	113,603	115,911	0,161	115,9	113,895	116,047	0,147
145	142,445	144,952	-0,048	145	142,445	144,860	-0,140
%0,06466 Histerisis		Maks.Toplam Belirsizlik: $\pm 0,5953 \text{ psi} = \pm 0,041 \text{ bar}$					

Tablo C.4 BT306 Kalibrasyon Dökümü

Kal.Eğr.(+): $y = 1,0001.x - 1,5999$							
Referans [psi] (+)	BT307 [psi] (+)	Düz.Değer [psi] (+)	Hata [psi] (+)	Referans [psi] (-)	BT307 [psi] (-)	Düz.Değer [psi] (-)	Hata [psi] (-)
3,5	1,844	3,444	-0,056	-	-	-	-
7,6	5,974	7,574	-0,026	-	-	-	-
10,85	9,285	10,886	0,036	-	-	-	-
14,5	12,952	14,553	0,053	14,9	13,702	14,808	-0,092
18,25	16,684	18,286	0,036	18,2	17,186	18,305	0,105
21,8	20,298	21,900	0,100	21,9	21,019	22,152	0,252
25,4	23,812	25,414	0,014	25,4	24,464	25,610	0,210
29	27,486	29,089	0,089	29	27,638	28,796	-0,204
36,4	34,855	36,458	0,058	36,4	35,23	36,416	0,016
43,5	42,031	43,635	0,135	43,6	42,75	43,964	0,364
50,7	48,977	50,582	-0,118	50,9	49,502	50,741	-0,159
58	56,225	57,831	-0,169	58	56,469	57,734	-0,266
65,25	63,483	65,089	-0,161	65,4	63,724	65,015	-0,385
72,5	70,689	72,296	-0,204	72,6	70,983	72,301	-0,299
79,7	77,897	79,505	-0,195	80	78,418	79,764	-0,236
87	85,529	87,137	0,137	87	85,987	87,361	0,361
101,2	99,656	101,266	0,066	101,5	100,225	101,651	0,151
115,75	114,284	115,895	0,145	115,9	114,566	116,045	0,145
130,2	128,738	130,351	0,151	130	128,622	130,154	0,154
145	143,295	144,909	-0,091	145	143,295	144,881	-0,119
%0,13103 Histerisis		Maks.Toplam Belirsizlik: $\pm 0,6665 \text{ psi} = \pm 0,046 \text{ bar}$					

Tablo C.5 BT307 Kalibrasyon Dökümü

ÖZGEÇMİŞ

Serdar KOCATÜRK, 1980 yılında Sakarya'da doğdu. 1995 yılında Kocaeli Körfez Fen Lisesi'nde başladığı lise öğrenimini 1998 yılında İzmit Erkul Lisesi'nde tamamladı. 1998 yılında girdiği İ.T.Ü. Makina Fakültesi'nden 2002 yılında Makina Mühendisi olarak mezun oldu ve aynı yıl İ.T.Ü. Fen Bilimleri Enstitüsü Makina Mühendisliği Ana Bilim Dalı, Enerji Programı'nda yüksek lisans öğrenimine başladı. 2002 – 2004 yılları arasında sürdürdüğü yüksek lisans öğrenimi esnasında, tez çalışmalarını "Endüstride Uygulama Destekli Tez Programı" kapsamında, Arçelik A.Ş. Araştırma ve Teknoloji Geliştirme Merkezi'nde gerçekleştirdi. Halen, Arçelik A.Ş. Araştırma ve Geliştirme Merkezi'nde Makina Mühendisi olarak çalışmaktadır.